

Machine Learning & AI

Tuur Vanhoutte

7 mei 2021

Inhoudsopgave

| | |
|---|-----------|
| 1 Inleiding | 1 |
| 1.1 AI in context | 1 |
| 1.1.1 Vormen van AI | 1 |
| 1.1.2 Sectoren die de planeet verbeteren | 2 |
| 1.1.3 Waarom nu? | 2 |
| 2 Hoe leren uit data? | 2 |
| 2.1 Leeralgoritmes | 2 |
| 2.2 Supervised Learning | 3 |
| 2.2.1 Regressie vs Classificatie | 4 |
| 2.2.2 Voorbeeld | 4 |
| 2.3 Unsupervised learning | 5 |
| 2.4 Reinforcement learning | 6 |
| 2.5 Overzicht leeralgoritmes | 6 |
| 2.6 Werkwijze van een ML Project | 7 |
| 2.6.1 Tijdverdeling | 7 |
| 3 Enkelvoudige Lineaire regressie | 8 |
| 3.1 Voorbeeld | 8 |
| 3.1.1 Scatterplot | 8 |
| 3.2 De hypothese | 9 |
| 3.3 De kostenfunctie | 9 |
| 3.4 Gradient Descent (GDS) | 10 |
| 3.4.1 Learning rate | 10 |
| 4 Meervoudige lineaire regressie | 11 |
| 4.1 Statistische vooranalyse | 12 |
| 4.1.1 Consistentie van de dataset | 12 |
| 4.1.2 Uitschieters | 12 |
| 4.1.3 Onderlinge correlatie | 13 |
| 4.2 Features en targets | 13 |
| 4.3 Trainen van het model | 14 |
| 4.3.1 Initialiseren en trainen van het regressiemodel | 14 |
| 4.4 Testen van het model | 14 |
| 4.4.1 Voorspellingen maken | 14 |
| 4.5 Performantie en scores van het model | 15 |
| 4.5.1 Mean Absolute Error (MAE) | 15 |
| 4.5.2 Mean Squared Error (MSE) | 15 |
| 4.5.3 Determinatiecoëfficiënt | 16 |
| 5 Feature engineering | 16 |
| 5.1 Normalisatie / Scaling | 16 |
| 5.1.1 Voordelen | 17 |
| 5.1.2 MIN-MAX-scaling | 17 |
| 5.1.3 Standard scaling (normalisatie) | 18 |
| 5.1.4 Robust scaling | 20 |
| 5.2 Feature expansion | 20 |
| 5.2.1 Nieuwe features | 20 |
| 5.2.2 Hogere-orde features | 21 |
| 5.3 One-hot encoding | 22 |

| | |
|---|-----------|
| 6 Underfitting & overfitting | 23 |
| 6.1 Underfitting | 23 |
| 6.2 Overfitting | 23 |
| 6.2.1 Impact van de grootte van de dataset | 24 |
| 6.3 Regularisatie (regularisation) | 24 |
| 6.3.1 Voorbeeld regularisatie | 24 |
| 6.3.2 Regularisatie met L2 norm | 25 |
| 6.3.3 Regularisatie met L1 norm | 25 |
| 6.3.4 Voorbeeld regularisatie op huizenprijzen | 25 |
| 7 Classificatie | 26 |
| 7.1 Wat is classificatie? | 26 |
| 7.1.1 Voorbeelden | 26 |
| 7.2 Types van classifiers | 26 |
| 7.2.1 Binary (binomial) classifier | 26 |
| 7.2.2 Multiclass classifier | 27 |
| 7.2.3 Multilabel classifier | 27 |
| 7.3 Voorbeeld van een classificatie: appel herkennen | 28 |
| 7.3.1 Waarom lineaire regressie geen goede optie is | 28 |
| 8 Logistische regressie | 29 |
| 8.1 Het model | 29 |
| 8.1.1 De logistische functie | 30 |
| 8.1.2 Interpretatie via voorbeeld appels | 30 |
| 8.1.3 Grafische interpretatie via voorbeeld appels | 31 |
| 8.1.4 Wat als het model niet lineair is? | 31 |
| 8.2 De kostenfunctie | 32 |
| 8.3 Voorbeeld logistic regression met Sklearn (lineair model) | 32 |
| 8.3.1 Preprocessing van de data | 32 |
| 8.3.2 Trainen van het logistic regression model | 33 |
| 8.3.3 Classificeren van een nieuwe sample | 33 |
| 8.3.4 Visualiseer de decision boundary | 34 |
| 8.4 Voorbeeld logistic regression met Sklearn - niet-lineair | 34 |
| 8.4.1 Feature engineering: automatisch toevoegen van hogere orde features | 35 |
| 8.4.2 Oplossing: regularisatie | 35 |
| 8.5 Multi-class classification | 36 |
| 8.5.1 One-vs-All | 36 |
| 8.5.2 One-vs-One | 36 |
| 9 Evaluatie van een classifier | 37 |
| 9.1 Accuracy | 37 |
| 9.2 True Positive Rate (TPR) | 37 |
| 9.3 Positive Predictive Value (PPV) | 38 |
| 9.4 F1 Score | 38 |
| 9.5 Receiver Operating Characteristic (ROC) | 38 |
| 9.5.1 ROC curve en AUC (Area Under ROC Curve) | 39 |
| 10 Support Vector Machines (SVM) | 41 |
| 10.1 Wat is een SVM? | 41 |
| 10.1.1 Welke classifier zou je verkiezen? | 41 |
| 10.2 Hoe een SVM classificeert | 41 |
| 10.2.1 Wat als een perfecte lineaire scheiding niet mogelijk is? | 42 |

| | |
|---|-----------|
| 10.2.2 Wat bij niet-lineair scheidbare gegevens | 43 |
| 10.3 Kernels | 44 |
| 10.3.1 Meest gebruikte kernels | 44 |
| 10.3.2 Voorbeeld | 44 |
| 10.3.3 Parameter gamma | 45 |
| 10.3.4 Hyperparameters | 46 |
| 10.4 Motivatie voor het gebruik van een SVM | 46 |
| 10.5 Logistische regressie vs SVM | 46 |
| 10.5.1 Wanneer welke classifier kiezen? | 46 |
| 11 Cross-validatie | 47 |
| 11.1 Verschillende types cross-validatie | 47 |
| 11.1.1 Hold out cross-validation | 47 |
| 11.1.2 K-fold cross-validation | 47 |
| 11.1.3 Leave one out cross-validation | 48 |
| 11.1.4 Bootstrap cross-validation | 48 |
| 11.2 Hyperparameter tuning via cross-validatie | 49 |
| 11.2.1 Grid search | 49 |
| 11.2.2 Random search | 50 |
| 11.2.3 Bayes optimization (NTK) | 50 |
| 12 Niet-gebalanceerde data | 51 |
| 12.1 Problematiek | 51 |
| 12.2 Omgaan met niet-gebalanceerde data | 51 |
| 12.2.1 Undersampling & Oversampling | 51 |
| 12.2.2 Andere scoring parameter/metric kiezen | 51 |
| 12.2.3 Class-weight balancing | 52 |
| 12.2.4 Data augmentation - SMOTE (Synthetic Minority Over-sampling Technique) | 53 |
| 12.2.5 Data augmentation - image augmentation | 53 |
| 13 Naive Bayes & Natural Language Processing | 54 |
| 13.1 Discriminative vs generative classification | 54 |
| 13.2 Bayes rule | 54 |
| 13.2.1 Voorbeeld: kanker | 54 |
| 13.2.2 Uitwerking via Bayes Rule | 54 |
| 13.3 Naive Bayes - tekstclassificatie | 55 |
| 13.3.1 Spamdetectie | 55 |
| 13.3.2 Met Naive Bayes | 56 |
| 13.3.3 Voorbeeld | 56 |
| 13.4 Laplacian smoothing | 57 |
| 13.4.1 Invloed van de hyperparameter alpha | 58 |
| 13.5 Log likelihood | 58 |
| 13.6 Tekstclassificatie in de praktijk | 58 |
| 13.6.1 Preprocessing - opkuisen van de tekst | 58 |
| 13.6.2 Preprocessing - herleiden van woorden tot de stam | 59 |
| 13.6.3 Preprocessing - verwijder te korte woorden | 59 |
| 13.6.4 Opbouwen van feature vectors - bag of words | 59 |
| 14 Decision Trees | 60 |
| 14.1 Decision Trees voor classificatie | 60 |
| 14.1.1 Voorbeeld met rondheid & groenheid van appels | 60 |
| 14.1.2 Entropy | 61 |

| | |
|--|-----------|
| 14.1.3 Information Gain | 61 |
| 14.1.4 Gini impurity | 62 |
| 14.2 Decision Trees voor regressie | 63 |
| 14.2.1 Voorbeeld 1: aantal golfspelers bij verschillende weersomstandigheden | 64 |
| 14.2.2 Voorbeeld 2: Autoprijs op basis van 2 eigenschappen van de auto | 64 |
| 15 Ensemble learning | 65 |
| 15.1 Problematiek van decision trees | 65 |
| 15.2 Overzicht Ensemble learning methodes | 65 |
| 15.3 Bagging | 65 |
| 15.3.1 Concept van bagging: Majority voting | 66 |
| 15.3.2 De techniek van bagging | 67 |
| 15.3.3 Random Forest Trees | 68 |
| 15.4 Boosting | 69 |
| 15.4.1 Adaboost | 70 |
| 15.4.2 Gradient Boosting | 71 |
| 15.5 Stacking | 72 |
| 15.5.1 Folding | 73 |
| 15.6 Overzicht Ensemble learning | 74 |
| 16 Unsupervised learning | 74 |
| 16.1 Introductie | 74 |
| 16.2 Clustering | 75 |
| 16.2.1 Voorbeelden | 75 |
| 16.3 K-means clustering | 76 |
| 16.3.1 Hoe gelijkenis uitdrukken? | 77 |
| 16.3.2 Werking | 77 |
| 16.3.3 Eigenschappen van K-means clustering | 79 |
| 16.3.4 Strategie om het aantal clusters te bepalen | 80 |
| 16.4 Hierarchical clustering | 81 |
| 16.4.1 Sterktes van hierarchical clustering | 81 |
| 16.4.2 Hoe ga je nu de afstand tussen 2 clusters bepalen? | 81 |
| 16.4.3 Complexiteit van hierarchical clustering | 82 |
| 16.5 Gaussian mixture models | 82 |
| 16.6 Spectral clustering | 83 |
| 16.7 Self organizing maps | 84 |
| 17 Dimensionality reduction | 85 |
| 17.1 Wat? | 85 |
| 17.2 Waarom? | 85 |
| 17.3 Toepassingen | 86 |
| 17.4 Principle Component Analysis (PCA) | 86 |
| 17.4.1 Voorbeeld aan de hand van de MNIST dataset | 87 |
| 17.4.2 Kiezen van het aantal principle components: verklaarde variantie | 88 |
| 17.4.3 Face recognition | 89 |
| 18 Deep learning | 90 |
| 18.1 Waarom deep learning | 90 |
| 18.2 Geschiedenis van deep learning | 91 |
| 18.3 Deep learning architecturen | 91 |
| 18.4 Biologisch model | 91 |
| 18.5 Het artificieel neuron | 92 |

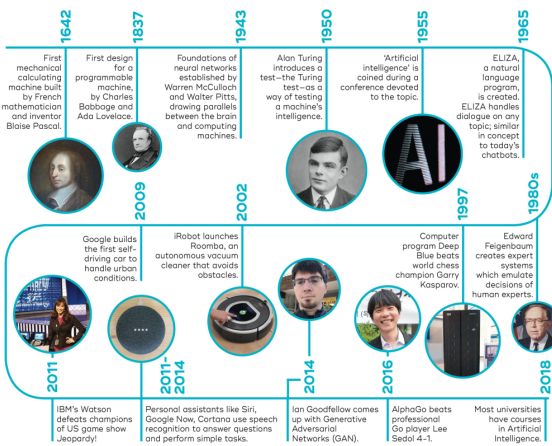
| | |
|--|------------|
| 18.6 Het neuraal netwerk | 93 |
| 18.7 Netwerk architectuur | 93 |
| 18.8 Feedforward neuraal netwerk | 94 |
| 18.8.1 Voorbeeld: XOR-functie | 94 |
| 18.8.2 Voorbeeld: MNIST | 95 |
| 18.8.3 One-hot encoding | 96 |
| 18.8.4 Backpropagation | 97 |
| 18.9 Activation function | 98 |
| 18.9.1 Step function | 99 |
| 18.9.2 Linear function (Adaline) | 99 |
| 18.9.3 Sigmoid function | 100 |
| 18.9.4 Hyperbolic tangent (tanh) | 100 |
| 18.9.5 Rectified Linear Unit (ReLU) | 101 |
| 18.9.6 Leaky ReLu | 101 |
| 18.9.7 Conclusies | 101 |
| 18.9.8 Extra | 102 |
| 18.10 Underfitting & Overfitting | 102 |
| 18.10.1 Dropout | 102 |
| 19 Aan de slag met Tensorflow en Keras (NTK) | 103 |
| 19.1 Wat is keras? | 103 |
| 19.2 Installatie | 103 |
| 19.3 Het sequential model | 103 |
| 19.3.1 Opbouw van het sequential model | 103 |
| 19.3.2 Compileren en trainen van het sequential model + voorspellingen | 104 |
| 19.4 Parameters van het sequential model | 104 |
| 19.4.1 Activation functions | 104 |
| 19.4.2 Learning rate optimizers | 104 |
| 19.4.3 Epochs - batch size - iterations | 104 |
| 19.4.4 Overige parameters | 105 |
| 20 Anomaly detection | 105 |
| 20.1 Introductie | 105 |
| 20.1.1 Wat zijn anomalies? | 105 |
| 20.1.2 Toepassingen | 106 |
| 20.1.3 Uitdagingen | 107 |
| 20.2 Anomaly detection algoritmes | 107 |
| 20.2.1 Isolation forest | 107 |
| 20.2.2 Local outlier detection | 108 |
| 20.2.3 Cluster based local outlier factor (CBLOF) | 108 |
| 20.2.4 Gaussian Mixed Models (GMM) | 109 |
| 20.3 Model performantie | 109 |
| 21 Explainable AI (XAI) | 109 |
| 21.1 Waarom belangrijk? | 109 |
| 21.2 Explainability vs Interpretability | 110 |
| 21.3 Glass box models vs Black box models | 110 |
| 21.3.1 Glass box models | 110 |
| 21.3.2 Black box models | 110 |
| 21.4 LIME (Local Interpretable Model-agnostic Explanation) | 110 |
| 21.4.1 Local explanation | 111 |
| 21.4.2 Modal agnostic | 111 |

| | |
|---|-----|
| 21.5 SHapley Additive exPlanations (SHAP) | 112 |
| 21.6 Wat moet je kennen | 113 |

(NTK) == Niet te kennen voor het examen

1 Inleiding

1.1 AI in context



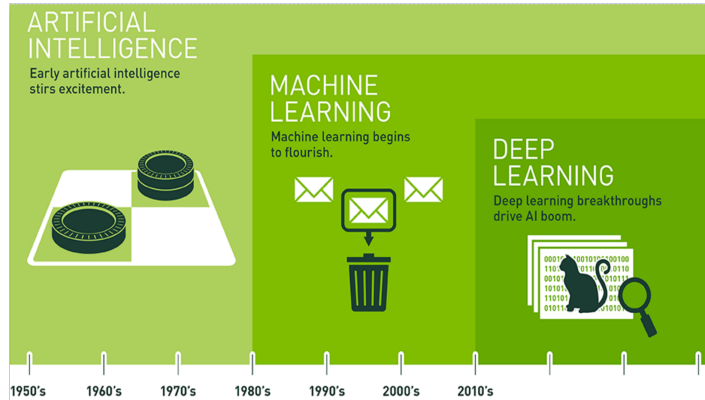
Figuur 1: Geschiedenis van AI

Belangrijkste gebeurtenissen:

- **1943:** McCulloch - Pitts: fundering van neurale netwerken
- **1950:** Alan Turing: de Turing test
- **1956:** Dartmouth workshop: bijeenkomst voor breinstorm AI
- **1997:** Garry Kasparov vs Deep Blue (IBM)
- **2011:** IBM Watson
- **2016:** AlphaGo
- **2021-:** toekomst

1.1.1 Vormen van AI

- Zvakke AI (weak AI / Artificial Narrow Intelligence)
 - Goed in een bepaalde taak maar alleen in die taak
 - **Voorbeelden:** spamfilters, schaakcomputers, gezichtsherkenning
- Sterke AI (strong AI / Artificial General Intelligence)
 - Intelligentie op menselijk niveau
 - In staat om zich aan te passen en problemen te leren oplossen in verschillende contexten
- Superintelligentie (Artificial Super Intelligence)
 - Als AI zelfbewust wordt en de mens op alle vlakken voorbij steekt



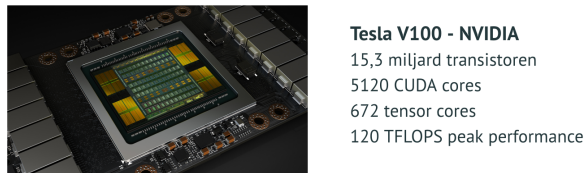
Figuur 2: AI vs ML vs DL

1.1.2 Sectoren die de planeet verbeteren

- Klimaatsverandering
- Biodiversiteit en conservatie
- Water
- Hernieuwbare energie
- Medische sector
- Weer- en rampenvoorspelling

1.1.3 Waarom nu?

- Snellere hardware
- Betere algoritmes
- Meer data
- (Open source) frameworks



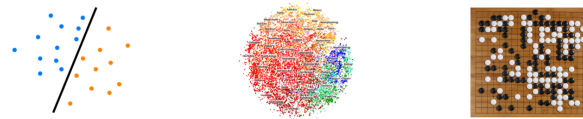
Figuur 3: Voorbeeld huidige hardware: de Tesla V100 van Nvidia

2 Hoe leren uit data?

2.1 Leeralgoritmes

- Supervised
 - Inputs met gewenste outputs zijn gegeven

- Task driven
- Unsupervised
 - De gewenste outputs zijn niet gegeven
 - Data driven (clustering)
- Reinforcement
 - Beslissingsproces op basis van beloningen
 - Algoritme leert te reageren op zijn omgeving



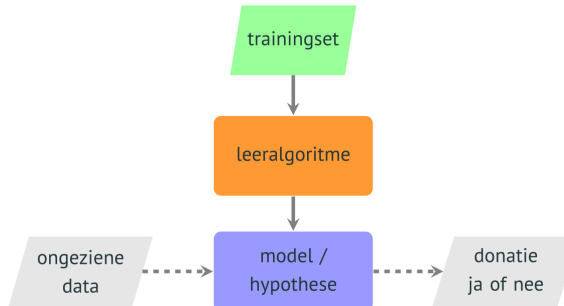
Figuur 4: Supervised / Unsupervised / Reinforcement learning

2.2 Supervised Learning

Leren uit een gelabelde dataset. Vind het verband tussen de features en de labels

| | | sentiment | text |
|---|---|-----------|--|
| 0 | 1 | 1 | I am going to start reading the Harry Potter series again because that is one awesome story. |
| 1 | 1 | 1 | the story of Harry Potter is a deep and profound one, and I love Harry Potter. |
| 2 | 1 | 1 | Mission Impossible 3 was excellent. |
| 3 | 0 | 0 | The Da Vinci Code sucked, but the night was great. |
| 4 | 1 | 1 | The Da Vinci Code was absolutely AWESOME! |
| 5 | 0 | 0 | Then snuck into Brokeback Mountain, which is the most depressing movie I have ever seen.. |
| 6 | 1 | 1 | I love Harry Potter. |
| 7 | 0 | 0 | Ok brokeback mountain is such a horrible movie. |
| 8 | 1 | 1 | He's like,"YEAH I GOT ACNE AND I LOVE BROKEBACK MOUNTAIN". |
| 9 | 0 | 0 | Da Vinci Code sucks. |

Figuur 5: Leren uit een dataset

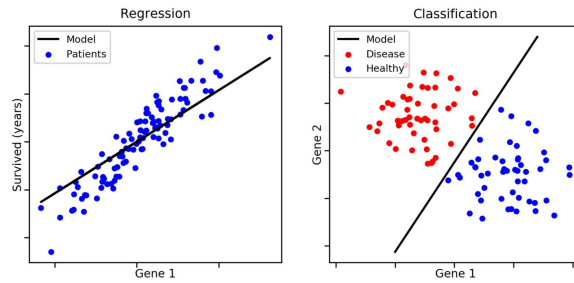


Figuur 6: Supervised learning kan uit ongeziene data een resultaat berekenen

2.2.1 Regressie vs Classificatie



Figuur 7: Regressie vs classificatie

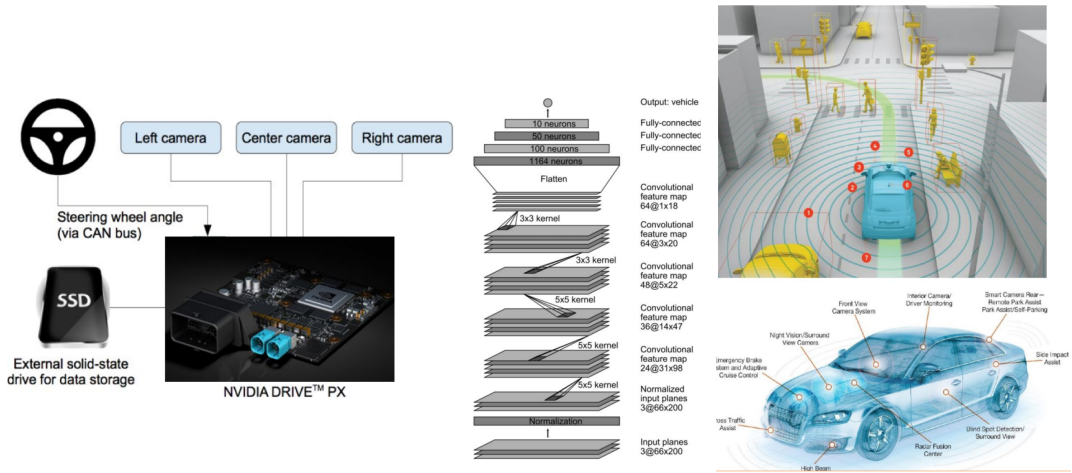


Figuur 8: Regressie vs classificatie

2.2.2 Voorbeeld

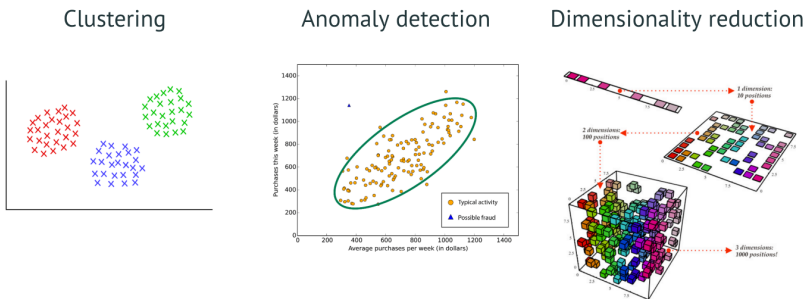
Hoe stuurhoek bepalen bij een self-driving car?

- (infrarood) camera's
- Stereo vision
- Radar
- LIDAR
- GPS
- Audio

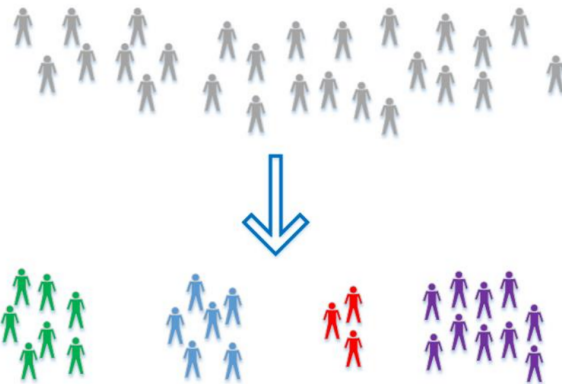


Figuur 9: Via sensoren weet de auto

2.3 Unsupervised learning

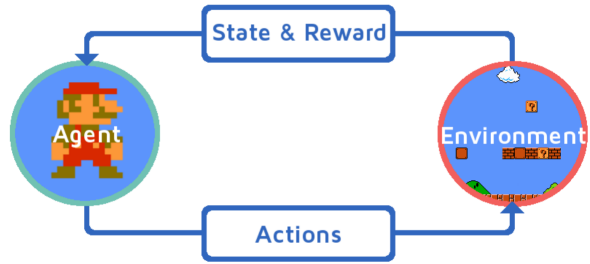


Figuur 10: Unsupervised Learning



Figuur 11: Voorbeeld Clustering: de data in groepen verdelen

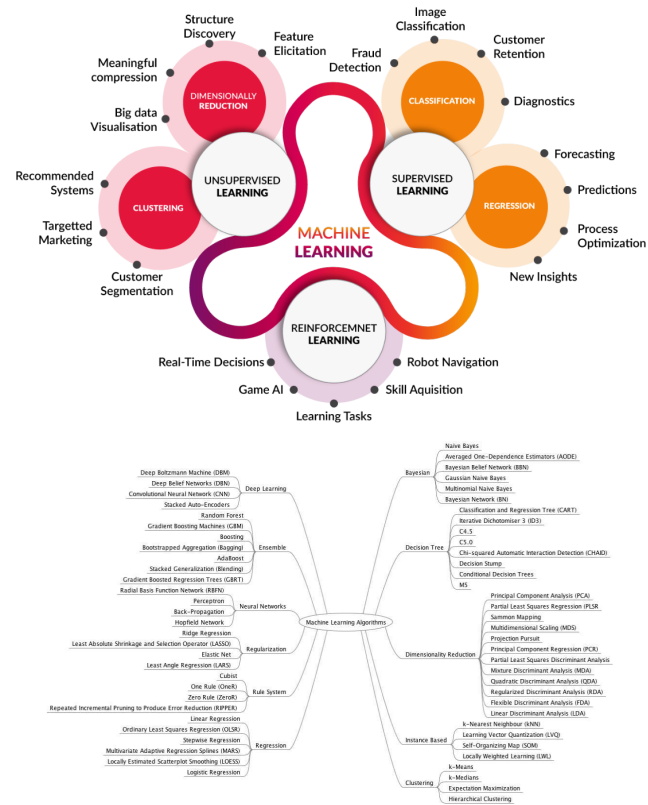
2.4 Reinforcement learning



Figuur 12: Reinforcement learning

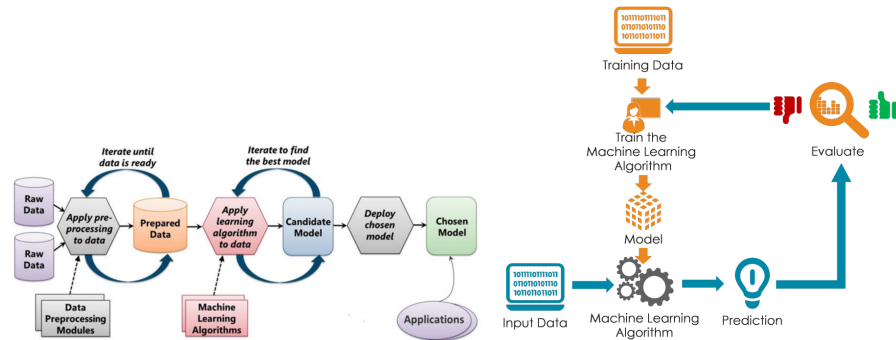
- Voor elke actie krijgt de AI feedback
- De AI leert uit de feedback
- In het begin zijn de acties heel willekeurig

2.5 Overzicht leeralgoritmes



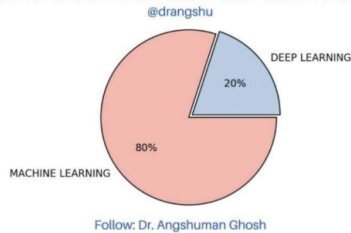
Figuur 13: Overzicht

2.6 Werkwijze van een ML Project



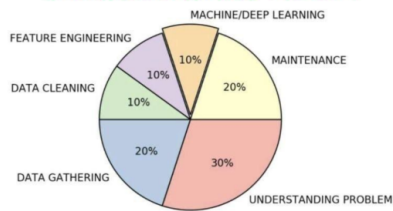
2.6.1 Tijdverdeling

DATA SCIENTIST JOB - EXPECTATION



Follow: Dr. Angshuman Ghosh

DATA SCIENTIST JOB - REALITY



Figuur 14: Tijdverdeling: verwachting vs realiteit

3 Enkelvoudige Lineaire regressie

3.1 Voorbeeld

| | leeftijd | gewicht | bloeddruk |
|----|----------|---------|-----------|
| 0 | 52 | 78 | 132 |
| 1 | 59 | 83 | 143 |
| 2 | 67 | 88 | 153 |
| 3 | 73 | 96 | 162 |
| 4 | 64 | 89 | 154 |
| 5 | 74 | 100 | 168 |
| 6 | 54 | 85 | 137 |
| 7 | 61 | 85 | 149 |
| 8 | 65 | 94 | 159 |
| 9 | 46 | 76 | 128 |
| 10 | 72 | 98 | 166 |

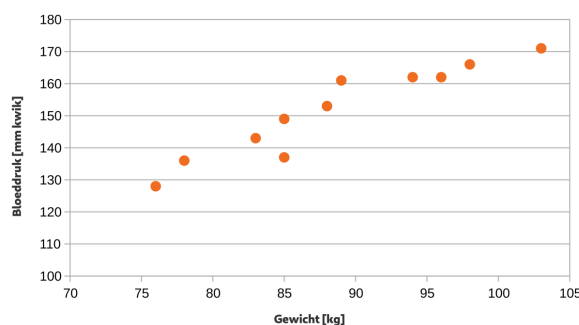
Figuur 15: Voorspel de bloeddruk op basis van leeftijd en gewicht

- **features:** leeftijd en gewicht
- **target:** bloeddruk (=wat je wil voorspellen = output = label)
- **trainingset:** 11 training examples (=samples)

Definitie 3.1 (Regressie-analyse) *Regressie-analyse is het modelleren van of het zoeken naar een verband op basis van één of meerdere variabelen.*

Bij regressie is de output/target een (continue) variabele

3.1.1 Scatterplot



Figuur 16: Scatterplot: de grafiek toont een positieve correlatie ⇒ een sterk verband

3.2 De hypothese

Definitie 3.2 (De hypothese) Het verband (model of hypothese) $h_\theta(x)$ is van de vorm:

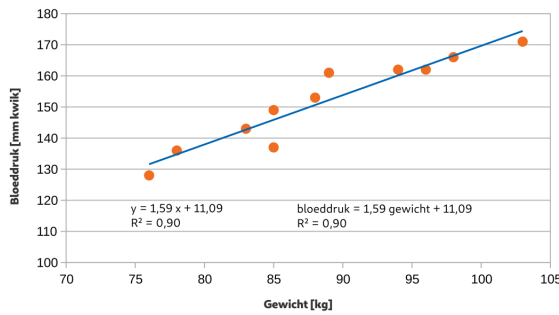
$$h_\theta(x) = \theta_0 + \theta_1 x \quad (1)$$

Bepalen van de optimale waarden voor θ_0 en θ_1 :

- θ_0 = snijpunt van de y-as (= noemen we ook de **bias**)
- θ_1 = helling van de rechte (rico)

De parameters θ_i = **weights**

Het zoeken van het model / hypothese = **training** / **learning**



Figuur 17: Lineaire trendlijn met model $h_\theta(x)$

Definitie 3.3 De R^2 -waarde of determinatiecoëfficiënt is een getal tussen 0 en 1 dat weergeeft hoe groot het deel van de variantie is die wordt verklaard door het statistisch model.

- $R^2 = 1 \Rightarrow$ Het model kan alle variantie verklaren
- $R^2 = 0 \Rightarrow$ Het model kan niets verklaren. Dit is hetzelfde alsof het model gewoon het gemiddelde neemt.

3.3 De kostenfunctie

We minimaliseren de kostenfunctie $J(\theta)$ via de **Least Mean Squared** methode (LMS).

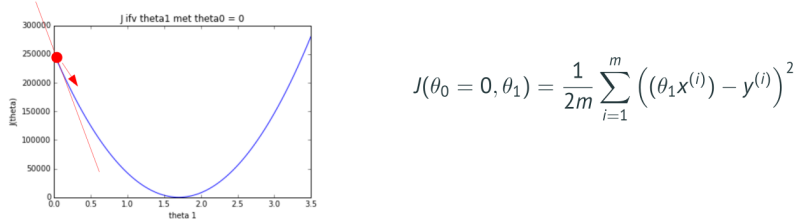
$$J(\theta) = \frac{1}{2 \cdot m} \cdot \sum_{i=1}^m (h_\theta(x_i) - y_i)^2 \quad (2)$$

- m = de bias = snijpunt met de y-as
- De kostenfunctie berekent de gemiddelde fout door alle fouten op te tellen
- Elke fout wordt gekwadrateerd om:
 - negatieve waardes positief te maken
 - de fout uit te groten

3.4 Gradient Descent (GDS)

$$J(\theta_0, \theta_1) = \frac{1}{2 \cdot m} \sum_{i=1}^m ((\theta_1 \cdot x_i + \theta_0) - y_i)^2 \quad (3)$$

Stel de parameters θ_0 en θ_1 voortdurend bij in een iteratief proces tot je de waarden voor θ_0 en θ_1 hebt gevonden die de kleinst mogelijke waarde. Start met willekeurige waarden.



Figuur 18: De GDS als $\theta_0 = 0$

- Je krijgt een dalparabool als uitkomst
- Je kan aflezen wat de parameters moeten zijn om de kleinst mogelijke waarde te vinden
- In de realiteit heb je vaak veel meer dan 2 gewichten
 - Voorbeeld: de textgenererende AI GPT-3 heeft rond de 175 miljard gewichten
 - \Rightarrow veel rekenkracht nodig om beste uitkomst te vinden

3.4.1 Learning rate

$$J(\theta_0, \theta_1) = \frac{1}{2m} \sum_{i=1}^m ((\theta_1 x^{(i)} + \theta_0) - y^{(i)})^2$$

Bepaal de gradient naar θ_0 en θ_1

$$\frac{dJ(\theta)}{d\theta_0} = \frac{2}{2m} \sum_{i=1}^m ((\theta_1 x^{(i)} + \theta_0) - y^{(i)})$$

$$\frac{dJ(\theta)}{d\theta_1} = \frac{2}{2m} \sum_{i=1}^m ((\theta_1 x^{(i)} + \theta_0) - y^{(i)}) x^{(i)}$$

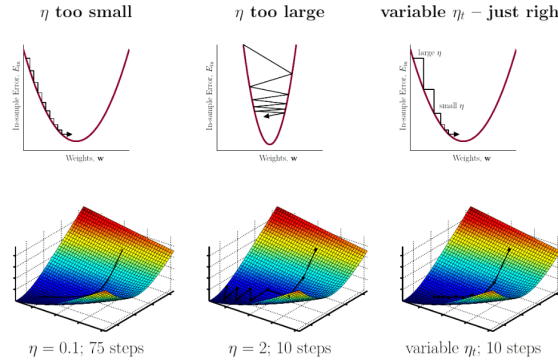
Update de parameters θ_0 en θ_1 volgens:

$$\theta_0 := \theta_0 - \eta \frac{dJ(\theta)}{d\theta_0} \quad \text{en} \quad \theta_1 := \theta_1 - \eta \frac{dJ(\theta)}{d\theta_1}$$

Figuur 19: De parameters θ_0 en θ_1 stellen we constant bij (formules niet te kennen)

- We bepalen de afgeleide (= de gradient, de helling) van θ_0 en θ_1
- We gebruiken die afgeleiden om een betere θ_0 en θ_1 te vinden.
- We vermenigvuldigen de gradient met een variable η (=de learning rate)

- Onze nieuwe θ wordt berekend met behulp van de oude θ en de afgeleide maal de learning rate.



Figuur 20: Learning rate η : bij een te kleine/te grote η hebben we te veel stappen

De learning rate η stellen we constant bij om met zo weinig aantal stappen het optimum te bereiken.

4 Meervoudige lineaire regressie

Definitie 4.1 (Meervoudige lineaire regressie) Bij meervoudige lineaire regressie (*multiple regression*) wordt het model/hypothese bepaald aan de hand van een trainingset met **meerdere features**.

Voorbeelden:

- Bloeddruk wordt bepaald a.d.h.v. gewicht en leeftijd
- De kwaliteit van wijn wordt voorspeld op basis van: zuurtegraad, suikergehalte, chloriden, dichtheid, sulfaten, hoeveelheid alcohol, ...
- Het warmteverlies van een huis wordt voorspeld op basis van: het type glas, muurisolatie, oriëntatie van het huis, ...

$$h_{\theta}(x) = \theta_0 + \theta_1 x_1 + \theta_2 x_2 + \cdots + \theta_n x_n \quad (4)$$

- CRIM - per capita crime rate by town.
- ZN - proportion of residential land zoned for lots over 25,000 sq.ft.
- INDUS - proportion of non-retail business acres per town.
- CHAS - Charles River dummy variable (1 if tract bounds river; 0 otherwise).
- NOX - nitric oxides concentration (parts per 10 million).
- RM - average number of rooms per dwelling.
- AGE - proportion of owner-occupied units built prior to 1940.
- DIS - weighted distances to five Boston employment centres.
- RAD - index of accessibility to radial highways.
- TAX - full-value property-tax rate per \$10000.
- PTRATIO - pupil-teacher ratio by town.
- B - 1000(B_t - 0.63)^2 where B_t is the proportion of blacks by town.
- LSTAT % lower status of the population.
- Price - Median value of owner-occupied homes in 1000's.

| | CRIM | ZN | INDUS | CHAS | NOX | RM | AGE | DIS | RAD | TAX | PT | B | LSTAT | Price |
|---|---------|------|-------|------|-------|-------|-----------|--------|-----|-----|-----------|------------|-------|------------|
| 0 | 0.00632 | 18.0 | 2.31 | 0 | 0.538 | 6.575 | 65.199997 | 4.0900 | 1 | 296 | 15.300000 | 396.899994 | 4.98 | 504.000000 |
| 1 | 0.02731 | 0.0 | 7.07 | 0 | 0.469 | 6.421 | 78.900002 | 4.9671 | 2 | 242 | 17.799999 | 396.899994 | 9.14 | 453.600008 |
| 2 | 0.02729 | 0.0 | 7.07 | 0 | 0.469 | 7.185 | 61.099998 | 4.9671 | 2 | 242 | 17.799999 | 392.829987 | 4.03 | 728.700016 |
| 3 | 0.03237 | 0.0 | 2.18 | 0 | 0.458 | 6.998 | 45.799999 | 6.0622 | 3 | 222 | 18.700001 | 394.630005 | 2.94 | 701.400032 |
| 4 | 0.06905 | 0.0 | 2.18 | 0 | 0.458 | 7.147 | 54.200001 | 6.0622 | 3 | 222 | 18.700001 | 396.899994 | 5.33 | 760.200016 |

Figuur 21: **Voorbeeld:** voorspel de huisprijs op basis van deze features

4.1 Statistische vooranalyse

4.1.1 Consistentie van de dataset

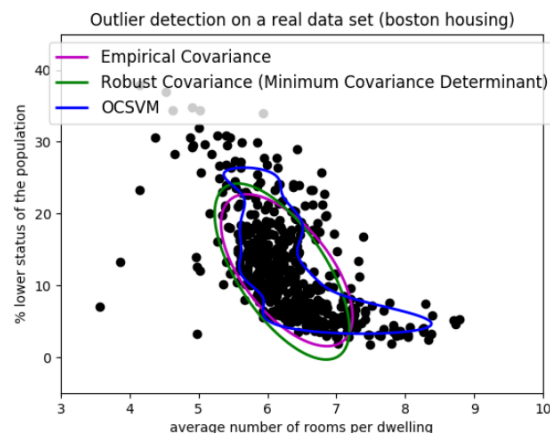
- Volledigheid van de dataset
- Inconsistenties
- Spreiding van de gegevens

Verwijderen van een onnodige kolom:

```
1 dataset.drop('CHAS', axis=1, inplace=True)
```

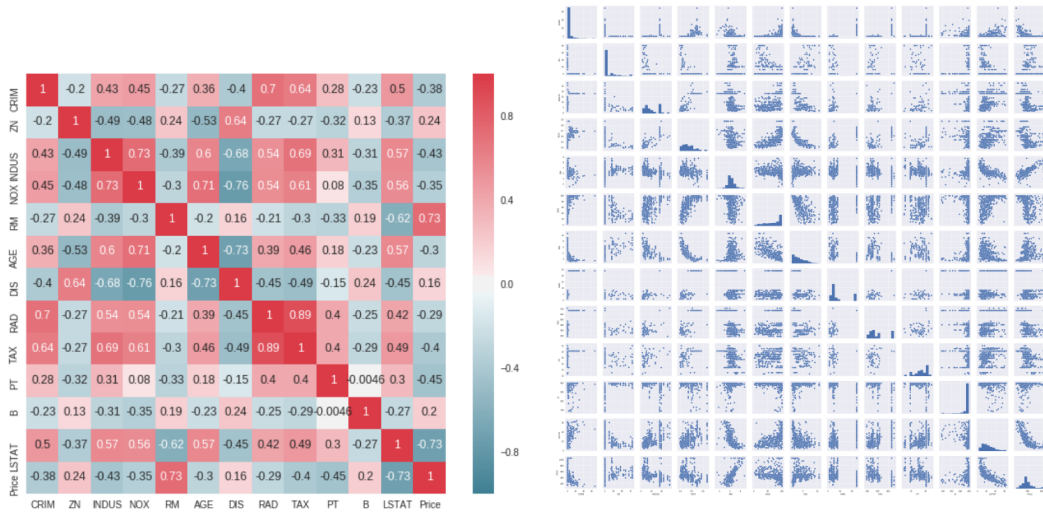
4.1.2 Uitschieters

- Vinden en verwijderen van extreme waarden/samples
- Geavanceerde technieken: zie later bij clustering



Figuur 22: Uitschieters

4.1.3 Onderlinge correlatie



Figuur 23: Heatmap en pairplot van de underline correlatie tussen de features

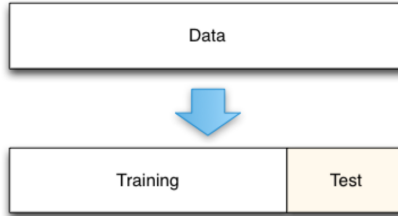
4.2 Features en targets

| CRIM | ZN | INDUS | NOX | RM | AGE | DIS | RAD | TAX | PT | B | LSTAT | Price |
|---------|------|-------|-------|-------|-----------|--------|-----|-----|-----------|------------|-------|------------|
| 0.00632 | 18.0 | 2.31 | 0.538 | 6.57 | 65.199997 | 4.0900 | 1 | 296 | 15.300000 | 396.899994 | 4.98 | 504.000000 |
| 0.02731 | 0.0 | 7.07 | 0.469 | 6.421 | 78.900004 | 4.9671 | 2 | 242 | 17.799999 | 396.899994 | 9.14 | 453.600000 |
| 0.02729 | 0.0 | 7.07 | 0.469 | 7.185 | 61.099998 | 4.9671 | 2 | 242 | 17.799999 | 392.829987 | 4.03 | 728.700016 |
| 0.03237 | 0.0 | 2.18 | 0.458 | 6.994 | 45.799999 | 6.0622 | 3 | 222 | 18.700001 | 394.630005 | 2.94 | 701.400032 |
| 0.06903 | 0.0 | 2.18 | 0.458 | 7.147 | 54.200001 | 6.0622 | 3 | 222 | 18.700001 | 396.899994 | 5.33 | 760.200016 |

Figuur 24: Dataset opsplitsen in features en targets

```
1 # opsplisten in features en targets. axis=1 == column
2 y = dataset['target_kolom'].values
3 X = dataset.drop('target_kolom',axis=1).values
4 # Alternatief: als bvb de laatste kolom het target is
5 features=list(dataset.columns[:dataset.columns.size-1])
6 X = dataset[features].values
7 y = dataset['Price'].values
```

4.3 Trainen van het model



Figuur 25: Dataset opsplitsen in training set en test set

- Belangrijk om eerst de data te randomiseren: te data zou gesorteerd kunnen zijn, dat willen we vermijden
- Stel dat huizenprijzen van laag naar hoog gesorteerd is, en je traaint de data op de eerste 75%, en test de laatste 25%. Resultaat: Het model zal niet getraind zijn op dure huizen.
- Ander voorbeeld: stel dat je een self-driving AI alleen traaint op de autosnelweg, en dan test in een zone-30 straat bij een school...

```
1 X_train, X_test, y_train, y_test = train_test_split(X, y, test_size=0.33,
2 random_state=0)
```

4.3.1 Initialiseren en trainen van het regressiemodel

```
1 lregmodel = linear_model.LinearRegression()
2 lregmodel.fit(X_train, y_train)
```

Model:

```
1 print('coeffs: ', lregmodel.coef_)
2 print('intercept', lregmodel.intercept_)

3

4 >> coeffs: [ -3.56141289e+00, 4.05479295 e-01, 8.14080284 e-01,
5     8.96450415 e+01, -3.02997261e-01, -2.77339444e+01,
6     7.47151897 e+00, -2.92233040e-01, -1.61741146e+01,
7     -1.17962045e +01]

8

9 >> intercept: 650.652022517
```

Price = - 3.56 × CRIM + 0.41 × ZN + 0.81 × INDUS - 270.51 × NOX + 89.65 × RM - 0.30 × AGE - 27.74 × DIS + 7.47 × RAD - 0.29 × TAX - 16,17 × PT + 0.08 × B - 11.80 × LSTAT + 650.65

4.4 Testen van het model

4.4.1 Voorspellingen maken

| CRIM | ZN | INDUS | NOX | RM | AGE | DIS | RAD | TAX | PT | B | LSTAT |
|------|----|-------|------|------|-------|------|-----|-----|-------|--------|-------|
| 0.11 | 0 | 12.03 | 0.57 | 6.80 | 89.30 | 2.39 | 1 | 273 | 21.00 | 393.45 | 6.48 |

Figuur 26: Voorspel de prijs van een huis met deze features

```

1 house = np.array([0.11, 0, 12.03, 0.57, 6.80, 89.30, 2.39, 1,
2 273, 21.00, 393.45, 6.48])
3
4 house = house.reshape(1, -1)
5
6 # met reshape wordt house:
7 # house = np.array([[0.11, 0, 12.03, 0.57, 6.80, 89.30, 2.39, 1,
8 # 273, 21.00, 393.45, 6.48]])
9
10 price = lregmodel.predict(house)
11
12 print('De prijs van het huis bedraagt: ', price)
13
14 >> De prijs van het huis bedraagt: 563.68335073

```

- `reshape(1, -1)` maakt een rijvector
- Werkelijke prijs: 562.00

4.5 Performantie en scores van het model

4.5.1 Mean Absolute Error (MAE)

Definitie 4.2 (MAE) *De Mean Absolute Error (MAE) is het gemiddelde van de absolute waarden van het verschil tussen de werkelijke waarden y_i en de voorspelde waarden \hat{y}_i .*

$$MAE = \frac{1}{n} \cdot \sum_{i=1}^n |y_i - \hat{y}_i| \quad (5)$$

```

1 from sklearn.metrics import mean_absolute_error
2
3 y_predicted = lregmodel.predict(X_test)
4 MAE = mean_absolute_error(y_test, y_predicted)
5
6 print('MAE= ', MAE)
7
8 >> MAE = 64.0090867586

```

4.5.2 Mean Squared Error (MSE)

Definitie 4.3 (MSE) *De Mean Squared Error (MSE) is het gemiddelde van de gekwadrateerde waarden van het verschil tussen de werklijke waarden y_i en de voorspelde waarden \hat{y}_i .*

$$MSE = \frac{1}{n} \cdot \sum_{i=1}^n (y_i - \hat{y}_i)^2 \quad (6)$$

```

1 from sklearn.metrics import mean_squared_error
2
3 y_predicted = lregmodel.predict(X_test)
4 MSE = mean_squared_error(y_test, y_predicted)

```

```

5   print('MSE = ' MSE)
6
7 >> MSE = 7803.89332739

```

4.5.3 Determinatiecoëfficiënt

Definitie 4.4 (De determinatiecoëfficiënt R^2) De determinatiecoëfficiënt (R^2) is de variabiliteit van het model

$$R^2 = 1 - \frac{\sum_{i=1}^n (y_i - \hat{y}_i)^2}{\sum_{i=1}^n (y_i - \bar{y})^2} \quad (7)$$

Bij perfecte voorspellingen is $R^2 = 1$

Een negatieve waarde voor R^2 betekent dat het model slechter scoort dan een horizontale lijn (= slechter dan het gemiddelde te nemen) ($y_i = \bar{y}$, \bar{y} is het gemiddelde van y)

```

1 from sklearn.metrics import r2_score
2
3 y_predicted = lregmodel.predict(X_test)
4 r2 = r2_score(y_test, y_predicted)
5
6 print('r2_score = ', r2)
7
8 # alternatieve manier voor het bepalen van de r2 score:
9 r2 = lregmodel.score(X_test, y_test)
10
11 >> r2 score = 0.754254234917

```

5 Feature engineering

Om een beter model te verkrijgen (en zo een betere R^2 score), kunnen we verschillende dingen doen:

- Meer data toevoegen
- Ander model kiezen, hyperparameter tuning
- Feature engineering: het aanmaken van extra features gebaseerd op de bestaande features

5.1 Normalisatie / Scaling

Definitie 5.1 (Normalisatie / Scaling) Normalisatie of Scaling zorgt ervoor dat de features op dezelfde schaalverdeling staan

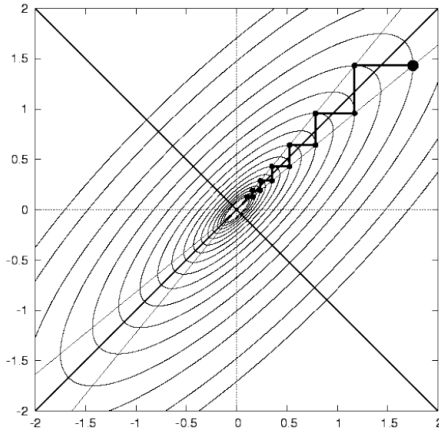
In ons voorbeeld van de huurprijs:

| | CRIM | ZN | INDUS | NOX | RM | AGE | DIS | RAD | TAX | PT | B | LSTAT |
|-------|------------|------------|------------|------------|------------|------------|------------|------------|------------|------------|------------|------------|
| count | 441.000000 | 441.000000 | 441.000000 | 441.000000 | 441.000000 | 441.000000 | 441.000000 | 441.000000 | 441.000000 | 441.000000 | 441.000000 | 441.000000 |
| mean | 2.649013 | 9.988662 | 10.759479 | 0.547575 | 6.265785 | 67.632200 | 3.851895 | 8.478458 | 389.045351 | 18.387302 | 375.393853 | 12.165329 |
| std | 6.273766 | 19.941189 | 6.749778 | 0.112896 | 0.685393 | 27.997824 | 2.054024 | 8.000859 | 158.293650 | 2.164533 | 49.296266 | 6.632866 |
| min | 0.006320 | 0.000000 | 1.250000 | 0.385000 | 3.561000 | 2.900000 | 1.169100 | 1.000000 | 188.000000 | 12.600000 | 83.449997 | 1.730000 |
| 25% | 0.081870 | 0.000000 | 5.190000 | 0.449000 | 5.877000 | 45.000000 | 2.122200 | 4.000000 | 277.000000 | 17.000000 | 377.730011 | 6.920000 |
| 50% | 0.217190 | 0.000000 | 8.140000 | 0.524000 | 6.172000 | 74.500000 | 3.375100 | 5.000000 | 311.000000 | 18.700001 | 392.200012 | 10.740000 |
| 75% | 1.656600 | 12.500000 | 18.100000 | 0.609000 | 6.590000 | 93.599998 | 5.231100 | 8.000000 | 432.000000 | 20.200001 | 396.899994 | 15.940000 |
| max | 67.920799 | 80.000000 | 27.740000 | 0.871000 | 8.780000 | 100.000000 | 10.710300 | 24.000000 | 711.000000 | 22.000000 | 396.899994 | 31.990000 |

NOX: 0.385 \rightarrow 0.871 terwijl TAX: 188 \rightarrow 711

Figuur 27: NOX: min = 0.385, max = 0.871; TAX: min = 188, max = 711

5.1.1 Voordelen

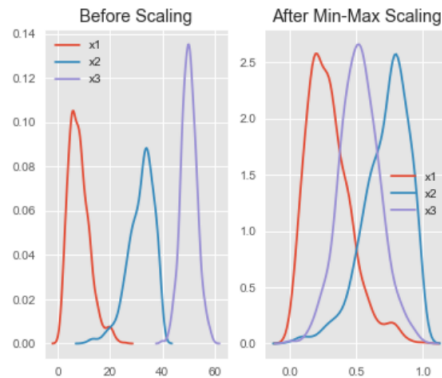


Figuur 28: Gradient Descent convergeert minder snel als features op een verschillende schaalgrootte staan. Normalisatie zorgt er dus voor dat het model sneller zal trainen.

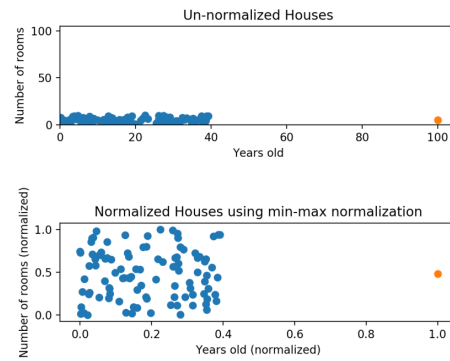
5.1.2 MIN-MAX-scaling

$$x_{s_i} = \frac{x_i - \text{Min}(x)}{\text{Max}(x) - \text{Min}(x)} \quad (8)$$

- Schaalt alle features tussen 0 en 1
- Werkt goed bij niet-Gaussiaanse distributies en bij kleine variantie
- De scheefheid (skew) blijft bewaard
- Gevoelig voor uitschieters



Figuur 29: Voor en na scaling



Figuur 30: Bij het voorbeeld van de huizenprijzen

```

1  from sklearn.preprocessing import MinMaxScaler
2
3  scaler = MinMaxScaler().fit(X_train)
4  X_train = scaler.transform(X_train)
5  X_test = scaler.transform(X_test)
6
7  # alternatief
8  scaler = MinMaxScaler()
9  X_train = scaler.fit_transform(X_train)
10 X_test = scaler.transform(X_test)

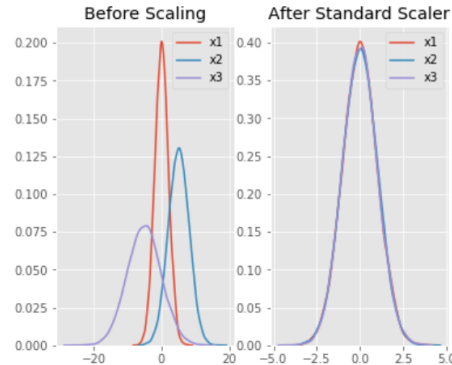
```

5.1.3 Standard scaling (normalisatie)

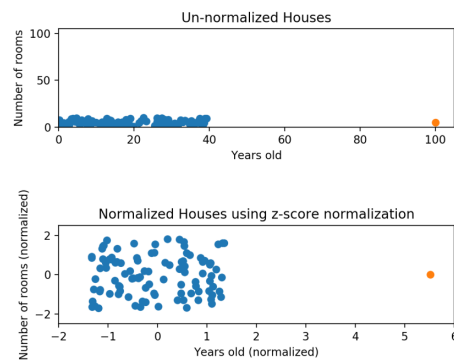
$$x_{s_i} = \frac{x_i - \text{mean}(x)}{\text{stddev}(x)} \quad (9)$$

- Geschaalde features;
 - Gemiddelde = 0
 - Standaardafwijking = 1

- Geschaalde features schommelen rond 0 (soms nodig bij deep learning)
- Vervormt geen relatieve afstanden tussen de feature waarden
- Kan beter overweg met uitschieters
- Garandeert geen genormaliseerde data op exact dezelfde schaal



Figuur 31: Voor en na standard scaling



Figuur 32: Bij het voorbeeld van de huizenprijzen

```

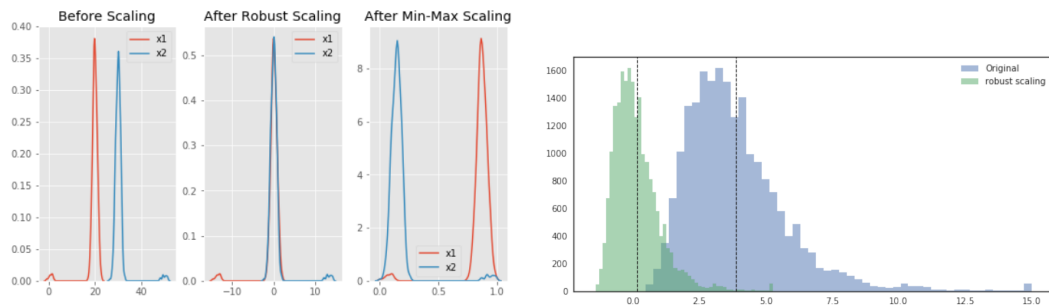
1  from sklearn.preprocessing import StandardScaler
2
3  scaler = StandardScaler().fit(X_train)
4  X_train = scaler.transform(X_train)
5  X_test = scaler.transform(X_test)
6
7  # alternatief
8  scaler = StandardScaler()
9  X_train = scaler.fit_transform(X_train)
10 X_test = scaler.transform(X_test)

```

5.1.4 Robust scaling

$$x_{s_i} = \frac{x_i - Q_2(x)}{Q_3(x) - Q_1(x)} \quad (10)$$

- Lijkt op MIN-MAX scaler maar gebruikt de interkwartielafstand ipv range
- Houdt geen rekening met uitschieters
- Gebruikt minder data bij het bepalen van de schaal
- Range van de genormaliseerde data is groter dan bij MIN-MAX scaling
- Garandeert geen genormaliseerde data op exact dezelfde schaal



Figuur 33: Voor en na robust scaling

```

1 from sklearn.preprocessing import RobustScaler
2
3 scaler = RobustScaler().fit(X_train)
4 X_train = scaler.transform(X_train)
5 X_test = scaler.transform(X_test)
6
7 # alternatief
8 scaler = RobustScaler()
9 X_train = scaler.fit_transform(X_train)
10 X_test = scaler.transform(X_test)

```

5.2 Feature expansion

5.2.1 Nieuwe features

Bedenken van nieuwe features

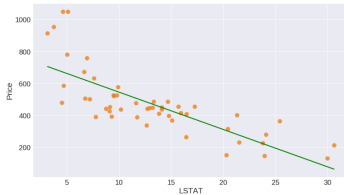
Voorbeelden:

- Uit de lengte en breedte van een huis de oppervlakte halen als nieuwe feature.
- Uit een start en eindpunt de afstand halen als nieuwe feature.
- Uit een datum afleiden welke dag van de week het is.
- Veranderingen in de features.
- Nieuwe opgemeten parameters.

5.2.2 Hogere-orde features

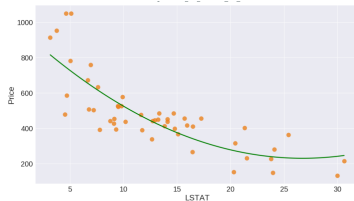
= Het verband tussen features en de target(s) is niet altijd lineair.

Voorbeeld: samenhang tussen LSTAT (x_1) en de huizenprijs (P)



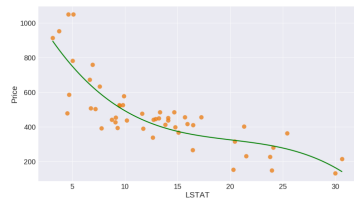
Figuur 34: $P = \theta_0 + \theta_1 x_1$

Toevoegen van een extra hogere-orde feature $x_2 = x_1^2$:

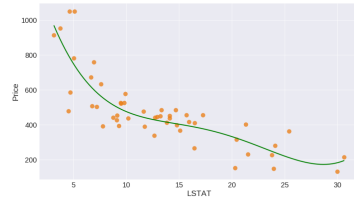


Figuur 35: $P = \theta_0 + \theta_1 x_1 + \theta_2 x_2$

Toevoegen van een extra hogere-orde features $x_3 = x_1^3$ en $x_4 = x_1^4$:



Figuur 36: $P = \theta_0 + \theta_1 x_1 + \theta_2 x_2 + \theta_3 x_3$



Figuur 37: $P = \theta_0 + \theta_1 x_1 + \theta_2 x_2 + \theta_3 x_3 + \theta_4 x_4$

```

1 # toevoegen van een extra feature: LSTAT^2 LSTAT^3
2 dataset.insert(dataset.columns.size - 1, 'LSTAT^2', dataset.LSTAT**2)
3 dataset.insert(dataset.columns.size - 1, 'LSTAT^3', dataset.LSTAT**3)

```

| | CRIM | ZN | INDUS | NOX | RM | AGE | DIS | RAD | TAX | PT | B | LSTAT | LSTAT^2 | LSTAT^3 | Price |
|---|---------|------|-------|-------|-------|-----------|--------|-----|-----|-----------|------------|-------|-----------|------------|------------|
| 0 | 0.00632 | 18.0 | 2.31 | 0.538 | 6.575 | 65.199997 | 4.0900 | 1 | 296 | 15.300000 | 396.899994 | 4.98 | 24.800400 | 123.505993 | 504.000000 |
| 1 | 0.02731 | 0.0 | 7.07 | 0.469 | 6.421 | 78.900002 | 4.9671 | 2 | 242 | 17.799999 | 396.899994 | 9.14 | 83.539606 | 763.552030 | 453.600008 |
| 2 | 0.02729 | 0.0 | 7.07 | 0.469 | 7.185 | 61.099998 | 4.9671 | 2 | 242 | 17.799999 | 392.829987 | 4.03 | 16.240902 | 65.450837 | 728.700016 |
| 3 | 0.03237 | 0.0 | 2.18 | 0.458 | 6.998 | 45.799999 | 6.0622 | 3 | 222 | 18.700001 | 394.630005 | 2.94 | 8.643600 | 25.412185 | 701.400032 |
| 4 | 0.06905 | 0.0 | 2.18 | 0.458 | 7.147 | 54.200001 | 6.0622 | 3 | 222 | 18.700001 | 396.899994 | 5.33 | 28.408899 | 151.419431 | 760.200016 |

Figuur 38: Resultaat toevoegen hogere-orde features

- Nu model met extra features trainen en nadien testen op de test set.
- Opgepast:** bij de test set moet je ook dezelfde features toevoegen.

5.3 One-hot encoding

- = Omzetten van categorische variabelen naar meerdere aparte features
- categorische variabelen = variabelen zonder echte waarden, de waarden stellen een categorie voor (niet altijd een nummer)
- ⇒ voor elke categorie een nieuwe kolom
- ‘Dummy Variable Trap’
 - = als een rij maar tot 1 categorie kan behoren (zie onderstaand voorbeeld, een appel is geen kip), dan zou je in principe 1 kolom kunnen schrappen en dan kan je toch dezelfde informatie krijgen.
 - $x_1 + x_2 + x_3 = 1 \Leftrightarrow x_1 = 1 - x_2 - x_3$
 - In de praktijk laat men dit gewoon staan.
 - (niet te kennen op examen)

| Label Encoding | | | One Hot Encoding | | | |
|----------------|---------------|----------|------------------|---------|----------|----------|
| Food Name | Categorical # | Calories | Apple | Chicken | Broccoli | Calories |
| Apple | 1 | 95 | 1 | 0 | 0 | 95 |
| Chicken | 2 | 231 | 0 | 1 | 0 | 231 |
| Broccoli | 3 | 50 | 0 | 0 | 1 | 50 |

Figuur 39: Voorbeeld One-hot encoding

```

1 # voeg de categorieën toe als kolommen
2 dataset = pd.concat(
3     [dataset, pd.get_dummies(dataset['food_name'], prefix='food')], 
4     axis=1)
5 # verwijder de food_name kolom
6 dataset.drop(['food_name'], axis=1, inplace=True)
7 # toon de eerste 5 rijen:
8 dataset.head()

```

| | food_name | Calories | | Calories | food_Apple | food_Broccoli | food_Chicken | food_Chocolat |
|---|-----------|----------|---|----------|------------|---------------|--------------|---------------|
| 0 | Apple | 95 | 0 | 95 | 1 | 0 | 0 | 0 |
| 1 | Chicken | 231 | 1 | 231 | 0 | 0 | 1 | 0 |
| 2 | Broccoli | 50 | 2 | 50 | 0 | 1 | 0 | 0 |
| 3 | Chocolat | 549 | 3 | 549 | 0 | 0 | 0 | 1 |

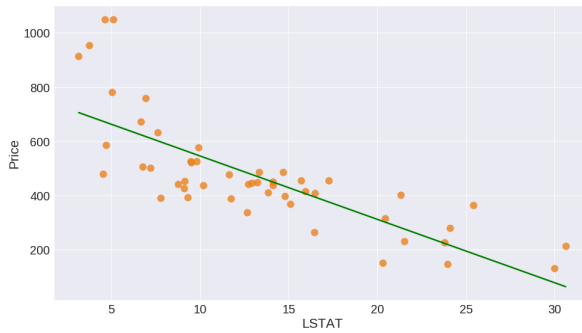
Figuur 40: Resultaat van dataset.head(), voor en na one-hot encoding

6 Underfitting & overfitting

6.1 Underfitting

Definitie 6.1 (Underfitting) *Underfitting treedt op wanneer een model de training data niet kan modeleren en ook niet kan generaliseren op nieuwe data.*

- *Het model is te 'simpel'*
- *Model met hoge bias*
- ⇒ *de score met de training data en de score met de test data zijn beiden laag.*

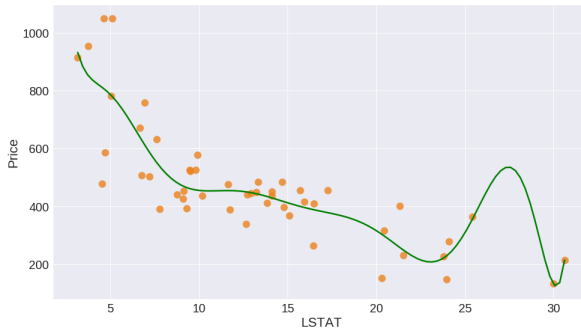


Figuur 41: Het model werkt voor sommige variabelen maar voor velen ook niet

6.2 Overfitting

Definitie 6.2 (Overfitting) *Overfitting treedt op wanneer een model de training data te goed modelleert en niet kan generaliseren op nieuwe data.*

- *Het model is te 'complex'*
- *De ruis van willekeurige fluctuaties in data worden opgepikt*
- *Model met een hoge variance*
- ⇒ *de score met de training data is groter dan de score met de test data*

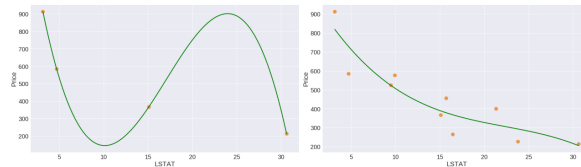


Figuur 42: Model met order ≈ 15

6.2.1 Impact van de grootte van de dataset

Afhankelijkheid van de grootte van de dataset (aantal observaties m):

- Bij weinig observaties: snel overfitting bij complexer model
- Bij veel observaties: minder snel overfitting bij complexer model



Figuur 43: Voorbeeld met 3de orde polynoom: links = overfitting, rechts niet

6.3 Regularisatie (regularisation)

Definitie 6.3 (Regularisatie) Methode om de mate van bias van een hypothese te regelen en een goed evenwicht te vinden tussen underfitting en overfitting.

We gebruikten tot nu een kostenfunctie die we moesten minimaliseren om het model te trainen. Daar voegen we nu $R(\theta)$ aan toe:

$$J(\theta) = \frac{1}{2 \cdot m} \sum_{i=1}^m (h_\theta(x_i) - y_i)^2 + R(\theta) \quad (11)$$

Definitie 6.4 ($R(\theta)$) $R(\theta)$ is de regularisatie-term.

Dit is een extra kostenterm die het gebruik van hogere orde features afstraft tenzij ze de globale kostenfunctie doen dalen. $R(\theta)$ is gelijk aan $\lambda \theta \theta^\top$.

6.3.1 Voorbeeld regularisatie

$$J(\theta) = \frac{1}{2 \cdot m} \sum_{i=1}^m (h_\theta(x_i) - y_i)^2 + \lambda \theta \theta^\top$$

- $\theta = \{\theta_1, \dots, \theta_n\}$
 - intercept θ_0 wordt meestal niet geregulariseerd
 - Als de θ 's vergroten, zal de $R(\theta)$ ook vergroten

- λ is een tuning parameter (hyper parameter), we moeten die zelf vinden
 - $\lambda = 0 \Rightarrow$ geen regularisatie
 - $\lambda = \inf \Rightarrow \theta = 0$
 - λ tussenin regelt de mate van regularisatie.

De tuningparameter λ regelt de complexiteit van de hypothese:

- Kleine waarde voor λ : lage bias, hoge variantie (overfitting)
- Grote waarde voor λ : hoge bias, lage variantie (underfitting)

Afhankelijk van hoe R gedefinieerd wordt is er een andere benaming voor de regularisatie:

- Ridge regression (L2 regularisatie)
- Lasso regression (L1 regularisatie)

Het is ook mogelijk om meerdere regularisatietermen aan de kostenfunctie toe te voegen, bijvoorbeeld 1 gebaseerd op L2 en 1 op L1.

6.3.2 Regularisatie met L2 norm

Bij L2 regularisatie wordt de regularisatieterm berekend met behulp van de som van de kwadraten van de θ 's

$$J_{L2} = J + \lambda_2 \sum_{j=1}^m \theta_j^2$$

$$J_{L2} = \sum_{i=1}^n (\text{target}_i - \text{output}_i) + \lambda_2 \sum_{j=1}^m \theta_j^2$$

6.3.3 Regularisatie met L1 norm

Bij L1 regularisatie wordt de regularisatieterm berekend met behulp van de som van de absolute waardes van de θ 's. L1 kan, in tegenstelling tot L2, de theta's op 0 zetten, waardoor bepaalde features helemaal niets meer zullen bijdragen aan het model.

$$J_{L1} = J + \lambda_1 \sum_{j=1}^m |\theta_j|$$

$$J_{L1} = \sum_{i=1}^n (\text{target}_i - \text{output}_i) + \lambda_1 \sum_{j=1}^m |\theta_j|$$

6.3.4 Voorbeeld regularisatie op huizenprijzen

Via Ridge of Lasso regressie met regularisatieparameter α

- Hoe groter α , hoe sterker de regularisatie en dus hoe simpler het model
- Hoe kleiner α , hoe zwakker de regularisatie en dus hoe complexer het model

```

1 regmodel = Ridge(alpha=0.14, tol=0.0001, fit_intercept=True)
2 regmodel.fit(X_train, y_train)
3 regmodel.score(X_test, y_test)
4 >> 0.79834480089914472
5
6 lregmodel = Lasso(alpha=0.5, tol=0.0001, fit_intercept=True)
7 lregmodel.fit(X_train, y_train)
8 lregmodel.score(X_test, y_test)
9 >> 0.8437113338085345

```

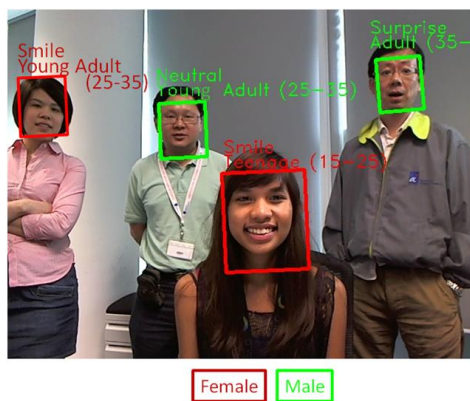
7 Classificatie

7.1 Wat is classificatie?

Definitie 7.1 (Classificatie) *Classificatie is een supervised learning techniek waarbij een getraind model niet-geziene inputs toewijst aan één of meerdere gelabelde categorieën (classes)*

7.1.1 Voorbeelden

- Gezichtsherkenning
- Nummerplaatherkenning
- Spam detectie
- Medische diagnoses
- Voorspelling of een klant op een advertentie zal klikken
- Kwaliteitscontrole
- ...

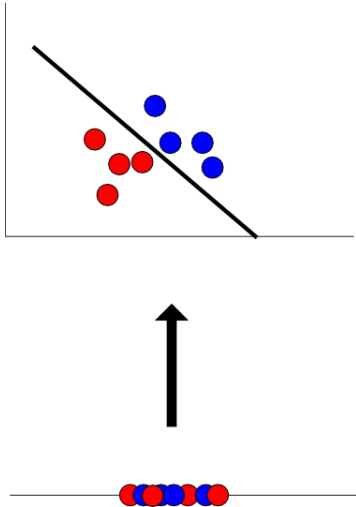


Figuur 44: Geslachtsherkenning + leeftijdsclassificatie

7.2 Types van classifiers

7.2.1 Binary (binomial) classifier

= verdeel de samples in **twee verschillende klassen**



Figuur 45: Voorbeeld: bepaal of een kanker goedaardig of kwaadaardig is

7.2.2 Multiclass classifier

Definitie 7.2 Een multiclass classifier zal samples in 3 of meer verschillende klasses verdelen



Figuur 46: Voorbeelden: gezichtsherkenning, sentiment analyse

7.2.3 Multilabel classifier

Definitie 7.3 Een multilabel classifier zal meerdere labels aan een sample toewijzen. Een sample kan dus tot meerdere klasses behoren

| Huis | Boom | Strand | Wolken | Bergen | Dieren |
|------|------|--------|--------|--------|--------|
| Ja | Ja | Nee | Ja | Nee | Nee |

Figuur 47: Image content analysis, een film kan tot meerdere genres behoren

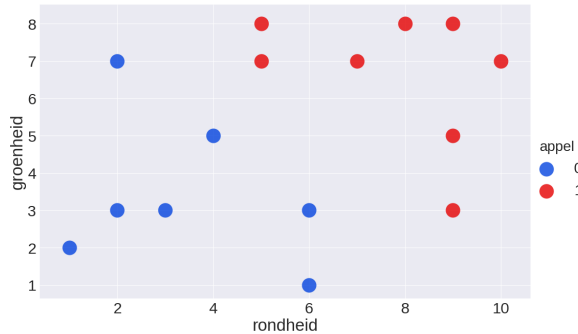
7.3 Voorbeeld van een classificatie: appel herkennen

| | rondheid | groenheid | appel |
|----|----------|-----------|-------|
| 0 | 9 | 8 | 1 |
| 1 | 10 | 7 | 1 |
| 2 | 2 | 3 | 0 |
| 3 | 1 | 2 | 0 |
| 4 | 5 | 8 | 1 |
| 5 | 7 | 7 | 1 |
| 6 | 6 | 3 | 0 |
| 7 | 3 | 3 | 0 |
| 8 | 9 | 5 | 1 |
| 9 | 9 | 3 | 1 |
| 10 | 4 | 5 | 0 |
| 11 | 6 | 1 | 0 |
| 12 | 5 | 7 | 1 |
| 13 | 8 | 8 | 1 |
| 14 | 2 | 7 | 0 |

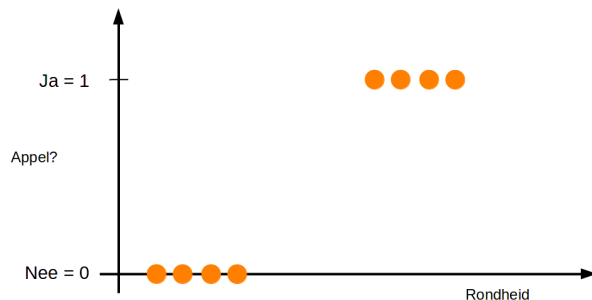
Figuur 48: Voorspel of een stuk fruit een appel is op basis van vorm en kleur

- features: rondheid en groenheid
- target: appel: ja/nee
- trainingset: 15 training samples

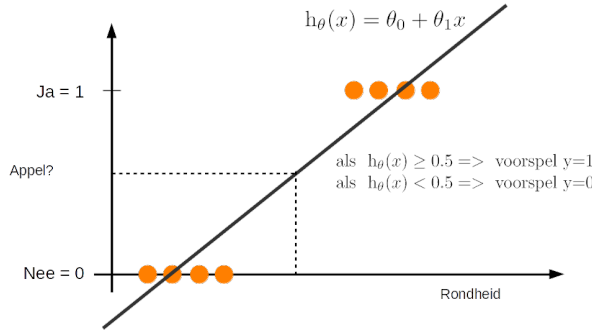
Bij classificatie is de output/target een (**discrete**) variabele/klasse



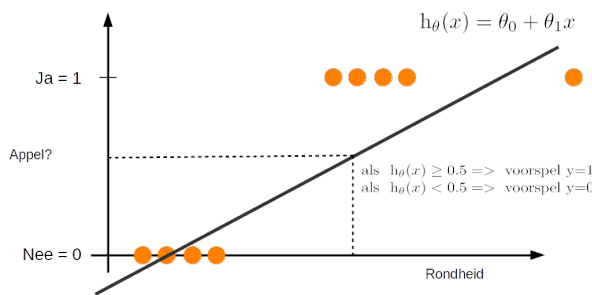
7.3.1 Waarom lineaire regressie geen goede optie is



Figuur 49: Voorbeeld: rondheid bepaalt of het een appel is of niet



Figuur 50: We proberen te classificeren met behulp van lineaire regressie



Figuur 51: Toevoegen van een nieuw punt (rechts)

- Stel dat we een nieuw punt toevoegen dan kan het zijn dat onze regressie veel minder nauwkeurig is
- Een betere manier: **logistische regressie**

8 Logistische regressie

Definitie 8.1 Logistische regressie wordt gebruikt om de kans te bepalen of een bepaalde sample tot één van twee klassen behoort. De uitkomst is dus een probabiliteit.

De naam is een beetje misleidend: Logistic Regression is eigenlijk een classificatietechniek. De reden voor deze naam is omdat regressie gebruikt wordt om de classificatie te berekenen.

8.1 Het model

Omdat de uitkomst een probabiliteit is, zoeken we een functie h_θ zodat het model $h_\theta(x)$ voldoet aan:

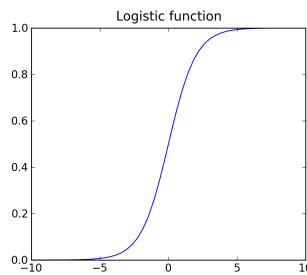
$$0 \leq h_\theta(x) \leq 1$$

- $h_\theta(x)$ = de geschatte kans dat $y = 1$ bij input x
- Voorbeeld: $h_\theta(x) = 0.80$
 - Het model is voor 80% overtuigd dat het om een appel gaat.
 - Als je dus als threshold 50% gebruikt, classificeert het model het object als een appel

8.1.1 De logistische functie

$$h_{\theta}(x) = \frac{1}{1 + e^{-\theta^T x}} \quad (12)$$

- Met e = het getal van Euler = ≈ 2.718
- Dit is een sigmoïdefunctie: de basisvorm voor zo'n functie is $\frac{1}{1+e^{-z}}$
- Bij onze logistische functie is z dus gelijk aan $\theta^T x$
 - Dit is gelijk aan de uitkomst van een lineaire regressiefunctie
 - Met x = de samplewaardes
 - Met θ = de gewichten die bij die waardes horen



Figuur 52: De logistische functie is duidelijk een sigmoïdefunctie of S-functie

- $y = 1$ als $h_{\theta}(x) \geq 0.5 \Rightarrow \theta^T x \geq 0$
- $y = 0$ als $h_{\theta}(x) < 0.5 \Rightarrow \theta^T x < 0$

8.1.2 Interpretatie via voorbeeld appels

Het model is van de vorm:

$$h_{\theta}(x) = g(\theta_0 + \theta_1 x_1 + \theta_2 x_2)$$

met x_1 = rondheid en x_2 = groenheid

Veronderstel na training: $\theta_0 = -40, \theta_1 = 4, \theta_2 = 4$

- Voorspel $y = 1$ als $-40 + 4x_1 + 4x_2 \geq 0$
- Voorspel $y = 0$ als $-40 + 4x_1 + 4x_2 < 0$

Gegeven een rondheid van 8 en een groenheid van 6:

$$\begin{aligned} -40 + 4 \cdot 8 + 4 \cdot 6 &= 16 \Rightarrow \text{Appel} \\ h_{\theta}(x) &= \frac{1}{1+e^{-16}} = 0.999999887 \end{aligned}$$

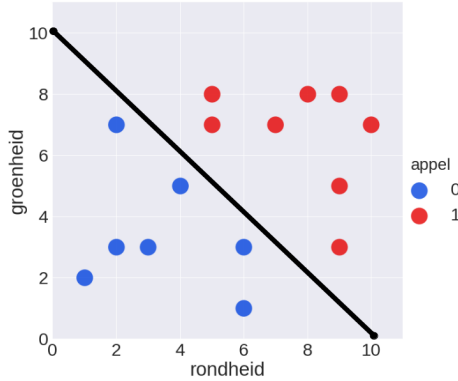
Gegeven een rondheid van 5 en een groenheid van 4.5:

$$\begin{aligned} -40 + 4 \cdot 5 + 4 \cdot 4.5 &= -2 \Rightarrow \text{Geen appel} \\ h_{\theta}(x) &= \frac{1}{1+e^{-2}} = 0.12 \end{aligned}$$

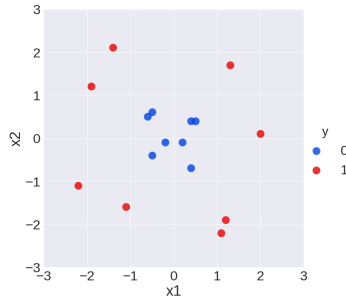
- Het model is maar voor 12% zeker dat het om een appel gaat
- \Rightarrow Met 88% zekerheid gaat het volgens het model niet om een appel

8.1.3 Grafische interpretatie via voorbeeld appels

- Op de scheidingslijn: $\theta_0 + \theta_1 x_1 + \theta_2 x_2 = 0$
- In het voorbeeld: $-40 + 4x_1 + 4x_2 = 0$



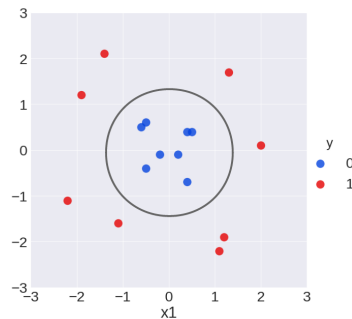
8.1.4 Wat als het model niet lineair is?



Figuur 53: Het model is niet lineair

Extra features: $h_\theta(x) = g(\theta_0 + \theta_1 x_1 + \theta_2 x_2 + \theta_3 x_1^2 + \theta_4 x_2^2)$

- Veronderstel: $\theta_0 = -2, \theta_1 = 0, \theta_2 = 0, \theta_3 = 1, \theta_4 = 1$
- Voorspel $y = 1$ als $-2 + x_1^2 + x_2^2 \geq 0$



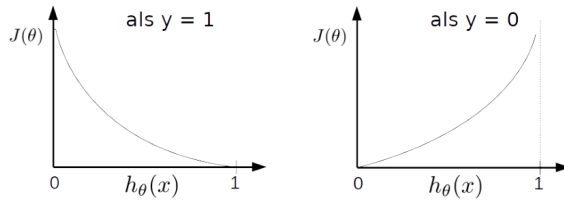
Figuur 54: $x_1^2 + x_2^2 \geq 2$ (vergelijking van een cirkel met straal $\sqrt{2}$)

8.2 De kostenfunctie

De kostenfunctie wordt:

$$J(\theta) = \begin{cases} -\ln(h_\theta(x)) & \text{als } y = 1 \\ -\ln(1 - h_\theta(x)) & \text{als } y = 0 \end{cases} \quad (13)$$

$$J(\theta) = -\frac{1}{m} \cdot \left[\sum_{i=1}^m y_i \cdot \ln(h_\theta(x_i)) + (1 - y_i) \cdot \ln(1 - h_\theta(x_i)) \right] \quad (14)$$



Figuur 55: Zoek de waarden voor θ die de kostenfunctie $J(\theta)$ minimaliseert via Gradient Descent (GDS)

8.3 Voorbeeld logistic regression met Sklearn (lineair model)

8.3.1 Preprocessing van de data

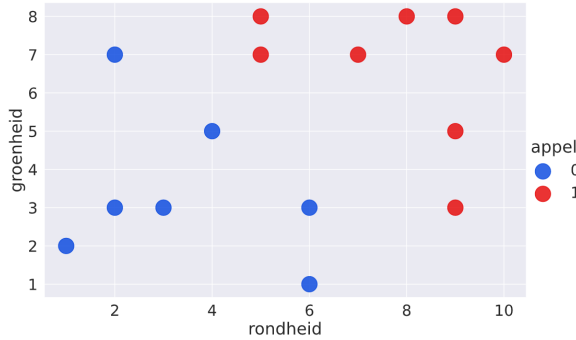
Analoog aan preprocessing bij lineaire regressie:

- Data inlezen
- Check op inconsistenties
- Check uitschieters
- Plot de data
- Splits op in features en targets
- Verdeel in een training en test set

```

1 # importeer de dataset
2 dataset = pd.read_csv('appels.csv')
3 # definieer de features
4 features = list(dataset.columns[:dataset.columns.size-1])
5 X = dataset[features].values
6 y = dataset['appel'].values
7 # lettergrootte voor de axis labels
8 sns.set(font_scale=2)
9 # definieer kleuren
10 colors = ['blue', 'red', 'greyish', 'faded_green', 'dusty_purple']
11 # plot
12 sns.lmplot(x='rondheid', y='groenheid', data=dataset,
13     fit_reg=False, hue='appel', palette=sns.xkcd_palette(colors),
14     scatter_kws={'s': 500}, size=7, aspect=1.5)

```



Figuur 56: Plot van de dataset

8.3.2 Trainen van het logistic regression model

```

1 # train een logistic regression classifier
2 logreg = linear_model.LogisticRegression(C=1e5)
3 # C = inverse of regularisation strength
4 # must be a positive float
5 # like in support vector machines: smaller values => stronger regularisation
6 logreg.fit(X, y)
7
8 print('coefficienten: ', logreg.coef_)
9 print('intercept: ', logreg.intercept_)
```

- Coefficienten: $\theta_1 = 4.287$ en $\theta_2 = 4.062$
- Intercept: $\theta_0 = -43.941$

8.3.3 Classificeren van een nieuwe sample

```

1 # voorspel de klasse met rondheid = 8 en groenheid = 6
2 print(logreg.predict(np.array([8,6]).reshape(1, -1)))
3
4 kans = logreg.predict_proba(np.array([8,6]).reshape(1, -1))
5 print("Kans op appel/geen appel = ", kans)
6
7 # voorspel de klasse met rondheid = 4 en groenheid = 4
8 print(logreg.predict(np.array([4,4]).reshape(1, -1)))
9
10 kans = logreg.predict_proba(np.array([4,4]).reshape(1, -1))
11 print("Kans op appel/geen appel = ", kans)
```

Output:

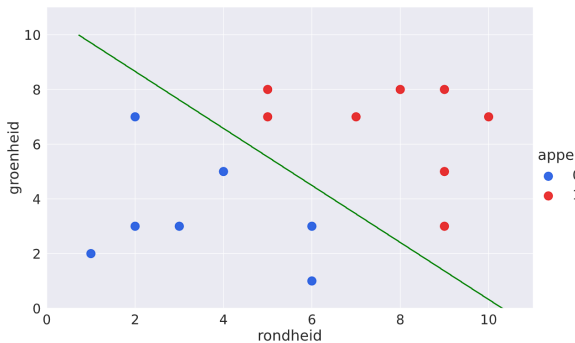
- kans op een appel/geen appel: 3.99395302e-07 | 9.99999601e-01
- kans op een appel/geen appel: 9.99973583e-01 | 2.64168196e-05

8.3.4 Visualiseer de decision boundary

```

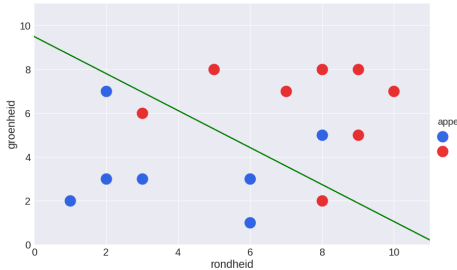
1 h = 0.01
2 rond_min = X[:,0].min()-2
3 rond_max = X[:,0].max()+2
4 groen_min = X[:,1].min()-2
5 groen_max = X[:,1].max()+2
6 xx, yy = np.meshgrid(np.arange(rond_min, rond_max, h),np.arange(groen_min, groen_max, h))
7 Z = logreg.predict(np.c_[xx.ravel(), yy.ravel()])
8 Z = Z.reshape(xx.shape)
9 # font settings
10 sns.set(font_scale = 2)
11 # colors
12 colors = ["blue", "red", "greyish", "faded green", "dusty purple"]
13 sns.lmplot(x='rondheid',y='groenheid',data=dataset,
14     fit_reg=False,hue='appel',palette=sns.xkcd_palette(colors),
15     scatter_kws={'s':200}, height=8, aspect=1.5)
16 plt.ylim(0, 11)
17 plt.xlim(0, 11)
18 plt.contour(xx, yy, Z, colors='green')

```



Figuur 57: Visualisatie van de decision boundary

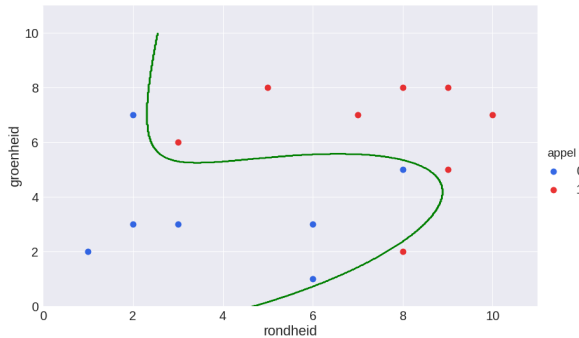
8.4 Voorbeeld logistic regression met Sklearn - niet-lineair



Figuur 58: Niet-lineair scheidbare dataset

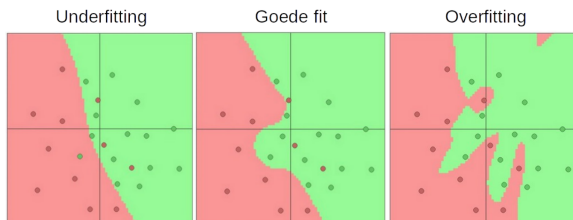
8.4.1 Feature engineering: automatisch toevoegen van hogere orde features

```
1 # Aanmaken van de hogere orde features  
2 graad = 3  
3  
4 poly = PolynomialFeatures(graad)  
5 Xp = poly.fit_transform(X)  
6  
7 # Train model op hogere orde features en visualiseer de decision boundary  
8 logreg_poly = linear_model.LogisticRegression(C=1)  
9 logreg_poly.fit(Xp, y)
```



Figuur 59: Resultaat: overfitting

8.4.2 Oplossing: regularisatie



Figuur 60: Regelen tussen underfitting en overfitting via regularisatie

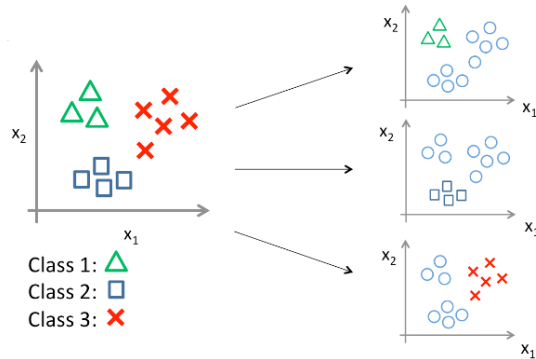
- Via regularisatie een goed evenwicht zoeken tussen underfitting en overfitting
- In Scikit Learn `linear_model.LogisticRegression`:
 - C = inverse regularisatie sterkte
 - kleine waarden voor $C \Rightarrow$ sterke regularisatie (underfitting)
 - grote waarden voor $C \Rightarrow$ zwakke regularisatie (overfitting)

```
1 logreg = linear_model.LogisticRegression(C=100)  
2 logreg.fit(Xf, y)
```

8.5 Multi-class classification

Data kan tot meerdere klassen behoren. We kunnen met zo'n data dus geen binaire classificatie doen.

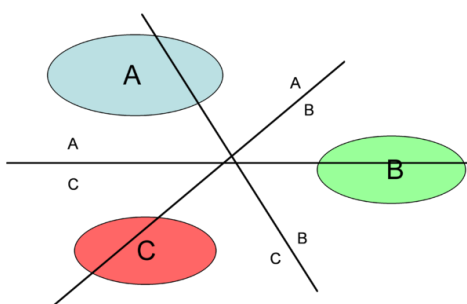
8.5.1 One-vs-All



Figuur 61: One-vs-All: we maken 3 binaire classifiers

- 'One-vs-Rest'
- Je classificeert 1 klasse tegen de rest
- Je hebt dus 1 classifier per klasse
- Totaal aantal classifiers: N (met $N = \text{aantal klassen}$)
- Gevoeliger voor niet-gebalanceerde data (als er in een bepaalde klasse weinig datasamples zijn)

8.5.2 One-vs-One



Figuur 62: One-vs-One

- Je hebt $\frac{N \cdot (N-1)}{2}$ classifiers (met $N = \text{aantal klassen}$) \Rightarrow rekenintensiever dan One-vs-All
- Minder gevoelig voor niet-gebalanceerde data

9 Evaluatie van een classifier

We moeten kunnen bepalen hoe goed een classifier is, om te weten hoe betrouwbaar de voorspelling is en om de classifier te vergelijken met andere classifiers. Bij regressie kunnen we gebruikmaken van onder andere MAE, MSE en de determinatiecoëfficiënt.

Bij classificatie zijn die metrics niet interpreteerbaar. Daarom maken we gebruik van andere metrics die allemaal berekend worden met behulp van een waarheidstabell:

| | p' (Predicted) | n' (Predicted) |
|-----------------|---------------------|---------------------|
| P (Actual) | True Positive | False Negative |
| n (Actual) | False Positive | True Negative |

Figuur 63: Confusion matrix

Stel: we hebben een binaire classifier die klasse 0 of 1 als output heeft. We vergelijken de verwachte waarden uit de classifier met de werkelijke waarden uit de testset.

- True Positive = de verwachte waarde en werkelijke waarde zijn beide 1
- False Positive = de verwachte waarde is 1, terwijl de werkelijke waarde 0 is
- False Negative = de verwachte waarde is 0, terwijl de werkelijke waarde 1 is
- True Negative = de verwachte waarde en werkelijke waarde zijn beide 0

We tellen het aantal TP, FP, FN, TN om te gebruiken in de volgende formules. Deze formules kunnen we gebruiken om een classifier te evalueren.

9.1 Accuracy

$$\text{Accuracy} = \frac{TP + TN}{TP + FP + FN + TN} \quad (15)$$

Probleem: stel dat TN = 990, FN = 10, TP = 0, FP = 0

- Dan heb je een accuracy van 99%, terwijl je eigenlijk geen enkele positieve predictie hebt
- Accuracy is dus niet altijd veelzeggend \Rightarrow nood aan andere termen

9.2 True Positive Rate (TPR)

= Recall = Sensitivity = Hit rate

$$\text{Recall} = \frac{TP}{TP + FN} \quad (16)$$

- Het aantal juiste positieve voorspellingen op het totaal aantal positieve waarden in werkelijkheid

- Wordt vaak in combinatie gebruikt met Precision (PPV)

9.3 Positive Predictive Value (PPV)

= Precision

$$\text{Precision} = \frac{TP}{TP + FP} \quad (17)$$

- = Het aantal juiste positieve voorspellingen op het totaal aantal positieve voorspellingen

| | | Predicted Class | | |
|--------------|----------|--|--|--|
| | | Positive | Negative | |
| Actual Class | Positive | True Positive (TP) | False Negative (FN) Type II Error | Sensitivity $\frac{TP}{(TP + FN)}$ |
| | Negative | False Positive (FP) Type I Error | True Negative (TN) | Specificity $\frac{TN}{(TN + FP)}$ |
| | | Precision $\frac{TP}{(TP + FP)}$ | Negative Predictive Value $\frac{TN}{(TN + FN)}$ | Accuracy $\frac{TP + TN}{(TP + TN + FP + FN)}$ |

Figuur 64: Overzicht metrics

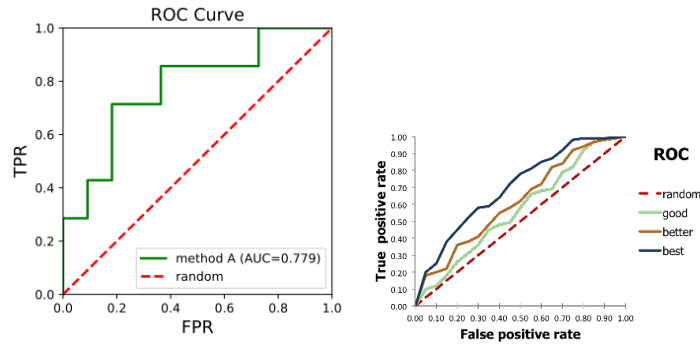
9.4 F1 Score

$$\text{F1 score} = \frac{2 \cdot (\text{Recall} \cdot \text{Precision})}{(\text{Recall} + \text{Precision})} \quad (18)$$

- Is een harmonisch gewogen gemiddelde van de recall en de precision
- Is de F_β -score met $\beta = 1$: $F_\beta = \frac{(1+\beta^2) * \text{Precision} * \text{Recall}}{(\beta^2 * \text{Precision}) + \text{Recall}}$

9.5 Receiver Operating Characteristic (ROC)

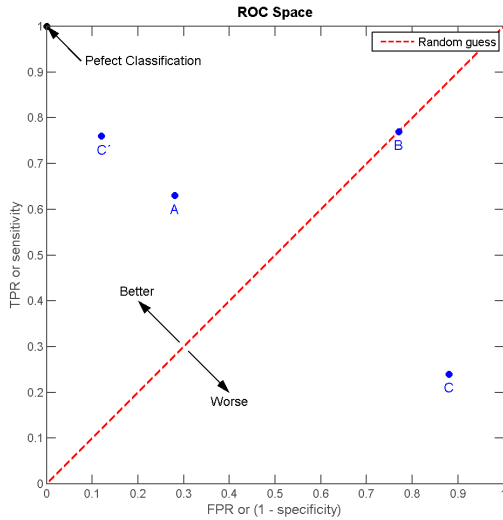
Definitie 9.1 De ROC-curve is de grafiek van de **True Positive Rate** (TPR) in functie van de **False Positive Rate** (FPR) terwijl de threshold verandert. Het wordt gebruikt bij binaire classifiers (2 klassen) om betere modellen te selecteren en minder goede te verwijderen.



Figuur 65: ROC Curve (x-as = FPR, y-as = TPR)

We gebruiken voor de assen de TPR en FPR

- True Positive Rate = Sensitivity = Recall (zie hierboven)
- False Positive Rate = $1 - \text{Specificity} = \frac{FP}{FP+TN}$
- Specificity = $\frac{TN}{FP+TN}$



Figuur 66: Classifier C' is een betere classifier dan classifier A

- Bij classifier C' hebben we het omgekeerde van C genomen
- We noemen linksboven 'ROC heaven' en rechtsbeneden 'ROC Hell'.
- De rode stippelijn is een classifier die gewoon gokt.
- B is een classifier die even goed is als een gewone gok.

9.5.1 ROC curve en AUC (Area Under ROC Curve)

ROC bij verschillende threshold settings:

| Example nr. | y_true | P(y=1 x) | | Predicted (y=1) | Predicted (y=0) |
|-------------|--------|----------|--------------|-----------------|-----------------|
| 1 | 1 | 0.93 | | 4 | 1 |
| 2 | 0 | 0.55 | Actual (y=1) | 4 | 1 |
| 3 | 0 | 0.30 | Actual (y=0) | 3 | 2 |
| 4 | 0 | 0.53 | | | |
| 5 | 1 | 0.81 | | | |
| 6 | 1 | 0.69 | | | |
| 7 | 0 | 0.42 | | | |
| 8 | 1 | 0.28 | | | |
| 9 | 1 | 0.96 | | | |
| 10 | 0 | 0.51 | | | |

Figuur 67: $p(y = 1|x) - \text{threshold} = 0.5$

- Testset met 10 samples

$$TPR = \frac{TP}{TP+FN} = \frac{4}{4+1} = 0.8$$

$$FPR = \frac{FP}{FP+TN} = \frac{3}{3+2} = 0.6$$

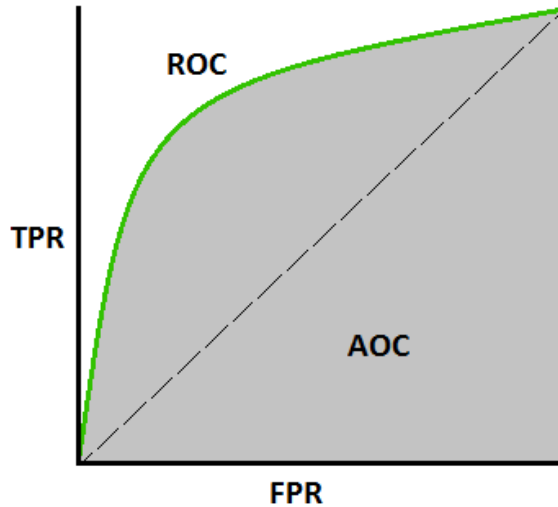
| Example nr. | y_true | P(y=1 x) | | Predicted (y=1) | Predicted (y=0) |
|-------------|--------|----------|--------------|-----------------|-----------------|
| 1 | 1 | 0.93 | | 4 | 1 |
| 2 | 0 | 0.55 | Actual (y=1) | 4 | 1 |
| 3 | 0 | 0.30 | Actual (y=0) | 0 | 5 |
| 4 | 0 | 0.53 | | | |
| 5 | 1 | 0.81 | | | |
| 6 | 1 | 0.69 | | | |
| 7 | 0 | 0.42 | | | |
| 8 | 1 | 0.28 | | | |
| 9 | 1 | 0.96 | | | |
| 10 | 0 | 0.51 | | | |

Figuur 68: $p(y = 1|x) - \text{threshold} = 0.6$

- Met $p(y = 1|x) - \text{threshold} = 0.6$ krijgen we dezelfde TPR, maar een betere FPR

$$TPR = \frac{TP}{TP+FN} = \frac{4}{4+1} = 0.8$$

$$FPR = \frac{FP}{FP+TN} = \frac{0}{0+5} = 0$$



Figuur 69: AUC of AuROC = Area under ROC

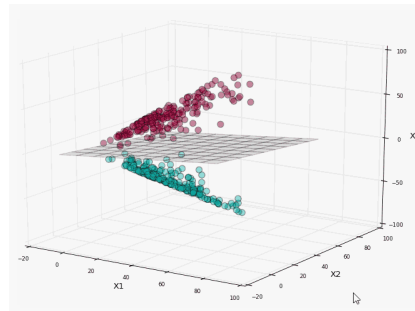
- Stel dat de threshold 0 is:

- Dan is TPR = 100%
- Maar FPR is ook 100%
- Stel dat de threshold dichter bij 1 komt (bv: 0.95):
 - Dan is TPR dichter bij 0%
 - En FPR ook dichter bij 0%
- Je zoekt de beste ROC \Rightarrow ROC met grootste AOC

10 Support Vector Machines (SVM)

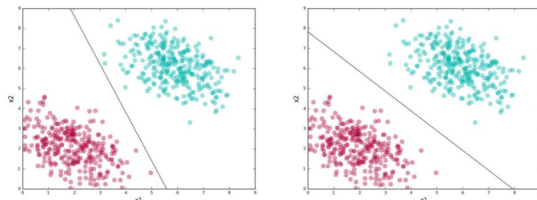
10.1 Wat is een SVM?

Definitie 10.1 (SVM) Een SVM is een supervised ML algoritme dat zowel voor classificatie als regressie gebruikt kan worden. Classificatie gebeurt door het vinden van een hyperplane die een optimale scheiding maakt tussen twee verschillende klassen.



Figuur 70: Grafiek: hyper-plane die een optimale scheiding maakt

10.1.1 Welke classifier zou je verkiezen?

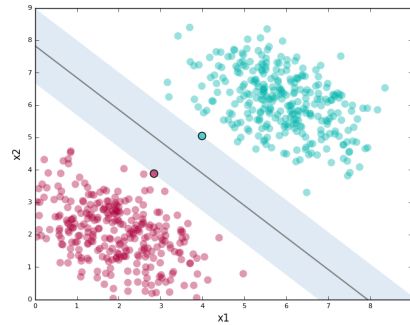


- Beide scheiden de data perfect
- Het gaat er niet om welke er best presteert op de training data, maar wel op de test data
- De rechtse classifier is meer robuust: de meeste punten liggen verder van de lijn in vergelijking met de linkse

10.2 Hoe een SVM classificeert

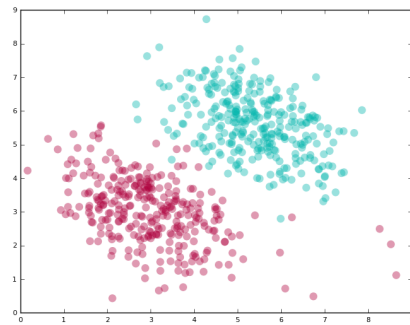
- Zoek scheidingslijn die de trainingset zo goed mogelijk scheiden

- Kies de scheidingslijn die de grootste afstand (margin) heeft tot de punten die er het dichtst bij gelegen zijn
- De dichtsbij gelegen punten noemen we de **support vectors**
- SVM = Large margin classifier



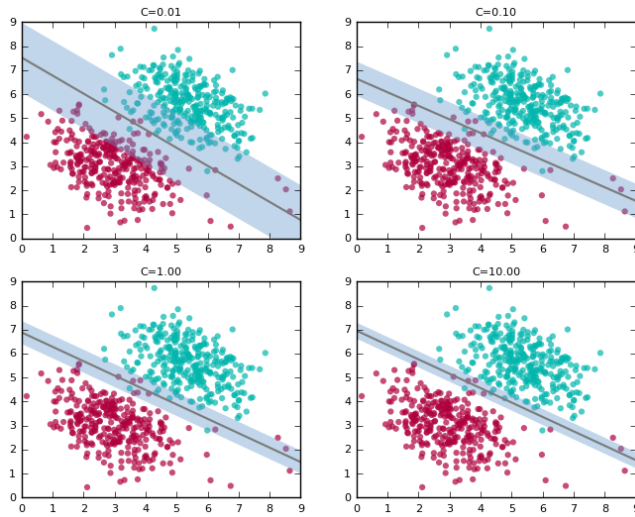
Figuur 71: Scheidingslijn kiezen

10.2.1 Wat als een perfecte lineaire scheiding niet mogelijk is?



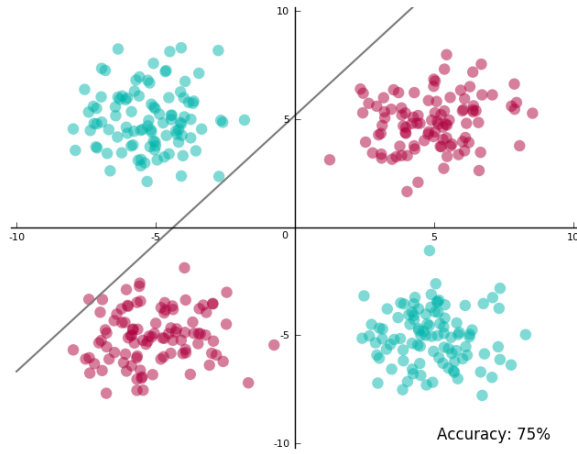
Antwoord: werken met een regularisatieparameter C

- Afweging tussen correcte classificatie op de training set en een grote marge tussen de klassen (large margin)
- Grote C -waarde: constraints zijn moeilijk te negeren \Rightarrow smalle marge
- Kleine C -waarde: constraints kunnen makkelijker genegeerd worden \Rightarrow brede marge



Figuur 72: Bij een grotere C -waarde krijgen we een smallere marge \Rightarrow op zoek gaan naar de optimale C

10.2.2 Wat bij niet-lineair scheidbare gegevens

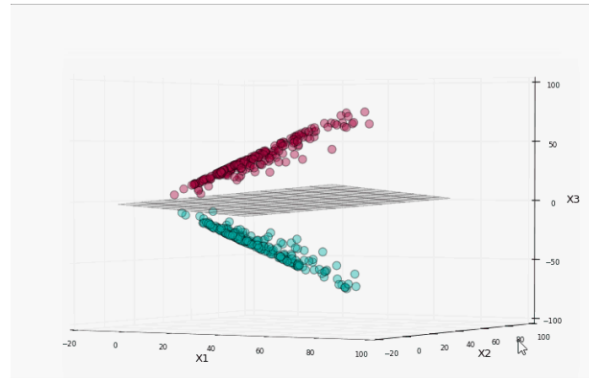


Figuur 73: Niet-lineair scheidbare gegevens

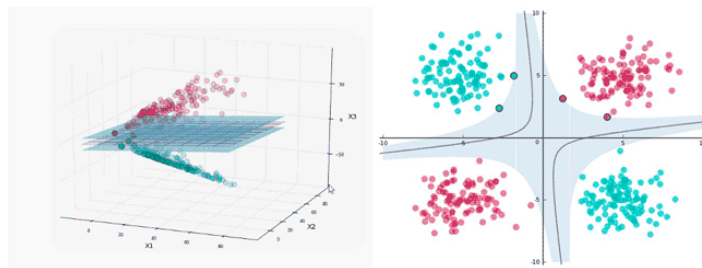
- Van de ene klasse komt door scheiding een deel van de samples van die klasse aan de ene kant, en een ander deel aan de andere kant.
- Als we de dimensionaliteit van de data verhogen (gelijkaardig aan polynomial feature expansion), wordt het mogelijk om de data te scheiden

Bijvoorbeeld met deze feature transformaties:

- $X_1 = x_1^2$
- $X_2 = x_2^2$
- $X_3 = \sqrt{2} \cdot x_1 \cdot x_2$



Figuur 74: Gevolg van bovenstaande feature expansion



Figuur 75: SVM vindt nu wel een goede scheiding

10.3 Kernels

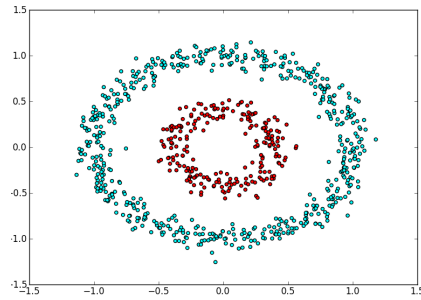
Als we de data niet lineair kunnen scheiden, kunnen we SVM met kernels gebruiken. Kernels gaan de data projecteren in een hogere dimensie om ze daarna lineair proberen te scheiden:

10.3.1 Meest gebruikte kernels

- **RBF - Radial Basis Function (Gaussiaanse kernel)**
- Polynomial kernel
- Histogram kernel
- **Lineaire kernel = SVM zonder kernel**

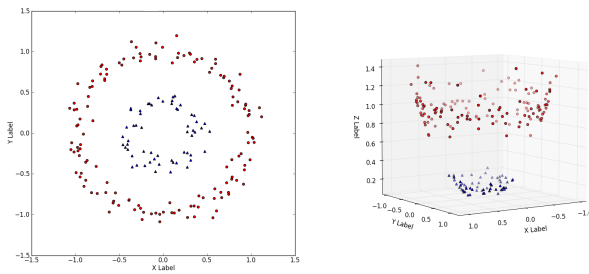
10.3.2 Voorbeeld

Probleem: Hoe kan je onderstaande klasses scheiden?



Figuur 76: Voorbeeld ('Donut problem')

Oplossing: Gebruik een Gaussiaanse (RBF) kernel



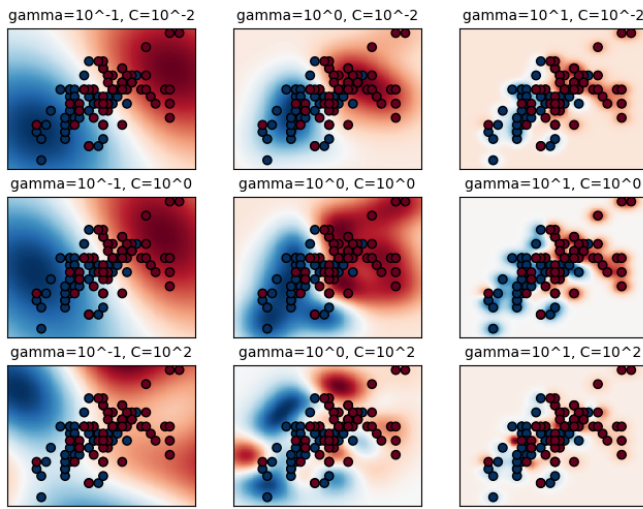
Figuur 77: Transformatie door de RBF kernel: de data is nu wel duidelijk scheidbaar

- Visualisatie van de polynomial kernel: <https://www.youtube.com/watch?v=3liCbRZPrZA>

10.3.3 Parameter gamma

Bij de RBF kernel gebruiken we ook een parameter gamma: die parameter regelt de breedte van de RBF kernel.

- Kleine gamma \Rightarrow brede RBF kernels
 - Te kleine gamma leidt ertoe dat het het model de complexiteit van het model niet kan capteren (**underfitting**)
- Grote gamma \Rightarrow smalle RBF kernels
 - Te grote gamma leidt tot **overfitting**
- Bij gebruik van een RBF kernel: **feature scaling** (=normalisatie) toepassen



Figuur 78: De parameter γ regelt de breedte van de RBF kernels

10.3.4 Hyperparameters

Implementeren van een SVM:

- Test lineaire kernel (=geen kernel) en RBF kernel
- Tune de parameter C
- Bij gebruik van RBF kernel: tune zowel de parameters C als γ

10.4 Motivatie voor het gebruik van een SVM

- Kan zowel gebruikt worden voor regressie als classificatie (en zelfs clustering).
- Werkt goed op **kleine datasets** (in tegenstelling tot neurale netwerken en deep learning).
- Is nog altijd effectief wanneer het aantal features groter is dan het aantal training samples.
- Het werkt goed bij een **groot aantal features** (high dimensional space).
- Gebruikt niet alle training examples tijdens training \Rightarrow **geheugenefficiënt**.
- Geen lokale minima/optima, maar globaal optimum.

10.5 Logistische regressie vs SVM

10.5.1 Wanneer welke classifier kiezen?

- Wanneer het aantal features groot is ten opzichte van het aantal training samples:
 - \Rightarrow Gebruik logistische regressie of SVM zonder kernel (=lineaire kernel)
- Wanneer het aantal features klein is en het aantal training samples behoorlijk
 - \Rightarrow Gebruik SVM met RBF kernel

- Bij een klein aantal features met een groot aantal training samples
 - ⇒ Creëer meer features
 - ⇒ Gebruik logistic regression of SVM zonder kernel (=lineaire kernel)

11 Cross-validatie

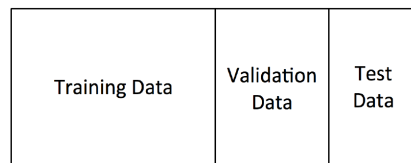
Definitie 11.1 *Crossvalidatie is een groep modelvalidatietechnieken die het mogelijk maken om herhaaldelijk het model te testen met verschillende subsets van de data.*

He gaat ons toelaten om automatisch goede parameters te vinden voor ons model via hyperparameter tuning.

11.1 Verschillende types cross-validatie

1. Hold Out cross-validation
2. K-fold cross-validation (meest gebruikt)
3. Leave One Out cross-validation
4. Bootstrap cross-validation

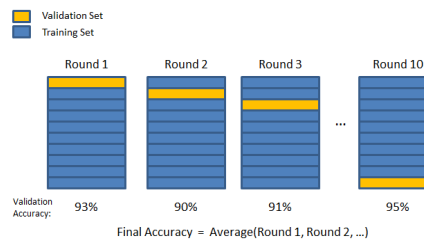
11.1.1 Hold out cross-validation



Figuur 79: Je splitst de data in training data en test data. Daarna splits je de training data nog eens op in validation data

- **Training data:** om model mee te trainen
- **Validation data:** tuning van hyper parameters en model selection
- **Test data:** uiteindelijke test van het best gevalideerde model op nog nooit geziene data

11.1.2 K-fold cross-validation

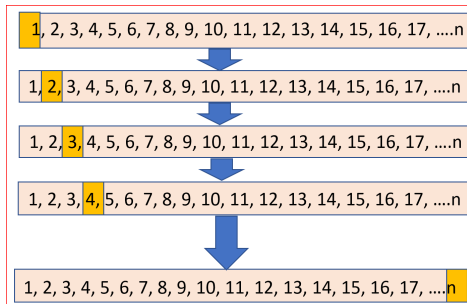


Figuur 80: Voorbeeld: 10-fold cross validation. De validation set is 1/10 van de trainingset

- We berekenen de validation accuracy K keer
- Met telkens een andere keuze trainingset en validation set
- De validation set is $1/K$ van de trainingset, de rest wordt gebruikt om te trainen
- We nemen van alle K validation accuracies het gemiddelde om zo een final accuracy te bekomen

11.1.3 Leave one out cross-validation

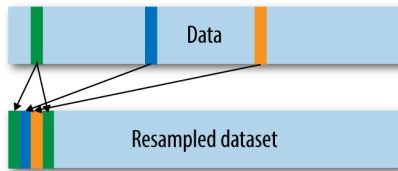
- Extreme vorm van K-fold cross-validation waarbij $K = N$ (aantal examples in de training set)
- We trainen op alle data behalve 1 sample
- De sample wordt elke ronde veranderd
- Evenveel rondes als aantal examples
- Heel veel rekenkracht nodig, maar vaak goede models



Figuur 81: Leave one out cross-validation

11.1.4 Bootstrap cross-validation

- Sampling met teruglegging (zie Bagging)
- Validatie op niet-geselecteerde examples
- We vertrekken vanaf een bestaande trainingset
- We maken een nieuwe 'resampled' trainingset:
 - Willekeurig samples uit de eerste trainingset kiezen
 - Sommige samples kunnen we dubbel kiezen (zie groene sample in afbeelding)
- Ongeveer 2/3 van de bestaande trainingset kopieren we naar de resampled trainingset
- Ongeveer 1/3 wordt niet gekozen
- We maken meerdere van zo'n resampled trainingsets
- Belangrijke manier om overfitting tegen te gaan

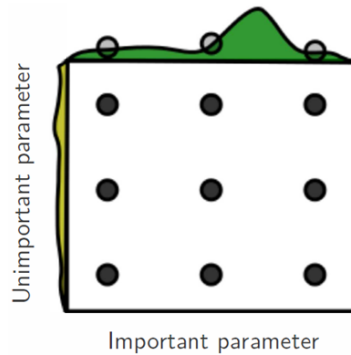


Figuur 82: Bootstrap cross-validation

11.2 Hyperparameter tuning via cross-validatie

11.2.1 Grid search

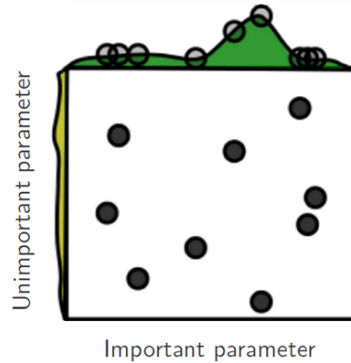
- We zetten de parameters op een grid
- We testen ons model met elke combinatie van parameters in de grid, bv:
 - x-waarden = regularisatieparameter C
 - y-waarden = gamma



Figuur 83: Grid Search. In dit geval: gamma is minder belangrijk is dan C

- Bij Grid Search ben je beperkt tot de combinaties die je zelf op voorhand kiest: je hangt vast aan een grid
- Het kan ook zijn dat je combinaties maakt van parameters die er eigenlijk niet toe doen
- In bovenstaande afbeelding is er weinig verschil tussen een hoge of een lage y-waarde
- Er zit wel een hoge piek bij de x-waarde (zie groene grafiek)
- Die piek wordt nooit gevonden omdat we vasthangen aan het grid.
- Oplossing: **Random search**

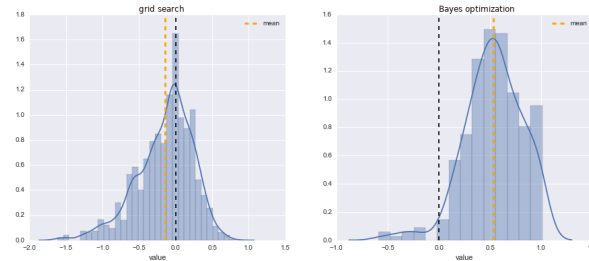
11.2.2 Random search



Figuur 84: Hetzelfde als grid search, maar met random punten

- Nu worden de punten willekeurig gekozen
- De piek wordt wel gevonden

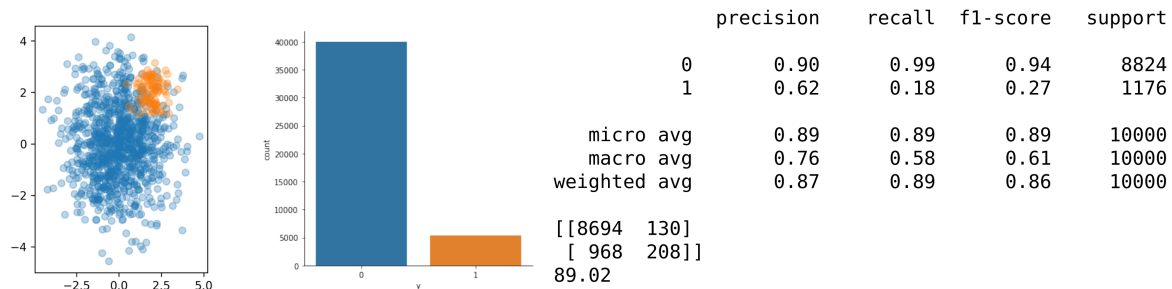
11.2.3 Bayes optimization (NTK)



- Je kan het Bayes optimization vergelijken met een randomized search
- Je test willekeurig een aantal modellen uit met verschillende gamma- en C -waarden
- Op basis van de resultaten die je haalt probeert Bayes optimization af te leiden waar het optimum ligt, zonder het expliciet te moeten uittesten
- Met weinig rekenkracht kan je toch goede resultaten bekomen

12 Niet-gebalanceerde data

12.1 Problematiek

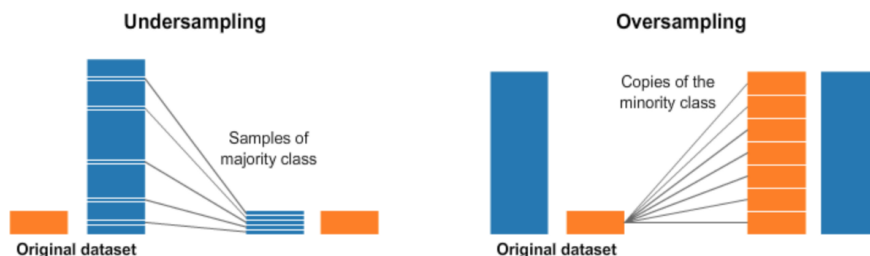


- De ene klasse (0, blauw) komt veel meer voor dan de andere klasse (1, oranje)
- Dit heeft een grote impact op de scores van de klasse die het minst voorkomt

12.2 Omgaan met niet-gebalanceerde data

- Meer data verzamelen van de minderheidsklasse
- Meer features verzamelen

12.2.1 Undersampling & Oversampling



Figuur 85: Undersampling & oversampling

Definitie 12.1 (Undersampling) We nemen enkel een deel van de samples tot we er evenveel hebben als de minderheidsklasse. We kiezen de samples waar de classifiers het meeste fouten op maakt.

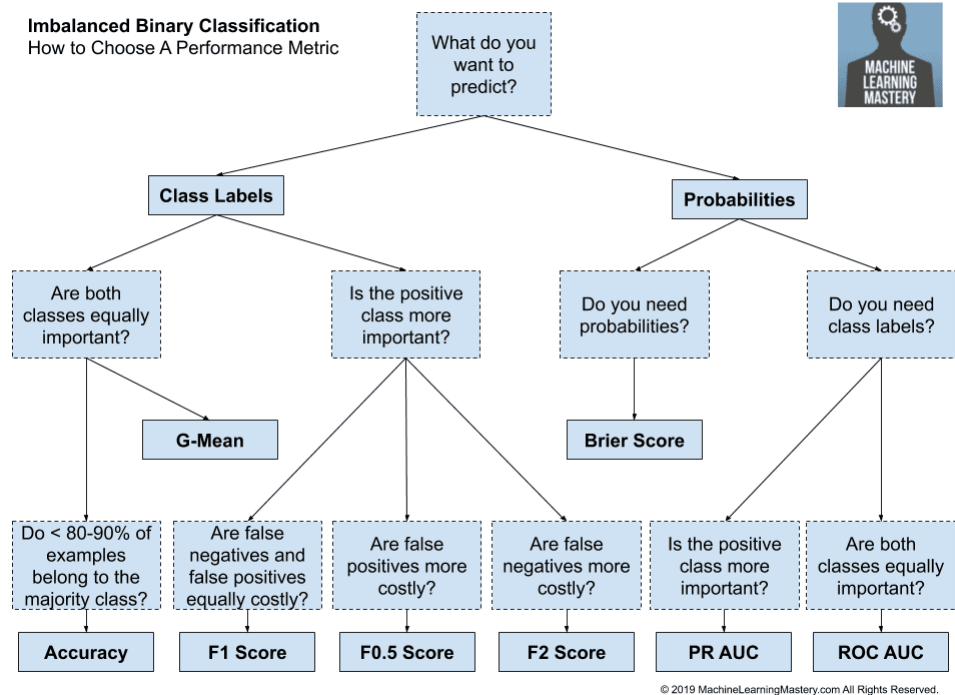
Definitie 12.2 (Oversampling) We nemen kopieën van de minderheidsklasse tot we er evenveel hebben als de meerderheidsklasse

12.2.2 Andere scoring parameter/metric kiezen

In plaats van het model te kiezen dat de hoogste accuracy oplevert, kies bijvoorbeeld het model dat de hoogste f1-score oplevert.

- https://scikit-learn.org/stable/modules/model_evaluation.html

- Om een globaal idee te krijgen van hoe goed het model scoort, kan je de verschillende gemiddelden van f1 berekenen:
 - f1, f1_micro, f1_macro, f1_weighted, f1_samples



Figuur 86: Overzicht: Hoe een performance metric kiezen

12.2.3 Class-weight balancing

Als we class-weight balancing toepassen zal misclassificatie van samples uit de minderheidsklasse leiden tijdens de training tot een hogere loss.

- Je geeft meer ‘gewicht’ aan een bepaalde klasse
- Ook al gaat de accuracy naar beneden, wil je er toch voor zorgen dat een bepaalde klasse belangrijker wordt
- Je kan automatische class-weight balancing toepassen of manueel gewichten geven

```

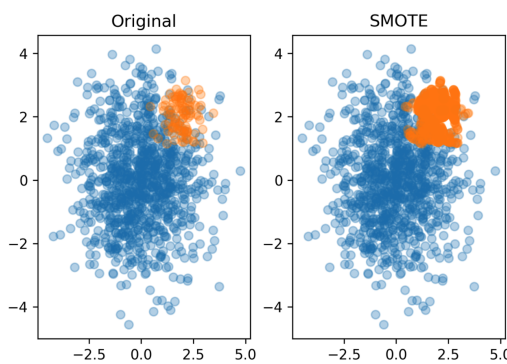
1 model = LogisticRegression(C=1, solver='liblinear', class_weight='balanced')
2
3 # voorbeeld: klasse 1 moet 20 keer belangrijker zijn dan klasse 0
4 # stel dat klasse 0 goede en klasse 1 kwaadaardige tumors zijn
5 class_weight = {0: 1, 1:20}
  
```

| | precision | recall | f1-score | support |
|--------------|-----------|--------|----------|---------|
| 0 | 0.94 | 0.77 | 0.85 | 8824 |
| 1 | 0.27 | 0.62 | 0.38 | 1176 |
| micro avg | 0.76 | 0.76 | 0.76 | 10000 |
| macro avg | 0.60 | 0.70 | 0.61 | 10000 |
| weighted avg | 0.86 | 0.76 | 0.79 | 10000 |

[[6830 1994]
[444 732]]
75.62

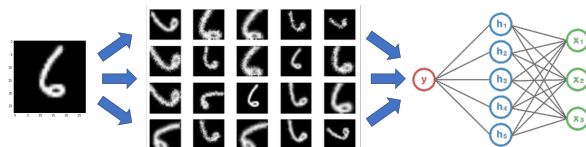
Figuur 87: Omdat klasse 1 veel minder samples heeft, scoort het model slechter bij die samples

12.2.4 Data augmentation - SMOTE (Synthetic Minority Over-sampling Technique)



- Men neemt een willekeurige sample van de minderheidsklasse
- Men kijkt naar een aantal buren ervan
- Tussen de sample en zijn buren maak je nieuwe samples aan
- Beter dan willekeurig nieuwe data aanmaken

12.2.5 Data augmentation - image augmentation

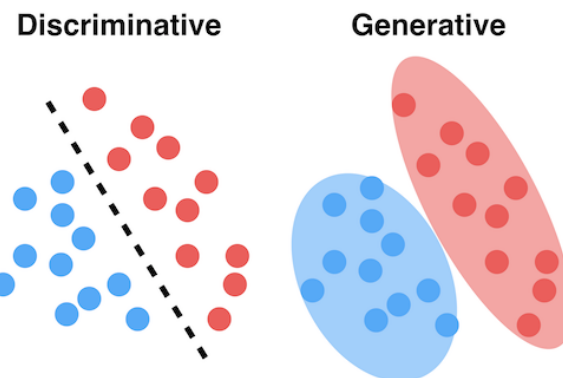


Figuur 88: Image augmentation

- We maken nieuwe images aan
- We bewerken de nieuwe images: roteren, scalen, filters op toepassen
- De nieuwe images voegen we toe aan onze dataset

13 Naive Bayes & Natural Language Processing

13.1 Discriminative vs generative classification



Figuur 89: Discriminative vs generative

- Discriminative classifiers leren de **grens tussen twee klassen**
 - leert $p(y|x)$
 - p = probability, kans
 - = kans dat een punt tot de klasse y behoort, gegeven de eigenschappen van de features x
- Generative classifiers leren de **distributie van de verschillende klassen**
 - leert $p(x|y)$
 - = kans gegeven dat iets tot een bepaalde klasse y behoort, hoe zien de features x er uit?
 - leert ook $p(y)$ = de prior = de totale kans dat iets tot een bepaalde klasse y behoort
 - Zoekt naar hoe features van een bepaalde klasse er uit zien
 - Wat hebben alle punten in een klasse gemeenschappelijk?

13.2 Bayes rule

13.2.1 Voorbeeld: kanker

De kans dat iemand kanker heeft bedraagt $1\% \Rightarrow P(\text{kanker}) = 0.01$

Van een test is geweten dat:

- In 90% van de gevallen is de test positief als je effectief kanker hebt (sensitiviteit)
- In 90% van de gevallen is de test negatief als je geen kanker hebt (specificiteit)

VRAAG: Als de test positief blijkt, wat is de kans dat je kanker hebt?

13.2.2 Uitwerking via Bayes Rule

$$P(\text{kanker}|\text{positief}) = \frac{P(\text{positief}|\text{kanker}) \cdot P(\text{kanker})}{P(\text{positief})}$$
$$P(\text{kanker}|\text{positief}) = \frac{0.9 \cdot 0.01}{0.01 \cdot 0.9 + 0.1 \cdot 0.99} = 0.0833 \approx 8\%$$

- **Prior:** $P(\text{kanker})$: Zonder de testresultaten te kennen, hoe waarschijnlijk is het dat iemand kanker heeft
- **Likelihood:** $P(\text{positief}|\text{kanker})$: Hoe waarschijnlijk is het dat de test positief heeft, wanneer de persoon effectief kanker heeft?
- **Marginal:** $P(\text{positief})$: Hoe waarschijnlijk is het dat de test positief is
- **Posterior:** $P(\text{kanker})$: Wat is de kans dat iemand effectief kanker heeft als de test positief blijkt?

| | |
|--|---|
| Likelihood How probable is the evidence given that our hypothesis is true? | Prior How probable was our hypothesis before observing the evidence? |
| $P(H e) = \frac{P(e H) P(H)}{P(e)}$ | |
| Posterior How probable is our hypothesis given the observed evidence? (Not directly computable) | Marginal How probable is the new evidence under all possible hypotheses? $P(e) = \sum P(e H_i) P(H_i)$ |

13.3 Naive Bayes - tekstclassificatie

Definitie 13.1 Naive Bayes is een simpele classificatietechniek gebaseerd op de regel van Bayes, met de aanpassing dat er naïve veronderstellingen gemaakt worden tussen de features.

13.3.1 Spamdetectie

$$p(H|e) = \frac{p(e|H) \cdot p(H)}{p(e)}$$

- H = hypothese (het bericht is spam)
- e = evidence (de tekst in het bericht)
- $p(H|e)$: de kans dat een bericht spam is gegeven de tekst van een bericht
- $p(e|H)$: de kans dat we deze tekst vinden in een spam bericht
- $p(H)$: de kans dat een willekeurig bericht spam is
- $p(e)$: de kans dat we deze tekst tegenkomen/waarnemen. De tekst moet worden weergegeven als meerdere stukken evidence: de woorden w_1, w_2, \dots, w_n

$$\begin{aligned} p(\text{Spam}|w_1, \dots, w_n) &= \frac{p(w_1, \dots, w_n | \text{spam}) \cdot p(\text{spam})}{p(w_1, \dots, w_n)} \\ &= \frac{p(w_1 | w_2, \dots, w_n, \text{spam}) \cdot p(w_2 | w_3, \dots, w_n, \text{spam}) \cdot p(\text{spam})}{p(w_1, \dots, w_n)} \end{aligned}$$

- $p(w_1 | w_2, \dots, w_n, \text{spam})$ is de kans om het eerste woord te vinden, gegeven alle woorden en gegeven een bericht spam is

- Lastig te berekenen \Rightarrow Naive Bayes veronderstelling (Naive = vereenvoudigd)
- **Naive Bayes** = beschouw elk woord onafhankelijk van de andere woorden

13.3.2 Met Naive Bayes

$$p(spam|w_1, \dots, w_n) = \frac{p(w_1|spam) \cdot p(w_2|spam) \cdots p(w_n|spam) \cdot p(spam)}{p(w_1, \dots, w_n)}$$

$p(w_i|spam)$ = de kans dat w_i in een spambericht voorkomt

$$p(spam|w_1, \dots, w_n) = \frac{p(spam) \cdot \prod_{i=1}^n p(w_i|spam)}{p(w_1, \dots, w_n)}$$

Vereenvoudigen

Kies spam of ham (=niet spam) op basis van welke deze klassen de grootste kans heeft. Om twee kansen te vergelijken die dezelfde noemer heeft, hoeft je enkel naar de teller te kijken

- \Rightarrow laat de noemer (=Marginal) vallen
- \Rightarrow de berekening wordt eenvoudiger
- We gebruiken hier geen $=$ meer, maar \propto (= ‘proportional to’). Zo zeggen we dat we niet de echte kans uitrekenen, we berekenen een getal die propotioneel wel gelijk is aan die kans, zodat we ze kunnen gebruiken om te vergelijken met andere kansen.
- [https://en.wikipedia.org/wiki/Proportionality_\(mathematics\)](https://en.wikipedia.org/wiki/Proportionality_(mathematics))

$$p(spam|w_1, \dots, w_n) \propto p(spam) \cdot \prod_{i=1}^n p(w_i|spam)$$

13.3.3 Voorbeeld

| WOORD | SPAM | | HAM | |
|--------|------------|------|------------|-------|
| | frequentie | kans | frequentie | kans |
| free | 90 | 0,32 | 200 | 0,21 |
| Viagra | 60 | 0,21 | 55 | 0,059 |
| buy | 120 | 0,43 | 290 | 0,31 |
| advice | 50 | 0,18 | 380 | 0,41 |
| get | 180 | 0,64 | 510 | 0,55 |

Figuur 90: Aantal spam = 280, aantal ham = 930

$$\begin{aligned} p(spam) &= \frac{280}{280+930} = \frac{280}{1210} = 0.23 = 23\% \\ p(ham) &= \frac{930}{280+930} = \frac{930}{1210} = 0.77 = 77\% \end{aligned}$$

Classificeer de zin: ‘Get free advice’

Kans op spam:

$$\begin{aligned} p(spam|get free advice) &= p(spam) \cdot p(get|spam) \cdot p(free|spam) \cdot p(advice|spam) \\ &= 0.23 \cdot 0.64 \cdot 0.32 \cdot 0.18 = 0.0085 \end{aligned}$$

Kans op ham:

$$\begin{aligned}
p(\text{ham}|\text{get free advice}) &= p(\text{ham}) \cdot p(\text{get}|\text{ham}) \cdot p(\text{free}|\text{ham}) \cdot p(\text{advice}|\text{ham}) \\
&= 0.77 \cdot 0.55 \cdot 0.21 \cdot 0.41 = 0.0365
\end{aligned}$$

Conclusie: $0.0365 > 0.0085 \Rightarrow$ bericht is ham

13.4 Laplacian smoothing

Classificeer de zin: 'Get free valium'

- Valium behoort niet tot de trainingset $\Rightarrow p(\text{valium}|\text{spam}) = 0$ en $p(\text{valium}|\text{ham}) = 0$
- Het probleem: $p(\text{spam}|\text{get free valium}) = 0$ en $p(\text{ham}|\text{get free valium}) = 0$

Oplossing: Laplacian smoothing

Definitie 13.2 Laplacian smoothing of add-one smoothing zal aan niet-geziene woorden toch een zekere kans van voorkomen toe kennen.

$$P(w_s) = \frac{C(w_s) + \alpha}{N + \alpha \cdot V} \quad (19)$$

- $P(w)$ = de kans op het woord w
- $C(w)$ = het aantal keer dat het woord w voorkomt
- N = het totaal aantal woorden
- V = het aantal verschillende woorden (=vocabulaire grootte)
- α = een hyperparameter die dus getuned moet worden

| WOORD | SPAM | | HAM | |
|--------|-------|--|-------|--|
| | freq. | Laplacian smoothing | freq. | Laplacian smoothing |
| free | 90 | $\frac{90+1}{280+1 \times 6} = \frac{91}{286} = 0.318$ | 200 | $\frac{200+1}{930+1 \times 6} = \frac{201}{936} = 0.215$ |
| Viagra | 60 | $\frac{60+1}{280+1 \times 6} = \frac{61}{286} = 0.213$ | 55 | $\frac{55+1}{930+1 \times 6} = \frac{56}{936} = 0.060$ |
| buy | 120 | $\frac{120+1}{280+1 \times 6} = \frac{121}{286} = 0.423$ | 290 | $\frac{290+1}{930+1 \times 6} = \frac{291}{936} = 0.311$ |
| advice | 50 | $\frac{50+1}{280+1 \times 6} = \frac{51}{286} = 0.0178$ | 380 | $\frac{380+1}{930+1 \times 6} = \frac{381}{936} = 0.407$ |
| get | 180 | $\frac{180+1}{280+1 \times 6} = \frac{181}{286} = 0.633$ | 510 | $\frac{510+1}{930+1 \times 6} = \frac{511}{936} = 0.546$ |
| Valium | 0 | $\frac{0+1}{280+1 \times 6} = \frac{1}{286} = 0.003$ | 0 | $\frac{0+1}{930+1 \times 6} = \frac{1}{936} = 0.001$ |

Figuur 91: Laplacian smoothing met $\alpha = 1$

Kans op spam:

$$\begin{aligned}
p(\text{spam}|\text{get free valium}) &= p(\text{spam}) \cdot p(\text{get}|\text{spam}) \cdot p(\text{free}|\text{spam}) \cdot p(\text{valium}|\text{spam}) \\
&= 0.23 \cdot 0.633 \cdot 0.318 \cdot 0.003 = 0.0001389
\end{aligned}$$

Kans op ham:

$$\begin{aligned}
p(\text{ham}|\text{get free valium}) &= p(\text{ham}) \cdot p(\text{get}|\text{ham}) \cdot p(\text{free}|\text{ham}) \cdot p(\text{valium}|\text{ham}) \\
&= 0.77 \cdot 0.546 \cdot 0.215 \cdot 0.001 = 0.00009
\end{aligned}$$

$0.0001389 > 0.00009 \Rightarrow$ bericht is spam

13.4.1 Invloed van de hyperparameter alpha

$$P(w_s) = \frac{C(w_s) + \alpha}{N + \alpha \cdot V}$$

- Kleine α : neiging tot overfitting, model wordt te complex
- Grote α : neiging tot underfitting, model wordt te simpel

13.5 Log likelihood

Vermenigvuldigen van veel kansen kan resulteren in een floating-point underflow = de uitgekomen waarde is te klein, kleiner dan de computer in memory kan bewaren.

Oplossing: gebruik van log likelihood:

Definitie 13.3 *Log likelihood is een wiskundige functie:*

$$\log(x \cdot y) = \log(x) + \log(y) \quad (20)$$

Deze functie kunnen we gebruiken in onze Naive Bayes rule, met $x = p(\text{spam})$ en $y = \sum_{i=1}^n \log(p(w_i|\text{spam}))$:
 $\log(p(\text{spam}|w_1, \dots, w_n)) \propto \log(p(\text{spam})) + \sum_{i=1}^n \log(p(w_i|\text{spam}))$

Dit wordt meestal intern door de Python libraries gedaan

$$\begin{aligned} p(\text{spam}|\text{get free Valium}) &\propto p(\text{spam}).p(\text{get}|\text{spam}).p(\text{free}|\text{spam}).p(\text{Valium}|\text{spam}) \\ &= 0,23 \cdot 0,633 \cdot 0,318 \cdot 0,003 = 0,0001389 \end{aligned}$$

$$\begin{aligned} \log(p(\text{spam}|\text{get free Valium})) &\propto \log(p(\text{spam})) + \log(p(\text{get}|\text{spam})) + \log(p(\text{free}|\text{spam})) + \log(p(\text{Valium}|\text{spam})) \\ &= \log(0,23) + \log(0,633) + \log(0,318) + \log(0,003) = -3,857 \end{aligned}$$

$$\begin{aligned} p(\text{ham}|\text{get free advice}) &\propto p(\text{ham}).p(\text{get}|\text{ham}).p(\text{free}|\text{ham}).p(\text{Valium}|\text{ham}) \\ &= 0,77 \cdot 0,546 \cdot 0,215 \cdot 0,001 = 0,00009 \end{aligned}$$

$$\begin{aligned} \log(p(\text{ham}|\text{get free Valium})) &\propto \log(p(\text{ham})) + \log(p(\text{get}|\text{ham})) + \log(p(\text{free}|\text{ham})) + \log(p(\text{Valium}|\text{ham})) \\ &= \log(0,77) + \log(0,546) + \log(0,215) + \log(0,001) = -4,044 \end{aligned}$$

$-3,857 > -4,044 \Rightarrow$ bericht is spam

Figuur 92: Tekstclassificatie met behulp van de log likelihood function

13.6 Tekstclassificatie in de praktijk

13.6.1 Preprocessing - opkuisen van de tekst

```
1 # verwijder html
2 from bs4 import BeautifulSoup
3 text_no_html = BeautifulSoup(str(text), "html.parser").get_text()
```

```

4      # verwijder niet-letters
5      import re # regular expressions
6      text_alpha_chars = re.sub("[^a-zA-Z]", " ", str(text_no_html))
7
8
9      # converteer naar lowercase
10     text_lower = text_alpha_chars.lower()
11
12     # verwijder stopwoorden
13     from nltk.corpus import stopwords
14     stops = set(stopwords.words(language))
15     text_no_stop_words = " "
16     for w in text_lower.split():
17         if w not in stops:
18             text_no_stop_words = text_no_stop_words + w + " "

```

13.6.2 Preprocessing - herleiden van woorden tot de stam

= Stemming

```

1      from nltk.stem.snowball import SnowballStemmer
2
3      text_stemmer = " "
4      stemmer = SnowballStemmer(language)
5      for w in text_no_stop_words.split():
6          text_stemmer = text_stemmer + stemmer.stem(w) + " "

```

13.6.3 Preprocessing - verwijder te korte woorden

```

1      text_no_short_words = " "
2      for w in text_stemmer.split():
3          if len(w) >= minWordSize:
4              text_no_short_words = text_no_short_words + w + " "

```

13.6.4 Opbouwen van feature vectors - bag of words

Definitie 13.4 Een bag of words is een collectie van unieke woorden die voorkomen in de volledige trainingset. De uiteindelijke feature vector heeft dezelfde dimensie als de bag of words

Definitie 13.5 Multi-variate Bernoulli Naive Bayes is een Naive Bayes classifier waarbij een document wordt bijgehouden waarin staat of een woord in de bag of words al dan niet voorkomt in een document (0 of 1) en dus niet de frequentie van voorkomen

Definitie 13.6 Multinomial Naive Bayes is een Naive Bayes classifier waarbij de frequentie (aantal keer) waarmee een woord uit de bag of words voorkomt in het document wordt bijgehouden.

In scikit-learn: CountVectorizer

We zullen op dat frequentiedocument een tf-idf transformer of term frequency-inverse document frequency transformer loslaten. Die transformer zal het gewicht van woorden die veel voorkomen in een document (en die dus minder belangrijk zijn) verlagen.

$$tfidf_{i,j} = tf_{i,j} \cdot \log\left(\frac{N}{df_i}\right)$$

- $tf_{i,j}$ = het aantal keer dat woord i voorkomt in document j
- df_i = het aantal woorden waar woord i in voorkomt
- N = totaal aantal documenten
- In scikit-learn: TfidfTransformer

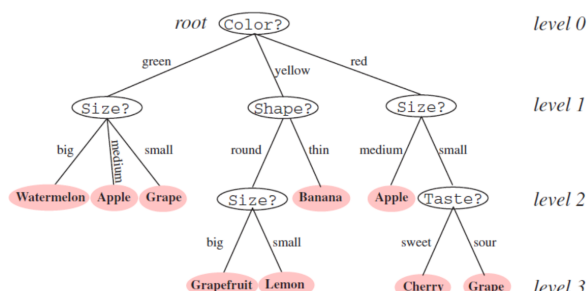
```

1 # eerst de CountVectorizer toepassen voor je de TfIdfTransformer kan gebruiken:
2 count_vect = CountVectorizer()
3 X_train_bag_of_words = count_vect.fit(X_train)
4 X_train_bag_of_words = count_vect.transform(X_train)
5
6 tfidf_transformer = TfIdfTransformer()
7 tf_transformer = TfIdfTransformer().fit(X_train)
8 X_train_tf = tf_transformer.transform(X_train_bag_of_words)

```

14 Decision Trees

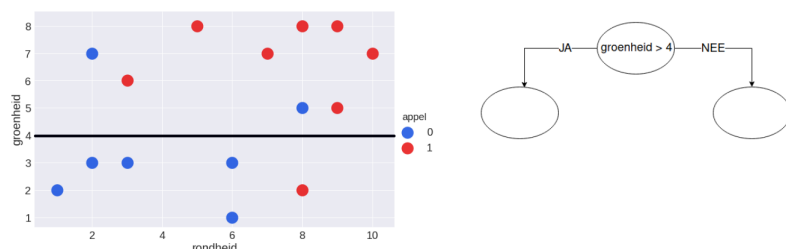
14.1 Decision Trees voor classificatie



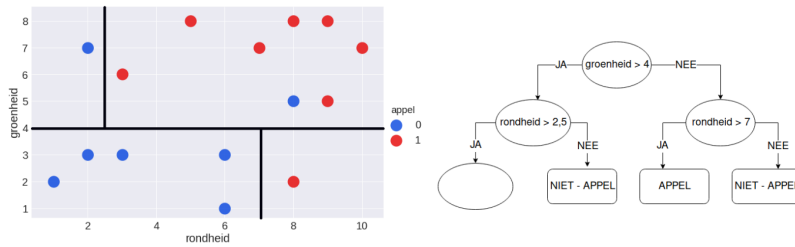
Figuur 93: Voorbeeld: een stuk fruit classificeren aan de hand van een decision tree

14.1.1 Voorbeeld met rondheid & groenheid van appels

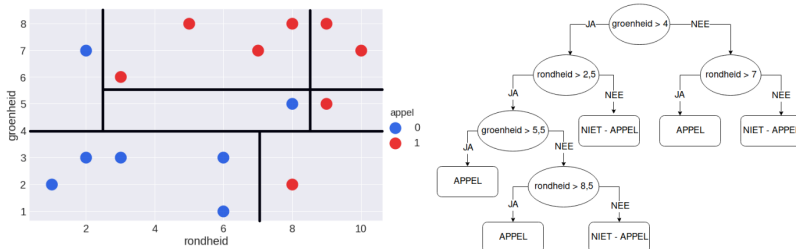
Bij ons voorbeeld van het classificeren van appels verdelen we nu de dataset herhaaldelijk in stukken:



Figuur 94: Is de groenheid > 4? We trekken een lijn bij groenheid == 4



Figuur 95: We voegen meerdere opsplitsingen toe



Figuur 96: Eindresultaat

14.1.2 Entropy

Hoe bepalen waar de boom te splitsen? Een goede split is deze waarbij de wanorde afneemt en beide kanten ‘zuiverder’ (purer) worden.

Definitie 14.1 De *entropy* (H) of de *wanorde* is de gemiddelde informatieinhoud van een gebeurtenis.

[https://nl.wikipedia.org/wiki/Entropie_\(informatietheorie\)](https://nl.wikipedia.org/wiki/Entropie_(informatietheorie))

$$H = \sum_{i=1}^N p_i \cdot \log_2 \left(\frac{1}{p_i} \right) = - \sum_{i=1}^N p_i \cdot \log_2(p_i) \quad (21)$$

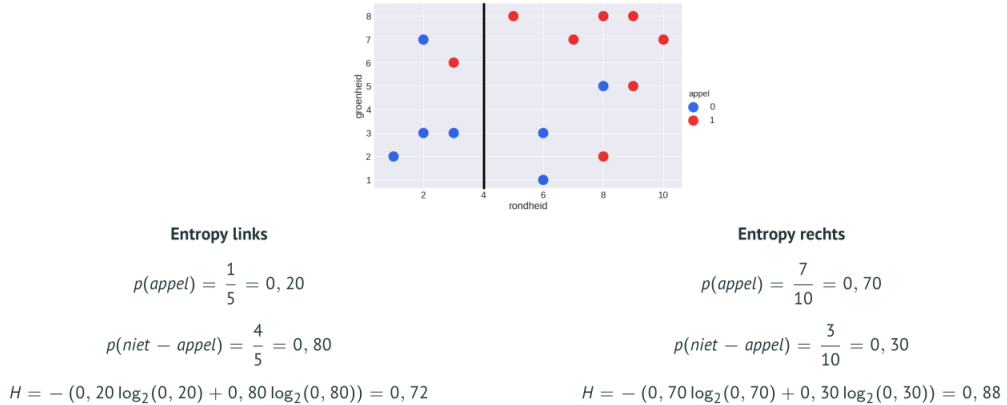
Voorbeeld

Als we terugkijken naar de plot van appels, zien we 15 datapunten, waarvan:

- Kans op een appel: $\frac{8}{15} = 0.53$
 - Kans op een niet-appel: $\frac{7}{15} = 0.47$
- $\Rightarrow H = -(0.53 \cdot \log_2(0.53) + 0.47 \cdot \log_2(0.47)) = -(-0.99740) = 0.9974$

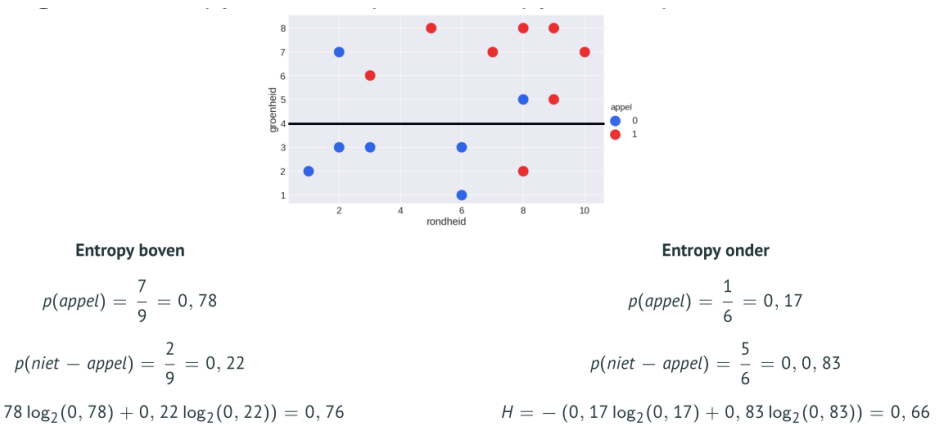
14.1.3 Information Gain

Definitie 14.2 *Information Gain* = (entropy voor de *split*) – (entropy na de *split*). Kies altijd voor de *splitsing met de hoogste information gain*.



Figuur 97: Splitsen links & rechts

$$\text{Information gain} = 0.9974 - (\frac{5}{15} \cdot 0.72 + \frac{10}{15} \cdot 0.88) = 0.17073$$



Figuur 98: Splitsen boven & onder

$$\text{Information gain} = 0.9974 - (\frac{9}{15} \cdot 0.76 + \frac{6}{15} \cdot 0.66) = 0.27740$$

14.1.4 Gini impurity

Alternatief voor het gebruik van de entropy.

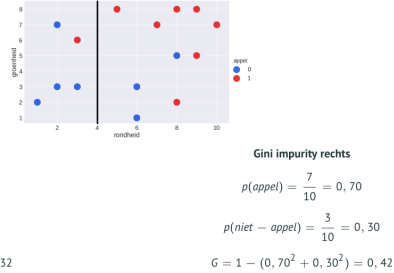
Definitie 14.3 De *Gini Impurity* is een maat voor hoe vaak een willekeurig gekozen element van de set verkeerd gelabeld zou worden als het willekeurig werd gelabeld volgens de distributie van de labels in de subset

$$G = 1 - \sum_{i=1}^N p_i^2 \quad (22)$$

Voorbeeld

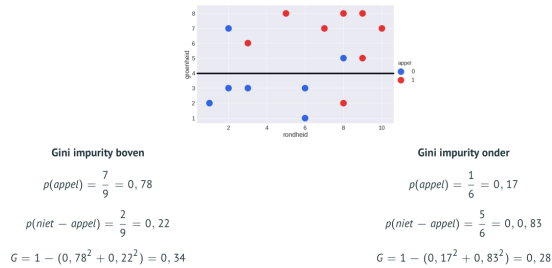
- Kans op een appel: $\frac{8}{15} = 0.53$

- Kans op een niet-appel: $\frac{7}{15} = 0.47$
- $\Rightarrow G = 1 - (0.53^2 + 0.47^2) = 0.4982$



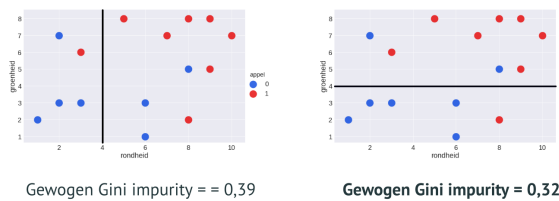
Figuur 99: Gini impurity links & rechts

$$\text{Gewogen Gini impurity} = \frac{5}{15} \cdot 0.32 + \frac{10}{15} \cdot 0.42 = 0.39$$



Figuur 100: Gini impurity boven & onder

$$\text{Gewogen Gini impurity} = \frac{9}{15} \cdot 0.34 + \frac{6}{15} \cdot 0.28 = 0.32$$



Figuur 101: Splits telkens bij de split die je de **laagste** Gini impurity oplevert

14.2 Decision Trees voor regressie

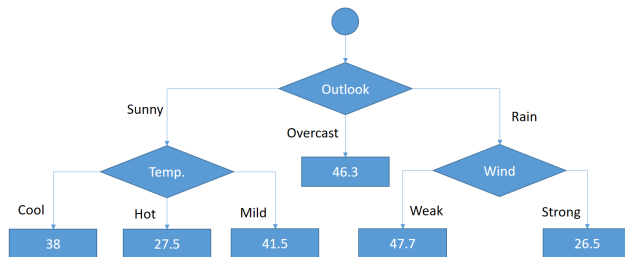
Decision trees kunnen ook gebruikt worden op continue waarden, om regressie mee te doen.

14.2.1 Voorbeeld 1: aantal golfspelers bij verschillende weersomstandigheden

| Day | Outlook | Temp. | Humidity | Wind | Golf Players |
|-----|----------|-------|----------|--------|--------------|
| 1 | Sunny | Hot | High | Weak | 25 |
| 2 | Sunny | Hot | High | Strong | 30 |
| 3 | Overcast | Hot | High | Weak | 46 |
| 4 | Rain | Mild | High | Weak | 45 |
| 5 | Rain | Cool | Normal | Weak | 52 |
| 6 | Rain | Cool | Normal | Strong | 23 |
| 7 | Overcast | Cool | Normal | Strong | 43 |
| 8 | Sunny | Mild | High | Weak | 35 |
| 9 | Sunny | Cool | Normal | Weak | 38 |
| 10 | Rain | Mild | Normal | Weak | 46 |
| 11 | Sunny | Mild | Normal | Strong | 48 |
| 12 | Overcast | Mild | High | Strong | 52 |
| 13 | Overcast | Hot | Normal | Weak | 44 |
| 14 | Rain | Mild | High | Strong | 30 |

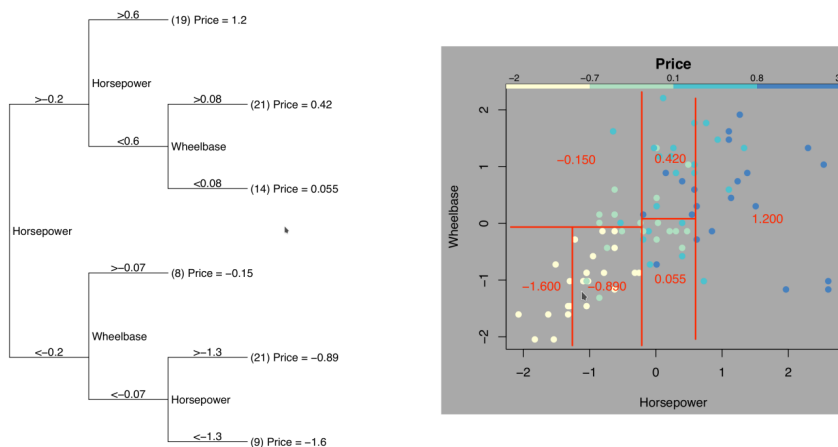
Figuur 102: De dataset

We gaan via gemiddeldes berekenen hoeveel elk ‘blad’ in de decision tree zal zijn:



Figuur 103: De decision tree

14.2.2 Voorbeeld 2: Autoprijs op basis van 2 eigenschappen van de auto



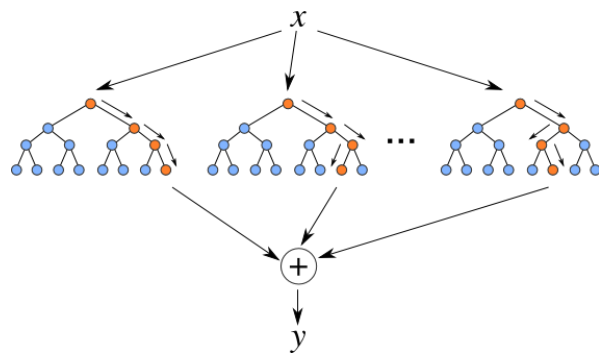
Figuur 104: We splitsen de data op, juist zoals bij classificatie

15 Ensemble learning

15.1 Problematiek van decision trees

Decision trees hebben de neiging tot overfitting

Oplossing: combineer de voorspellingen van verschillende gerandomiseerde modellen (bijvoorbeeld decision trees) tot één model = ensemble learning



Figuur 105: Combineren van meerdere modellen tot één model

Zo'n combinatie van verschillende decision trees (beslissingsbomen) noemen we een forest (bos)

15.2 Overzicht Ensemble learning methodes

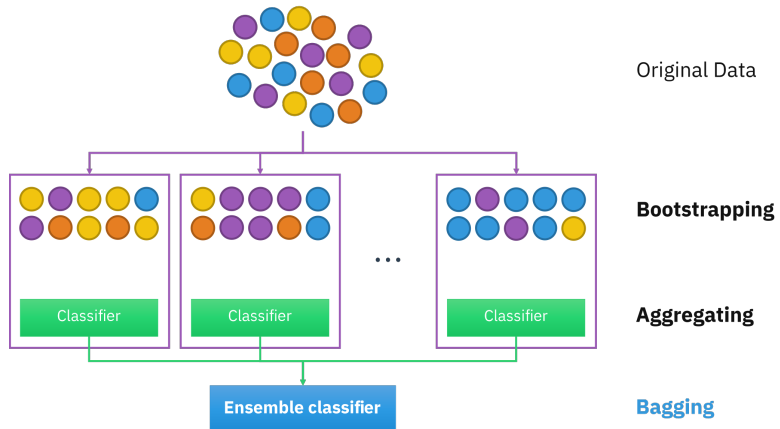
- **Bootstrap aggregating (=bagging)**
- **Boosting**
- Bayes optimal classifier
- Bayesian model averaging/combination
- Bucket of models
- **Stacking**

15.3 Bagging

Definitie 15.1 *Bagging (Bootstrap aggregating) is een ensemble learning methode om de stabiliteit en accuracy van machine learning algoritmes in classificatie en regressie te verbeteren. Meestal wordt het gebruikt met decision trees, maar het kan gebruikt worden met eender welke methode.*

Het vermindert ook de variantie en verhindert overfitting.

https://en.wikipedia.org/wiki/Bootstrap_aggregating



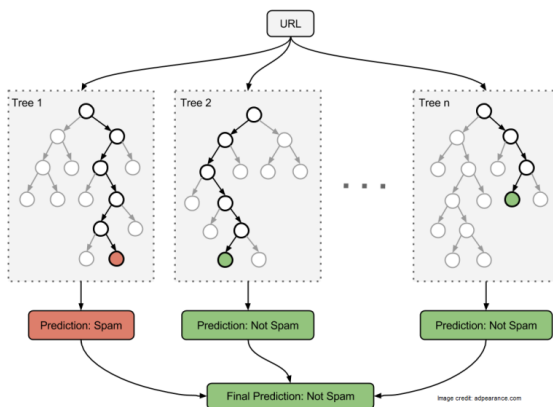
Figuur 106: Bagging

- Bij regressie wordt het gemiddelde van de outputs gebruikt om een finaal model te bekomen
- Bij classificatie wordt majority voting gebruikt om een finaal model te bekomen.

15.3.1 Concept van bagging: Majority voting

Given a jury of voters and assuming independent errors. If the probability of each single person in the jury of being correct is above 50% then the probability of the jury being correct tends to 100% as the number of persons increase.

Nicolas de Condorcet (1743 - 1794)



Figuur 107: Verschillende decision trees samenvoegen tot één finaal model

| | Sample 1 | Sample 2 | Sample 3 | Sample 4 | Sample 5 | Sample 6 | Sample 7 | Sample 8 | Sample 9 | Sample 10 | |
|-----------------|----------|----------|----------|----------|----------|----------|----------|----------|----------|-----------|--------------|
| Tree 1 | | | | | | | | | | | 7/10 correct |
| Tree 2 | | | | | | | | | | | 7/10 correct |
| Tree 3 | | | | | | | | | | | 6/10 correct |
| Majority voting | | | | | | | | | | | 8/10 correct |

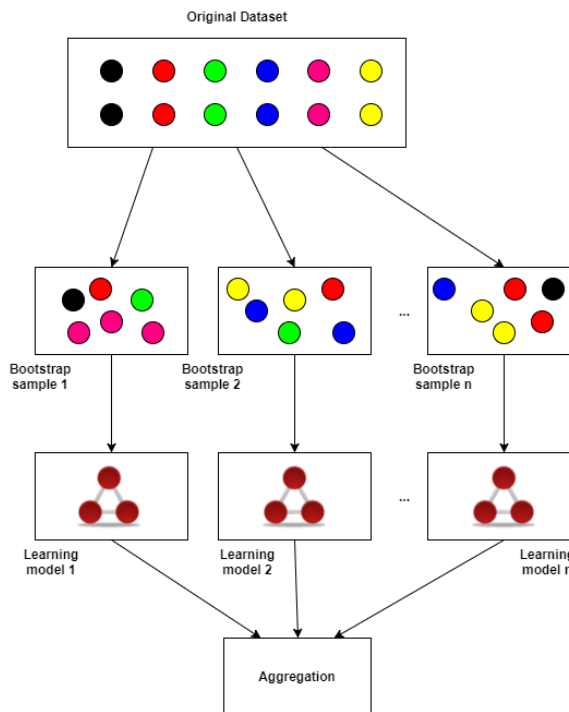


 Correct Foutief

Figuur 108: Het finale model keurt een sample foutief als het door de meerderheid van de bomen foutief wordt gekeurd

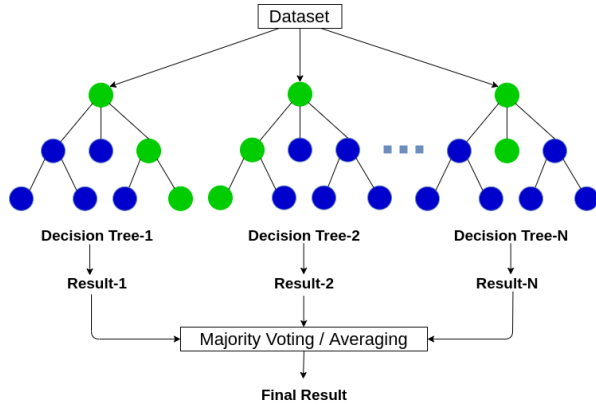
- We kiezen de klasse op basis van de meerderheid (=er wordt ‘gestemd’)
- Als er 1 model overfitting doet (bv: ten gevolge van ruis), zullen andere modellen dat misschien niet doen
- Als je zo genoeg modellen traint haal je zo goed als alle ruis er uit
- Bagging is daarom goed bij uitschieters

15.3.2 De techniek van bagging



1. Kies verschillende subsets (bags) uit de trainingset
2. Willekeurige selectie met teruglegging
3. Train op elke subset een classifier

15.3.3 Random Forest Trees

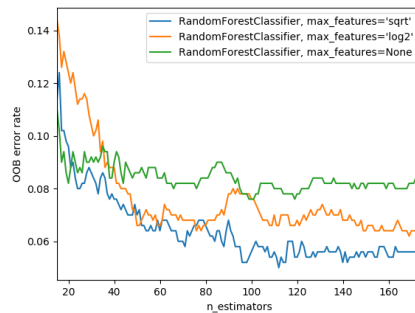


- = Verschillende decision trees combineren tot 1 bos = 1 groot model
- Net zoals bagging, maar Random Forest Trees zullen bij elke split een subset van de features gebruiken
- https://en.wikipedia.org/wiki/Random_forest#From_bagging_to_random_forests
- Dat moet niet noodzakelijk met pure enkel decision trees, je mag dat ook doen met andere classifiers zoals Logistic Regression
- ExtraTrees = aangepaste versie van de Random Forest Trees
 - = Extremely Randomized Trees
 - Werken niet met bags, maar met de volledige trainingset waar samples uit gehaald worden
 - **Splits worden willekeurig gekozen**
 - ⇒ Entropy en Gini impurity hoeft je niet uit te rekenen ⇒ minder rekenwerk
 - Deze methode werkt goed met groot aantal bomen
 - Vaak minder goede accuracy dan andere methodes, maar werkt heel snel

Hyperparameters:

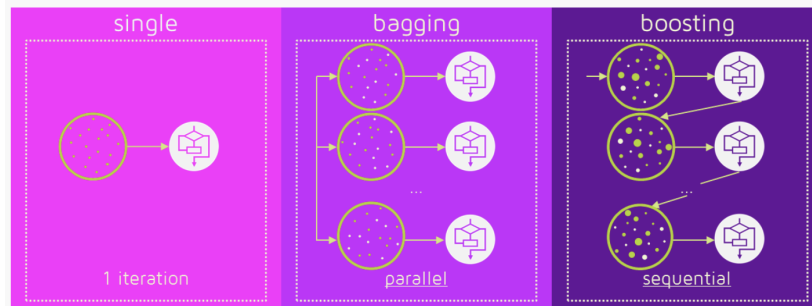
- **n_estimators:** aantal bomen in het bos: meestal hoe meer hoe beter
- **criterion:** Gini (default) of Entropy
- **Maximum number of features:** het maximum aantal features per boom
 - int: aantal features
 - float: percentage
 - 'auto': max_features: vierkantswortel van totaal aantal features
 - 'sqrt': max_features: vierkantswortel van totaal aantal features
 - 'log2': log van het aantal features
 - Default worden alle features gebruikt
- **max_depth:** de maximale diepte van de boom. Als je te maken hebt met noisy data is het aan te raden de maximale diepte beperkt te houden

- **min_samples_split**: het minimum aantal samples nodig om binnen een boom te blijven splitsen
- **min_samples_leaf**: het minimum aantal samples dat zich aan een blad van de boom moet bevinden. Hoe groter deze waarde, hoe minder vatbaar voor overfitting
- **Bootstrap aggregating**: Bagging. Staat default op True
- **oob_score**: ‘out of bag’-score = de gemiddelde error bij het testen van een sample op bomen die niet op deze sample getraind zijn geweest



Figuur 109: number of estimators vs oob score

15.4 Boosting

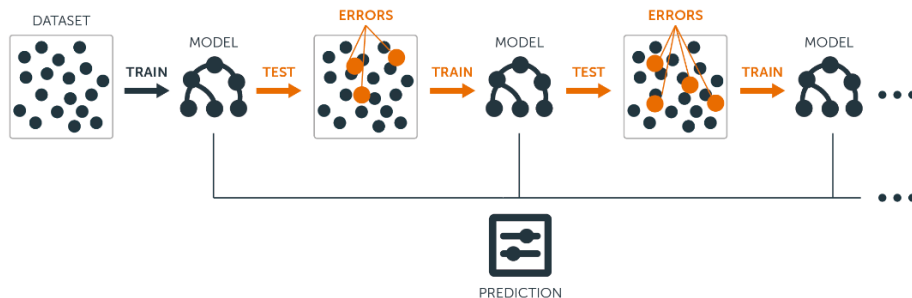


Figuur 110: Single vs bagging vs boosting

- Boosting zal zoals bagging meerdere decision trees overlopen
- Boosting zal dat in plaats van parallel, sequentieel doen
- Boosting modellen zijn heel gevoelig voor overfitting
- Modellen kunnen minder snel getraind worden dan bij Bagging, omdat elk model moet wachten op het vorige
- Er zijn meerdere vormen van Boosting
 - Adaboost
 - Gradient Boosting
 - ...

15.4.1 Adaboost

= Adaptive boosting



Figuur 111: Werking Adaboost

We beginnen juist zoals bij bagging:

- Je vertrekt opnieuw van de trainingset, bv 1000 samples
- Eerste stap = je vult zoals bij bagging een 'bag' (bv opnieuw 1000 samples, via sampling en replacement: sommige samples gaan meerdere keren voorkomen, andere niet, ...)
- Je traint een model met de data uit die bag
- Dit model kan eender welk soort model zijn, maar meestal neemt men een decision tree met maar 1 splitsing (=stump)
- Je test dit model, eventueel op de data die niet werd geselecteerd uit de trainingset

Maar hier komt Adaboost aan te pas;

- Je traint een tweede model met opnieuw willekeurige data
- Maar: data die door het vorige model verkeerd werd geclasseerd krijgt nu een grotere kans om in de nieuwe bag te komen
- Zo wordt model 2 meer getraind op de tekortkomingen van het eerste model
- Dit doe je herhaaldelijk voor x aantal modellen
- Via majority voting krijg je 1 finaal model

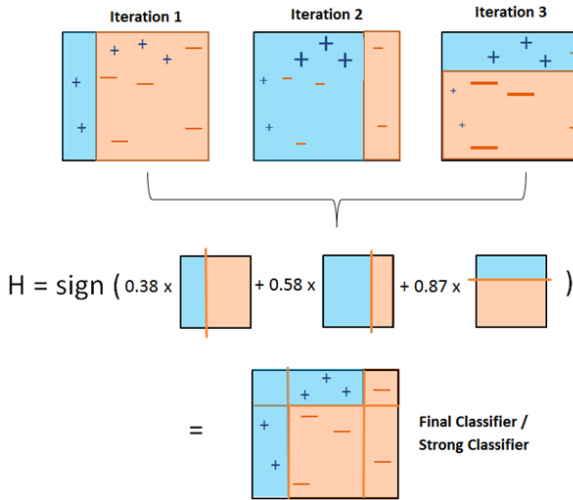
Je kan blijven modellen maken tot je een bepaalde accuracy bekomt

Maar: hoe meer modellen je traaint, hoe meer kans op overfitting. De bags van de latere modellen bevatten alsmaar meer ruis.

Learning rate

= voor welk percentage mogen de volgende modellen meetellen?

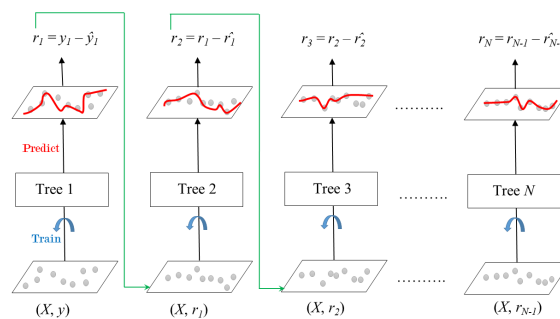
Stel dat we de learning rate op 0.9 zetten, dan telt het eerste model mee voor 0.9^0 , het tweede voor 0.9^1 , het derde voor 0.9^2 , het vierde voor 0.9^3 , ...



Figuur 112: Adaboost zal in zijn originele vorm met stumps (=decision trees met 1 splitsing) werken

- We splitsen bij elke iteratie de trainingset in 2
- Bij de eerste iteratie zijn er 3 punten negatief geclasseerd terwijl ze positief zijn
- Bij de tweede iteratie is er een nieuwe splitsing. Deze keer krijgen de verkeerd geclasseerde punten uit het vorig model meer gewicht
- Maar nu zijn er 3 negatieve punten die positief geclasseerd worden
- Daarom gaan we nu bij de derde iteratie opnieuw een splitsing doen.
- Deze keer krijgen die verkeerd geclasseerde punten meer gewicht
- Op basis van deze modellen met hun gewicht maken we een finaal model (=voting met gewicht)

15.4.2 Gradient Boosting



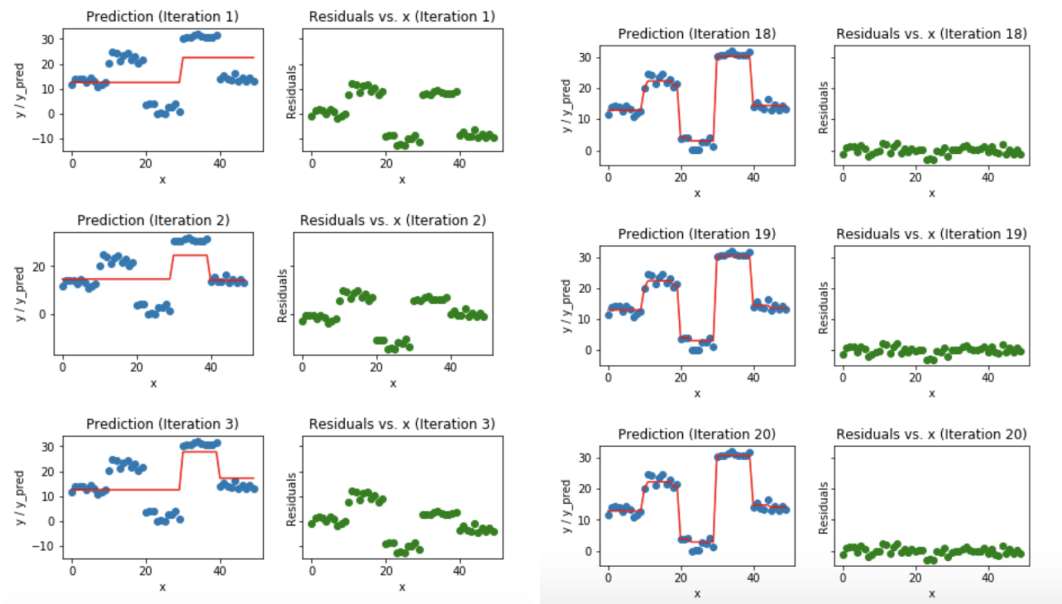
Figuur 113: Gradient Boosting

- Gelijkwaardig aan Adaboost: de volgende trees worden vooral getraind op de tekortkomingen van de vorige trees
- Model 1 maakt een ruwe schatting met een trainingset
- Model 2 zal met dezelfde trainingset voorspellen hoe fout het eerste model was

- Deze 2 modellen combineren we tot 1 model
- Model 3 zal voorspellen hoe fout de combinatie van model 1 en 2 was, om daaruit een nieuw model te halen
- Model 4 zal hetzelfde doen met model 1 + 2 + 3
- ...
- Hier ook veel last van uitschieters en overfitting

Bij regressie: de fouten worden bepaald door de residuen

Bij classificatie: de fouten worden bepaald door de procentuele zekerheden van een voorspelling.
Als een model niet zeker genoeg of te zeker was over een voorspelling, wordt die zekerheid aangepast door het volgende model.

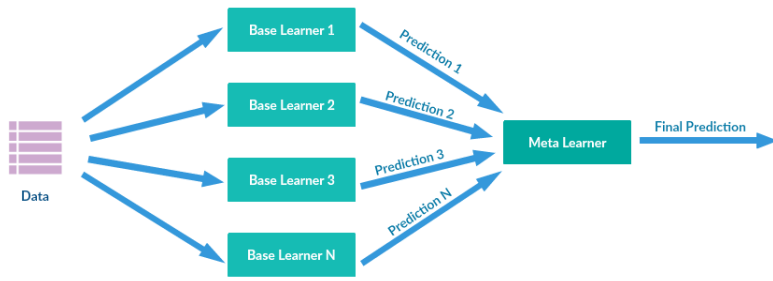


Figuur 114: Bij elke iteratie worden de residuen berekend

15.5 Stacking

Definitie 15.2 *Stacking (Stacked Generalization) is een ensemble learning methode die de uitkomsten van meerdere (meestal verschillende) classificatie- of regressiemodellen combineert via een metalearner.*

De base learners worden getraind op een volledige trainingset, daarna wordt de metalearner getraind om een finale voorspelling te maken gebruikmakend van de voorspellingen van de base learners als features.

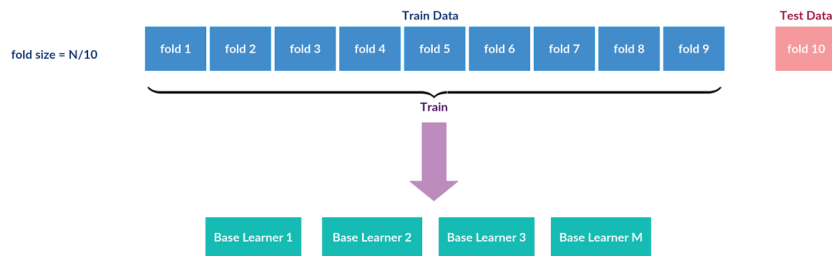


Figuur 115: De Meta Learner is een classificatiemodel die de voorspelligen zal combineren tot 1 finale voorspelling

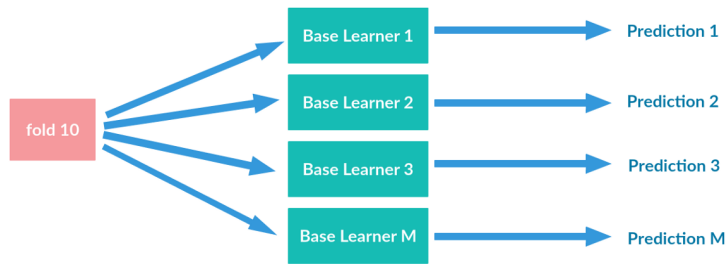
- Stacking zal alle predicties van een groep (meestal verschillende) base learners combineren tot een finale predictie
- Die base learners zijn bijvoorbeeld: SVM, LogisticRegression, Naive Bayes, RFT, ...
- Als meta learner wordt heel vaak Logistic Regression gebruikt

15.5.1 Folding

Intern wordt de data eerst geprocesseerd, de dataset wordt opgedeeld in folds:



Figuur 116: $K=10 \Rightarrow 9/10$ folds worden gebruikt als training data



Figuur 117: 1/10 wordt als test data gebruikt

- Die test data wordt ook door de getrainde base learning modellen gestuurd
- Met die resultaten zal de meta learner trainen

15.6 Overzicht Ensemble learning

| Bagging | Boosting | Stacking |
|--|---|---|
| <ul style="list-style-type: none"> • Reduceert de variantie • Robuust tegen uitschieters en noisy data • Dikwijls via Random Forest Trees | <ul style="list-style-type: none"> • Verhoogt de accuraatheid • Niet robuust tegen uitschieters of noisy data | <ul style="list-style-type: none"> • Ensemble van strong learners • Metalearner die de optimale combinatie leert van de base learners |

16 Unsupervised learning

16.1 Introductie

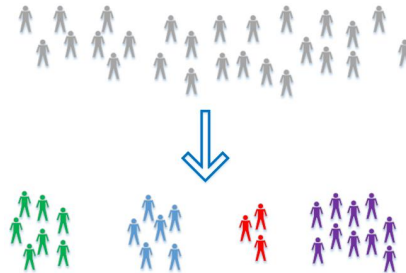
Unsupervised learning bevat een set aan machine learning technieken om in niet-gelabelde data structuren te zoeken en beschrijven

Belangrijke technieken omvatten:

- Clustering
- Anomaly / outlier detection
- Dimensionality reduction (=data comprimeren zodat je alleen relevante features overhoudt)
- Blind signal separation (= mix van signalen (bv WiFi-signalen) die uit elkaar getrokken moeten worden)

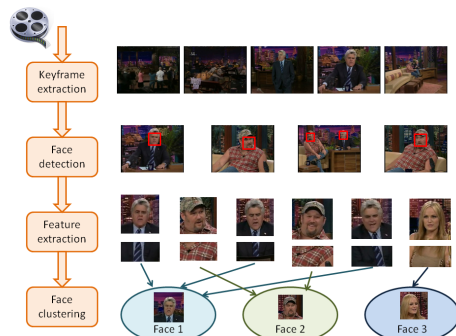
16.2 Clustering

Definitie 16.1 Clustering is het groeperen van gegevens zodat binnen een bepaalde groep (=cluster) de gelijkenis groter is dan de gelijkenis met gegevens in een andere groep

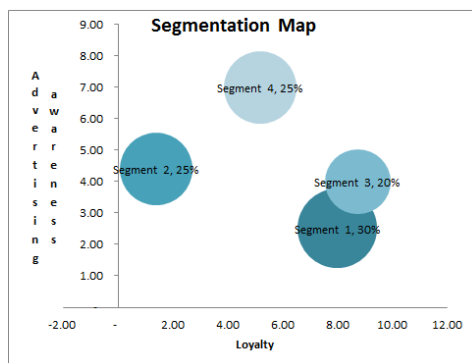


Figuur 118: Clustering: verdelen in groepen

16.2.1 Voorbeelden



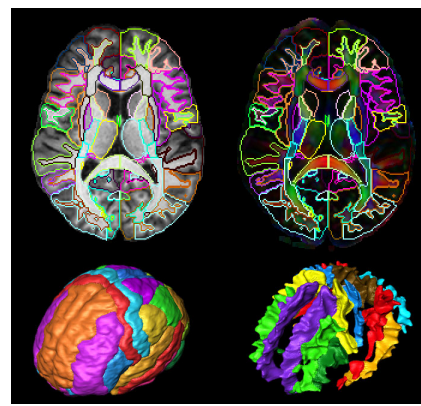
Figuur 119: Voorbeeld: face clustering



Figuur 120: Voorbeeld: Marktsegmentatie



Figuur 121: Social media clustering



Figuur 122: Image segmentation

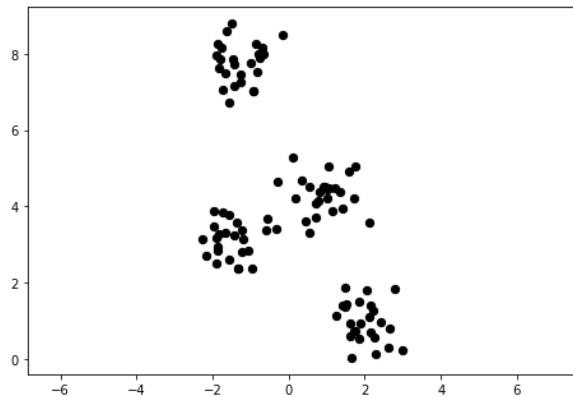
Andere voorbeelden:

- Gerelateerde resultaten bij een zoekopdracht van een zoekmachine tonen
- Gelijkaardige artikels op nieuwsites

16.3 K-means clustering

K-means clustering is een zeer populaire clustering techniek door zijn eenvoud

- Simpel om te begrijpen
- Performant op grote dataset

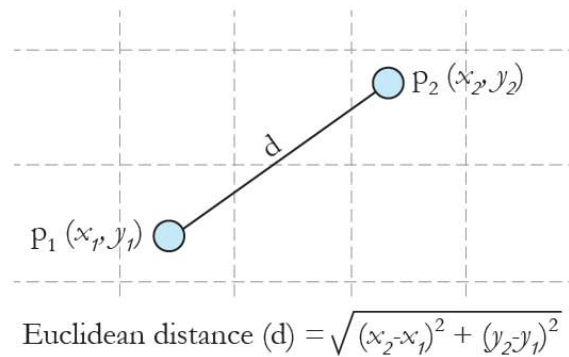


Figuur 123: Voorbeeld: zoek gelijksoortige clusters in deze data

16.3.1 Hoe gelijkenis uitdrukken?

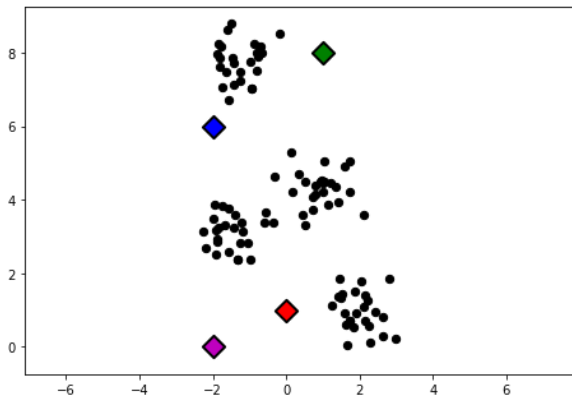
Via een afstandsfunctie:

- Hoe dicht liggen trainingssamples qua afstand van elkaar in de feature space?
- Veelgebruikte afstandsmaat is de **Euclidische afstand** (=Pythagoras)
- Soms wordt ook de Manhattan Distance gebruikt: https://en.wikipedia.org/wiki/Taxicab_geometry
- Of de cosine distance: https://en.wikipedia.org/wiki/Cosine_similarity

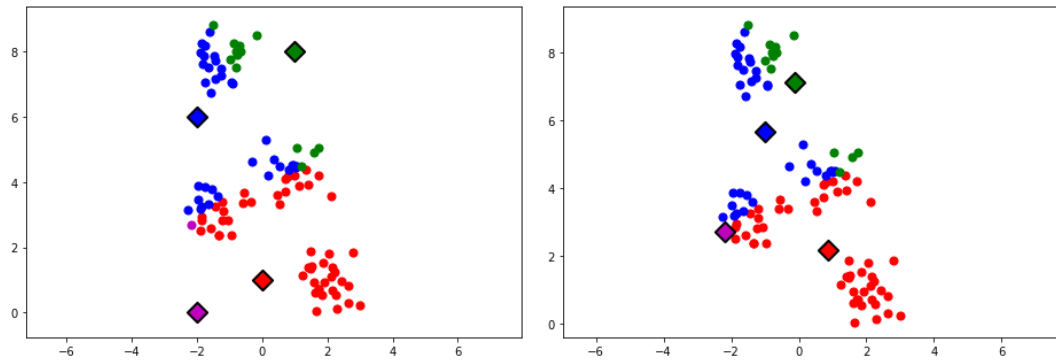


16.3.2 Werking

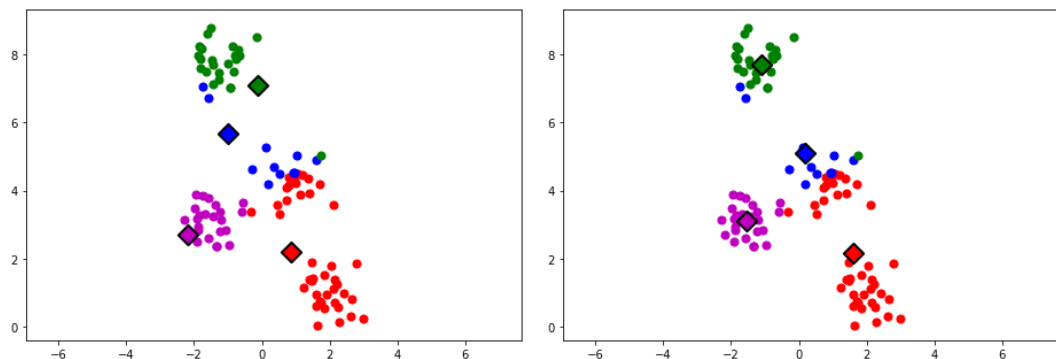
1. Initialiseer (al dan niet willekeurig) 4 **centoïden**
2. Zolang er datapunten veranderen van cluster:
 - (a) Wijs de datapunten toe aan de dichtsbij liggende centoïde
 - (b) Verplaats de centoïden naar het gemiddelde van de clusters



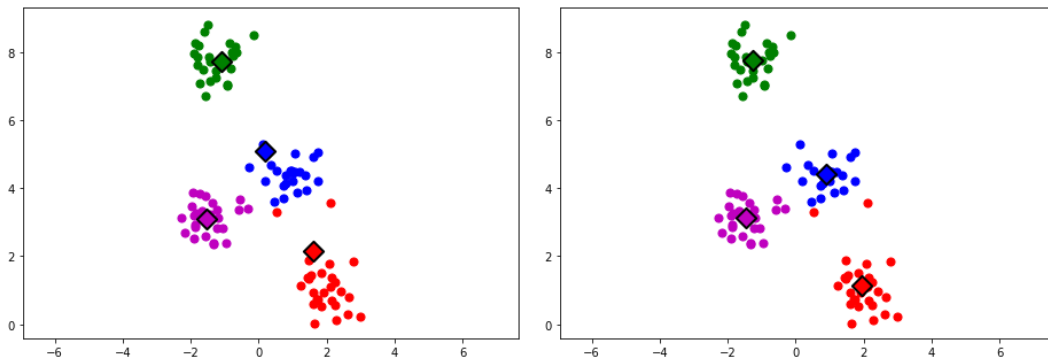
Figuur 124: Initialiseren van de centoïden



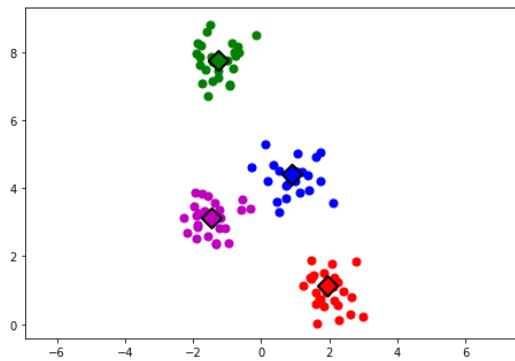
Figuur 125: Datapunten toewijzen aan dichtsbij liggende centoïde, dan de centoïden verplaatsen naar het gemiddelde van de clusters



Figuur 126: Opnieuw punten toewijzen en centoïden verplaatsen naar gemiddelde van de clusters



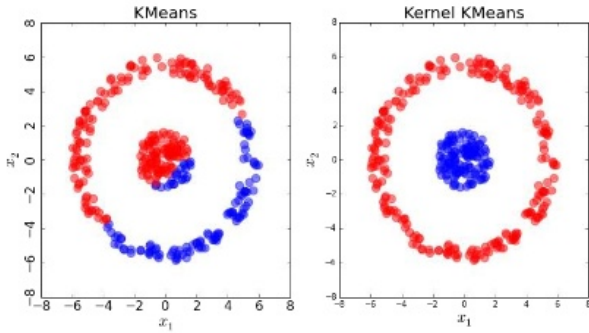
Figuur 127: Opnieuw punten toewijzen en centoïden verplaatsen naar gemiddelde van de clusters



Figuur 128: Wijs de datapunten opnieuw toe aan de dichtsbij liggende centoïde. We verplaatsen opnieuw de centoïden. Hier stoppen we omdat er geen datapunten meer van cluster veranderen.

16.3.3 Eigenschappen van K-means clustering

- **Eenvoudig** en resultaten gemakkelijk **interpreteerbaar**
- K-means vindt niet altijd het globale optimum (=beste oplossing)
- Uiteindelijke resultaat hangt af van initialisatie van de centoïden
 - Probeer verschillende initialisaties
 - Initialiseer eerste centoïde op een willekeurig datapunt
 - Leg de tweede centoïde op een datapunt dat zover mogelijk van het eerste verwijderd is, de derde zo ver mogelijk van de twee eerste, ...
- Zeer **gevoelig aan uitschieters**
- Problemen bij clusters met hetzelfde gemiddelde of niet-sferische clusters
 - **Oplossing:** kernel K-means of spectral clustering:



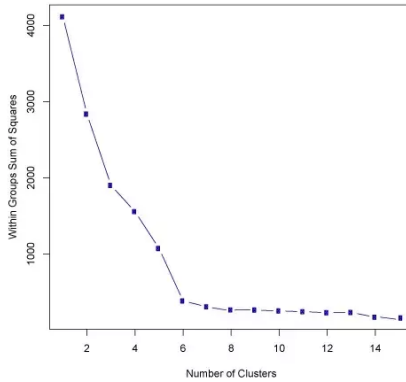
Figuur 129: K-means vs Kernel K-means op het donut-probleem

16.3.4 Strategie om het aantal clusters te bepalen

- Visuele inspectie van de datapunten (indien mogelijk)
- Silhouette clustering
- **Elbow method**

Definitie 16.2 Met de Elbow method kunnen we het aantal clusters vinden door voor een verschillend aantal clusters de ‘sum of squared error (SSE)’ te bepalen. De SSE is de som voor de gekwadrateerde afstanden tussen elk datapunt in een cluster en de centoïde van die cluster

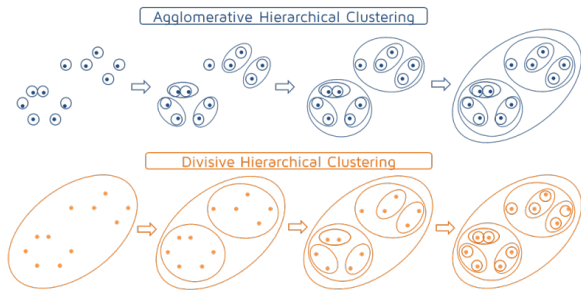
$$SSE = \sum_{i=1}^K \sum_{x \in c_i} dist(x, c_i)^2 \quad (23)$$



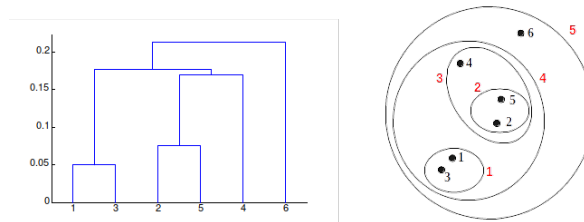
Figuur 130: Elbow method voor het vinden van het aantal clusters

Aantal clusters K is daar waar de fout niet noemenswaardig meer zakt. In het bovenstaande voorbeeld: $K = 6$

16.4 Hierarchical clustering



Figuur 131: Clusters kunnen worden voorgesteld via een **dendrogram**



Figuur 132: Dendrogram (= een soort boomstructuur-diagram)

- Je groepeert telkens 2 datapunten die het dichtst bij elkaar liggen
- Daarna groepeer je die clusters tot een cluster van clusters
- Nu kan je heel gemakkelijk het aantal clusters kiezen
- Het geeft ook een mooi inzicht over hoe de clusters tot stand zijn gekomen

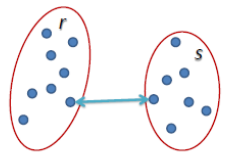
16.4.1 Sterktes van hierarchical clustering

- Geen vooropgesteld aantal clusters nodig. Elk gewenst aantal clusters kan bekomen worden door het dendrogram op de juiste plaats af te snijden
- De structuur van het dendrogram kan nuttig zijn. Bijvoorbeeld in biologie, productcategorieën, ...

16.4.2 Hoe ga je nu de afstand tussen 2 clusters bepalen?

3 manieren:

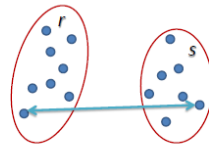
1. Met **single linkage**



$$L(r, s) = \min(D(x_{ri}, x_{sj}))$$

Figuur 133: Single linkage: je neemt de dichtste 2 punten

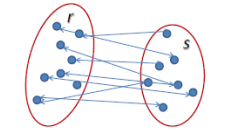
2. Met complete linkage



$$L(r, s) = \max(D(x_{ri}, x_{sj}))$$

Figuur 134: Complete linkage: je neemt de verste 2 punten

3. Met average linkage



$$L(r, s) = \frac{1}{n_r n_s} \sum_{i=1}^{n_r} \sum_{j=1}^{n_s} D(x_{ri}, x_{sj})$$

Figuur 135: Average linkage: je neemt de gemiddeldes van alle afstanden. Meer rekenwerk, maar minder gevoelig voor uitschieters maar wel een voorkeur voor globale clusters

16.4.3 Complexiteit van hierarchical clustering

Zeer rekenintensief:

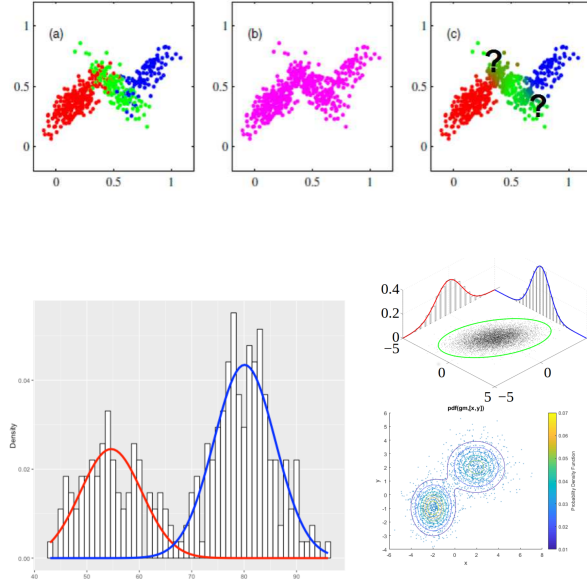
- Het aantal berekeningen is minstens kwadratisch afhankelijk van het aantal datapunten.
- Niet bruikbaar voor grote datasets.

16.5 Gaussian mixture models

Definitie 16.3 *Gaussian mixture model is een clustertechniek waarbij je probeert multidimensionale gaussiaanse curves te gaan fitten op de data.*

- Voorgaande modellen wijzen datapunten toe aan 1 enkele cluster, terwijl GMM met probabiliteit werkt

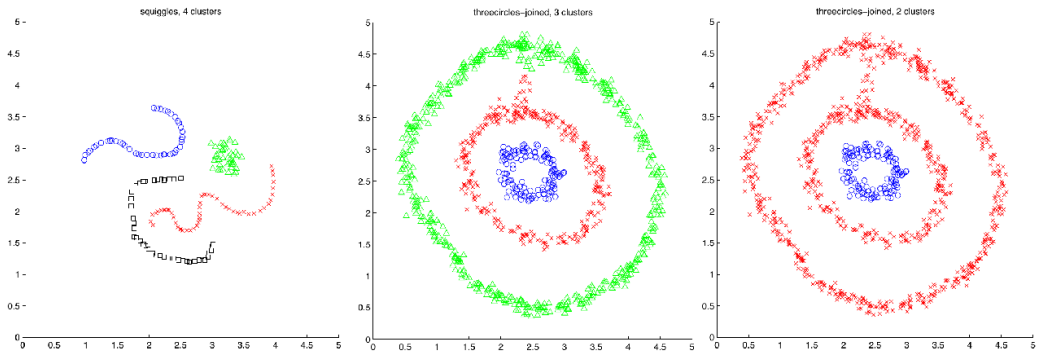
- Je regelt de varianties en gemiddelen van die Gaussisaanse functies: je verandert de positie en breedtes van de curves
- Je berekent zo een kans: er is x kans dat een punt tot een bepaalde cluster behoort



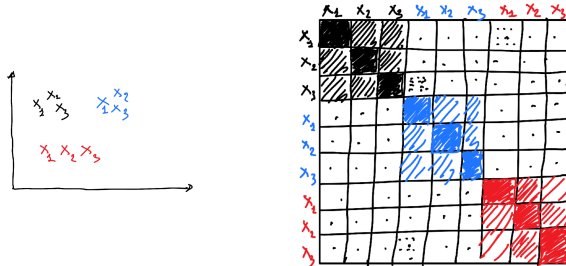
16.6 Spectral clustering

Hou rekening met de affiniteit in plaats van de absolute locatie.

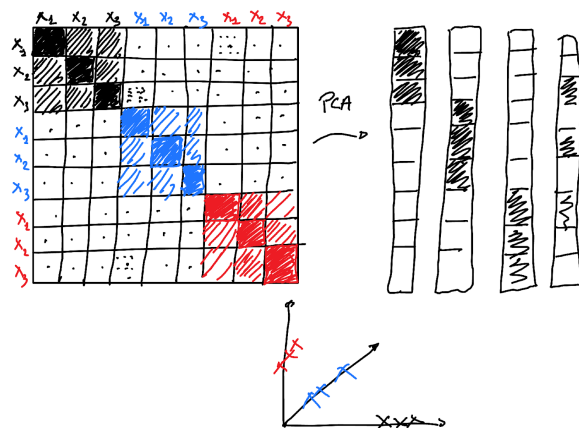
- Affiniteit = samenhang
- Spectral clustering zal werken met een affiniteitmatrix:
 - We starten met een bepaald punt
 - We kijken hoe dichtbij andere punten liggen
 - We noteren in een matrix voor elk punt hoe dichtbij elk ander punt ligt
- Doet het vooral goed in specifieke gevallen: waar de cluster niet bepaald wordt door de densiteit, maar door de affiniteit
- Handig voor datasets waar je patronen en specifieke lijnen hebt in de data, bijvoorbeeld image recognition



Figuur 136: Spectral clustering kan (zoals Kernel K-means) het ‘donut-probleem’ oplossen



Figuur 137: Opstellen van de affiniteitmatrix

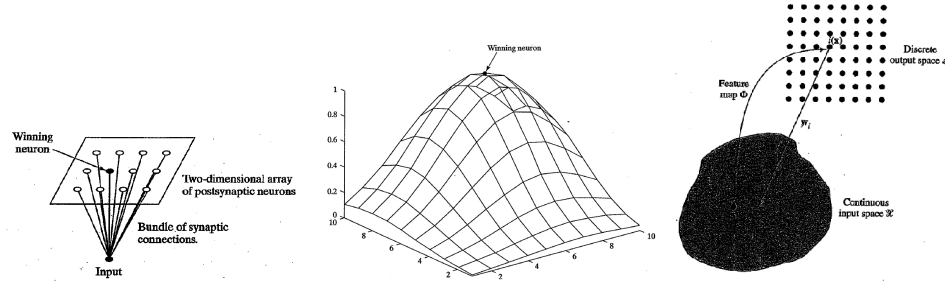


Figuur 138: Via Principle Component Analysis (PCA) bepalen we de ‘richting’ van de patronen

16.7 Self organizing maps

- Ook ‘Kohonen Maps’ genoemd (genoemd naar een Finse professor)
- Competitie-gebaseerde clustering
- We spannen een net over (meestal) twee-dimensionale data
- Voor elk datapunt kijken we welk knooppunt van het net het dichtst bij ligt

- We verplaatsen elk datapunt naar dat dichtstbijzijnde knooppunt
- We doen dit herhaaldelijk \Rightarrow clustering
- Visualisatie:
https://en.wikipedia.org/wiki/Self-organizing_map#/media/File:TrainSOM.gif
- https://en.wikipedia.org/wiki/Self-organizing_map



17 Dimensionality reduction

17.1 Wat?

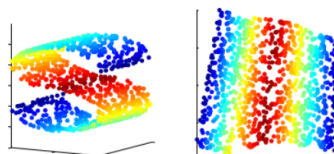
Definitie 17.1 *Dimensionality reduction* is het proces waarbij het aantal variabelen (features in een dataset) gereduceerd wordt naar een kleinere set van '**principle variables**'.

Meest gebruikte algoritmes voor dimensionality reduction:

- **Principle Component Analysis (PCA)** en Kernel PCA
- Linear Discriminant Analysis (LDA)
- Autoencoders
- Missing Values Ratio
- Low variance filter

17.2 Waarom?

- The curse of dimensionality
 - Wanneer het aantal feature zeer groot is, dan wordt het moeilijk om bepaalde algoritmes effectief te trainen
 - Bijvoorbeeld: clustering algoritmes
- Visualisaties in 2D of 3D nodig? \Rightarrow dimensie reduceren naar respectievelijk 2 of 3



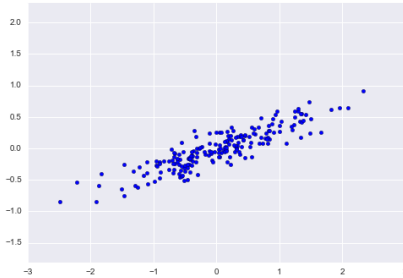
- Verwijderen van ruis
- Datacompressie

17.3 Toepassingen

- Document classification
- Classificatie van genen (veel genen, weinig samples)
- Gezichtsherkenning
- Spraakherkenning
- Handschriftherkenning
- Compressie
- Intrusion detection

17.4 Principle Component Analysis (PCA)

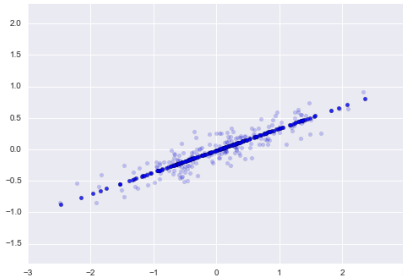
Definitie 17.2 *Principal component analysis (PCA) is een wiskundige techniek om het aantal (mogelijk) gecorreleerde features te transformeren (te combineren) naar een kleiner aantal niet-gecorreleerde features die de principle components worden genoemd.*



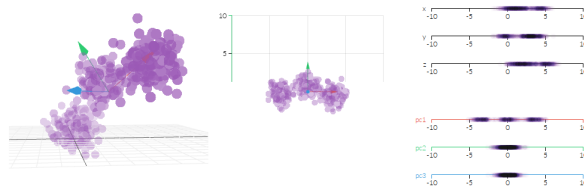
Figuur 139: Voorbeeld



Figuur 140: We identificeren de 2 principle components



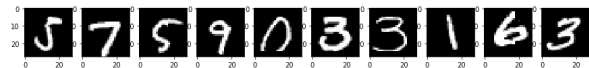
Figuur 141: We reduceren de data naar de grootste principle component



Figuur 142: <http://setosa.io/ev/principal-component-analysis/>

17.4.1 Voorbeeld aan de hand van de MNIST dataset

= dataset met zwart-wit afbeeldingen van getallen van 28x28 pixels



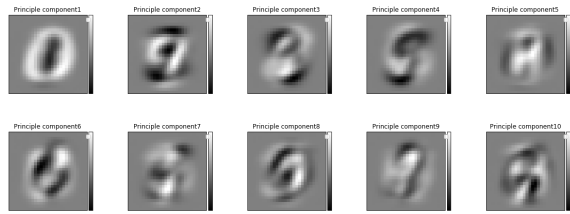
- De dimensie van 1 afbeelding (=aantal features) = $28 \cdot 28 = 784$
- We moeten zoeken naar manier om deze afbeeldingen in een lagere dimensie voor te stellen

In Sklearn:

```

1 # principle component analysis
2 from sklearn.decomposition import PCA
3
4 pca = PCA(n_components=10, svd_solver='full')
5 pca.fit(X_train)
6 # reduceren van de training- en testset
7 X_train_pca = pca.transform(X_train)
8 X_test_pca = pca.transform(X_test)
9
10 # elke afbeelding in zowel training- als de testset is gereduceerd tot 10 features
11 X_train_pca.shape
12 > (30000, 10)

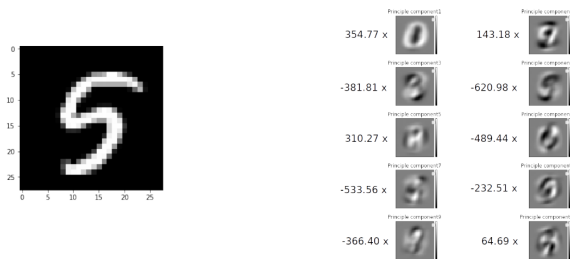
```



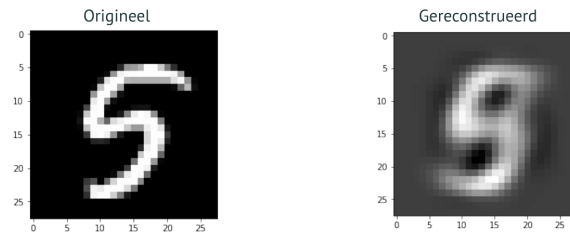
Figuur 143: Visualisatie van de eerste 10 principle components

Stel dat voor een bepaalde afbeelding we volgende PCA-scores berekend hebben:

1 354.77; 143.18; -381.81; -620.98; 310.27; -489.44; -533.56; -232.51; -366.40; 64.69



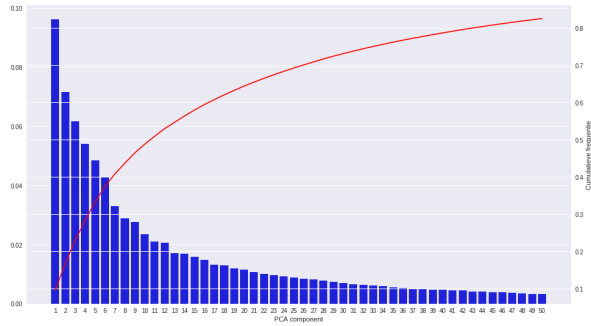
Figuur 144: PCA-scores van een bepaalde afbeelding. We vermenigvuldigen elke PC met zijn respectieve PCA-score



Figuur 145: Reconstructie van de digit aan de hand van 10 principle components (in plaats van de originele 784 features)

17.4.2 Kiezen van het aantal principle components: verklaarde variantie

PCA zoekt de componenten die een zo groot mogelijke variantie in de dataset verklaren. We willen zoveel mogelijk informatie overhouden na dimensionality reduction.



Figuur 146: Het belang van elke principle component: hoeveel data kan er door een PC verklaard worden

- Rode curve = cumulatieve waarde
- De eerste 16 components \Rightarrow goed voor 60% van de verklaarde variantie
- \Rightarrow 40% gaat verloren
- Makkelijk afleesbaar hoeveel PC's je nodig hebt voor bvb 90% verklaarde variantie

17.4.3 Face recognition

Bij face recognition noemt men de principle components 'Eigenfaces'



Figuur 147: We beschrijven een gezicht als een gewogen som van Eigenfaces

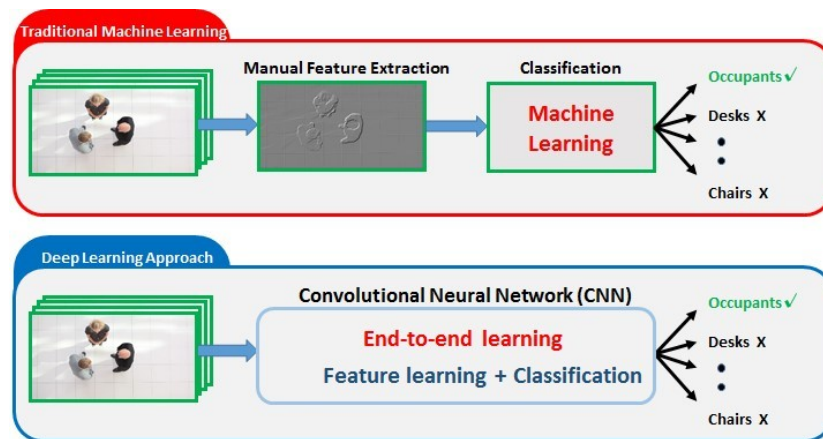
18 Deep learning

18.1 Waarom deep learning



Figuur 148: Performance vs hoeveelheid data

- Hoe meer data je hebt, hoe beter uw model gaat worden
- In de realiteit zal je bij de oudere algoritmes een plateau ondervinden
- Bij deep learning zal dat een veel kleiner probleem zijn
- Neurale netwerken zijn wel **veel gevoeliger voor overfitting**: ze kunnen heel snel de dataset uit het hoofd leren
- Met kleinere datasets is het meestal beter om voor de traditionele learning algoritmes te gaan.

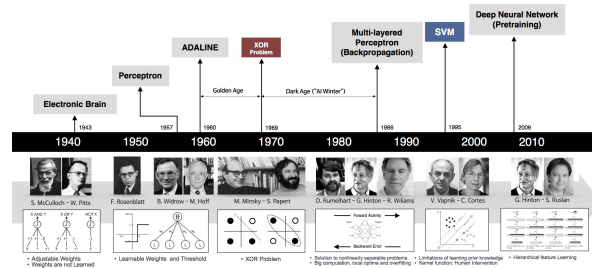


Figuur 149: De verschillende aanpak tussen traditionele ML en Deep Learning

- Bij traditionele ML moet je eerst manueel de features eruit halen
- Vroeger moest voor gezichtsherkenning eerst manueel aangeduid worden waar de features (ogen, mond, oren, ...) zijn.
- Deep learning is goed voor problemen met niet-gestructureerde data
 - Gestructureerde data = rijen van data (zoals een Excel-sheet)
 - Niet-gestructureerd = afbeeldingen

Definitie 18.1 End-to-end learning is een deep learning techniek waarbij we gewoon alle ruwe data door een neural netwerk gooien. Het neurale netwerk zal zelf feature learning gaan doen, om daarna te classificeren.

18.2 Geschiedenis van deep learning

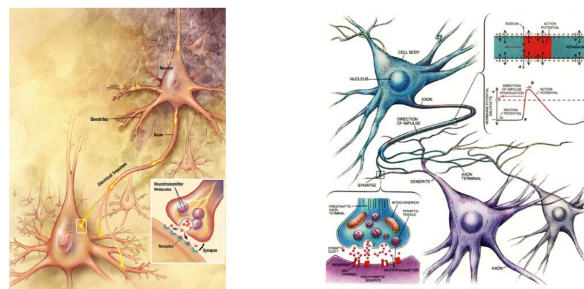


Figuur 150: https://beamandrew.github.io/deeplearning/2017/02/23/deep_learning_101_part1.html

18.3 Deep learning architectureen

- Convolutional Neural Networks (CNN)
- Capsule Network (CapsNet)
- Restricted Boltzmann Machine (RBM)
- Autoencoder (AE)
- Deep Belief Nets (DBN)
- Recurrent Neural (Tensor) Network (RNTN)
- Long Short Term Memory (LSTM)
- Gated Recurrent Unit nets (GRU)
- Generative Adversarial Nets (GAN)

18.4 Biologisch model

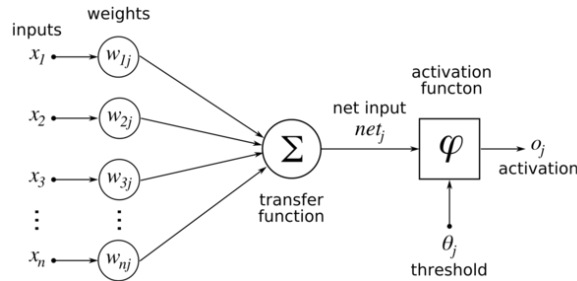


Figuur 151: Anatomie van een biologisch neuron

- Neurale netwerken zijn geïnspireerd door de werking van hersenen

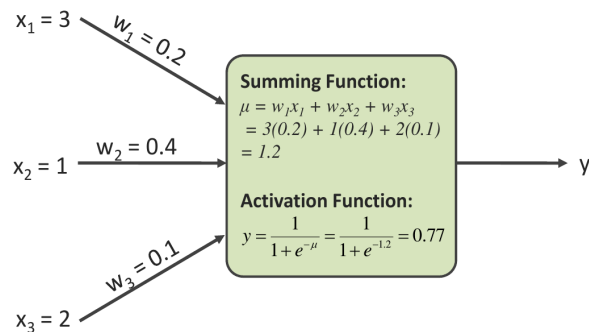
- Een neuron heeft verschillende verbindingen die signalen kunnen sturen naar andere neurons
- Het neuron kan een zwak of een sterk signaal sturen

18.5 Het artificieel neuron



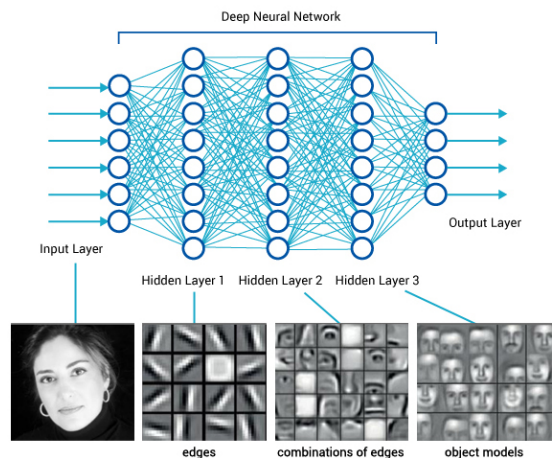
Figuur 152: Conceptuele werking

- Een neuron kan meerdere inputs ontvangen
- Elke input heeft een bepaald gewicht (=zwak of sterk signaal)
- Die inputs worden vermenigvuldigd met de gewichten om dan gebruikt te worden in een transfer function
- De transfer function is een wiskundige formule die als output een getal heeft
- Dat getal wordt als input gebruikt door een activation function, die de finale output van het neuron zal bepalen
- https://en.wikipedia.org/wiki/Activation_function



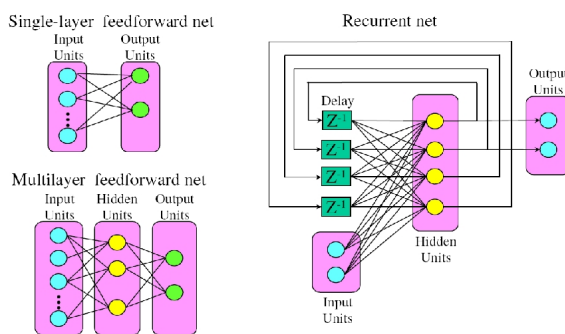
Figuur 153: Voorbeeld van een neuron, met als activeringsfunction een sigmoid function

18.6 Het neuraal netwerk



- De neuronen zitten in verschillende layers:
 - Input layer
 - Hidden layers
 - Output layer
- Elk neuron is verbonden met alle neuronen van de volgende laag
- Elke verbinding heeft een bepaald gewicht
- Men spreekt van deep learning als je meerdere lagen tussen de input en output layers hebt \Rightarrow Deep Neural network

18.7 Netwerk architectuur



Figuur 154: Verschillende types neurale netwerken.

Meer info: <http://www.asimovinstitute.org/neural-network-zoo/>

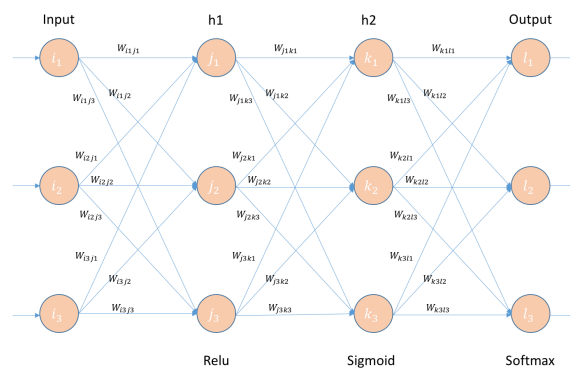
- Het is mogelijk om met simpele bouwblokken (neuronen, verbindingen) verschillende types netwerken te maken door ze in een andere volgorde te zetten of door andere verbindingen te leggen:

- Feedforward neuraal netwerk
- Recurrent neuraal netwerk (RNN)
- ...

18.8 Feedforward neuraal netwerk

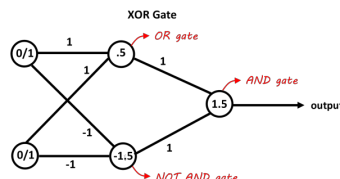
Definitie 18.2 Een feedforward neuraal netwerk is een neuraal netwerk waar verbindingen tussen de neuronen geen cyclus vormen: de data gaat binnen in de input layer en gaat in één richting door het neuraal netwerk. De data wordt verwerkt in de hidden layers en de predicties komen uit de output layer.

- Er zijn ook recurrent neural networks, die met geheugen en met cyclussen werken.



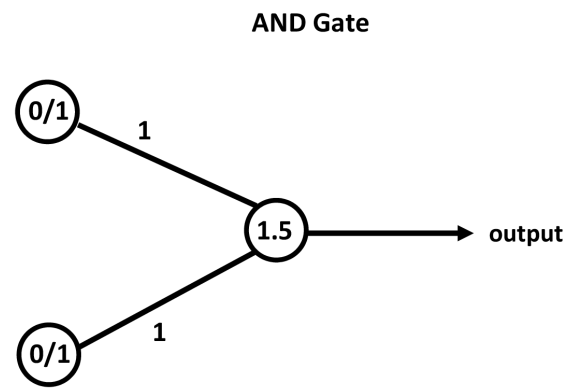
Figuur 155: De informatie vloeit unidirectioneel van input naar output

18.8.1 Voorbeeld: XOR-functie



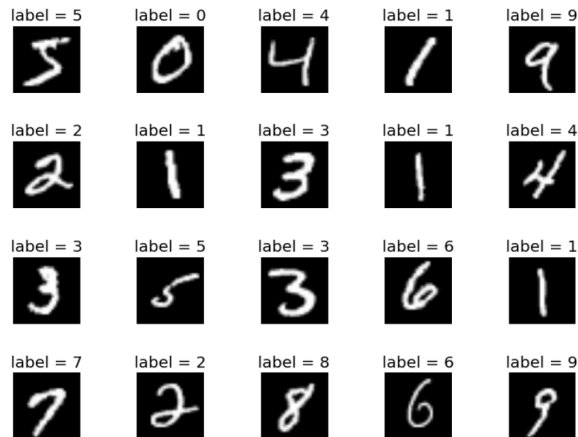
Figuur 156: XOR-functie

- Men had lang geleden al door dat je met neuronen logische ‘gates’ zoals OR, AND, NOT, ..., kunt nabouwen
- Bv: AND-gate
 - 2 inputs, 0 of 1
 - Weights van 1
 - Threshold: $> 1.5 \Rightarrow \text{output} = 1$, anders 0

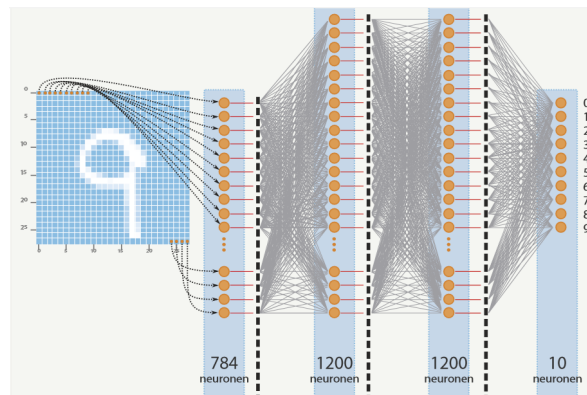


- Bv: OR-gate \Rightarrow zelfde principe, maar met threshold > 0.5

18.8.2 Voorbeeld: MNIST



Figuur 157: MNIST: dataset met gelabelde handgeschreven nummers



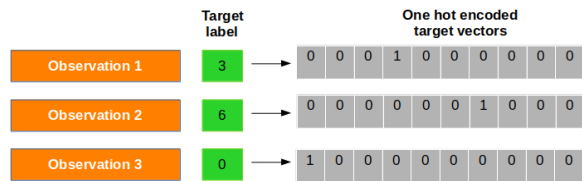
Figuur 158: Vereenvoudigd voorbeeld

- Elke output heeft een bepaalde kans
- Die kans bepaalt hoe zeker het model is dat de input dat getal is
- De kans wordt berekend met behulp van backpropagation (zie verder)

18.8.3 One-hot encoding

Definitie 18.3 *One-hot encoding is een manier om categorische features/targets te transformeren naar een geschikter formaat. Hierbij komt de index van 1 in een kolom vector (met daarnaast alleen nullen) overeen met de categorie van de feature/target.*

Bij neurale netwerken wordt dit dus ook gebruikt.



```

1 a = tf.keras.utils.to_categorical([0, 1, 2, 3], num_classes=4)
2 a = tf.constant(a, shape=[4, 4])
3 print(a)
4
5 >> tf.Tensor(
6     [[1. 0. 0. 0.]
7      [0. 1. 0. 0.]
8      [0. 0. 1. 0.]
9      [0. 0. 0. 1.]], shape=(4, 4), dtype=float32)

```

```

1 from sklearn import preprocessing
2 print(y_train)
3
4 lb = preprocessing.LabelBinarizer()
5 lb.fit(y_train)
6 y_train = lb.transform(y_train)
7
8 print(y_train)
[5, 0, 4, 1, 9, 2, 1, 3, 1, 4]
[[0 0 0 0 1 0]
 [1 0 0 0 0 0]
 [0 0 0 0 1 0 0]
 [0 1 0 0 0 0 0]
 [0 0 0 0 0 0 1]
 [0 0 1 0 0 0 0]
 [0 1 0 0 0 0 0]
 [0 0 0 1 0 0 0]
 [0 1 0 0 0 0 0]
 [0 0 0 0 1 0 0]]

```

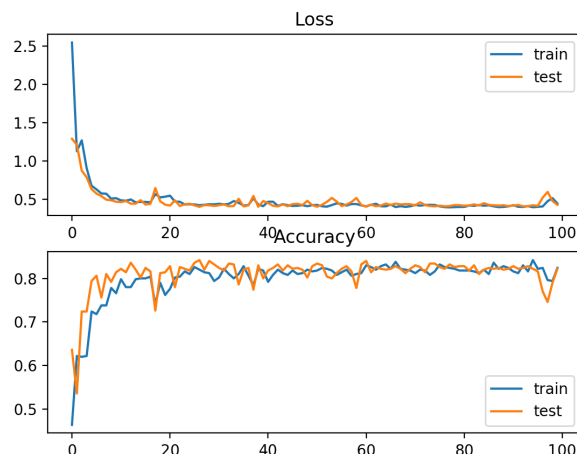
Figuur 159: LabelBinarizer()

18.8.4 Backpropagation

Definitie 18.4 Backpropagation is de meest gebruikte techniek om neurale netwerken te doen leren. Het werkt door een fout te berekenen op de predictie, en op basis van die fout de gewichten van de verbindingen te gaan bijstellen. De bedoeling is om de fout zo laag mogelijk te krijgen.

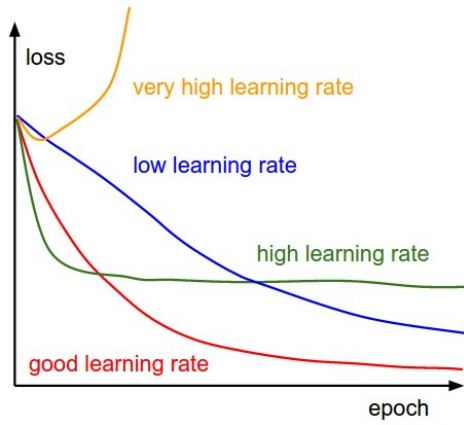
Met het voorbeeld van de MNIST dataset:

- In de output layer geeft het neurale netwerk aan elk getal een bepaalde kans
- De predictie wordt gemaakt op basis van de hoogste kans
- Stel dat een bepaald getal een te hoge kans gekregen heeft, en het te vinden getal een te lage kans:
 - Het neural network zal de verschillen berekenen (=error)
 - De volgende keer zal het NN proberen die verschillen zo laag mogelijk te houden
 - Dit wordt herhaaldelijk gedaan door de weights bij te stellen
 - Dat proces gebeurt door alle lagen van achter naar voor ⇒ **backpropagation**



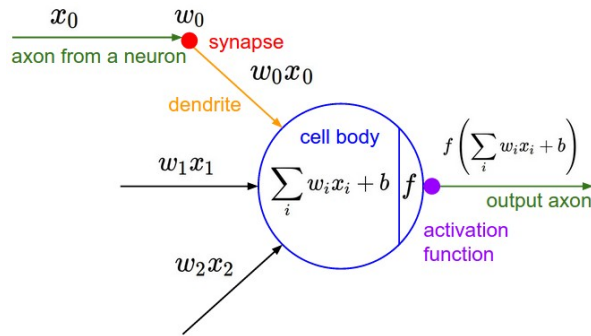
Figuur 160: De error functie (=loss) in functie van aantal training epochs

<https://becominghuman.ai/back-propagation-is-very-simple-who-made-it-complicated-97b794c97e5c>



Figuur 161: Invloed van de learning rate op de loss.
Tijdens de training wordt de learning rate adaptief bijgesteld

18.9 Activation function

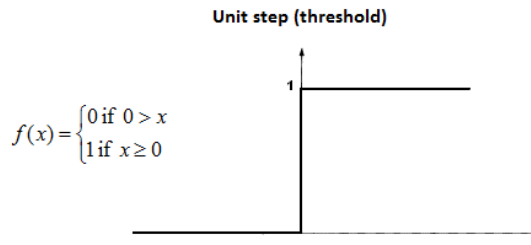


Definitie 18.5 De activation function van een neuron definieert de output van die neuron via een wiskundige functie. De inputs worden vermenigvuldigd met hun gewicht, die dan gesommeerd worden door de transfer function. De output van die transfer function wordt gebruikt als input voor de activation function.

Er zijn verschillende functies die elk een bepaald outputbereik (mogelijke y-waarden) kunnen hebben:

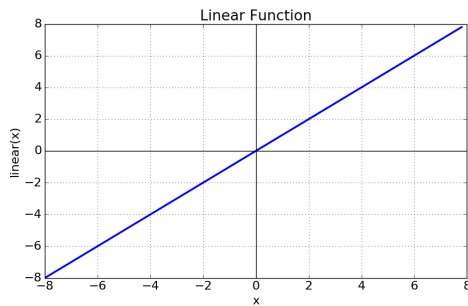
- Step function: 0 of 1
- Linear function: $-\infty$ tot $+\infty$
- Sigmoid function: 0 tot 1
- Hyperbolic tangent (tanh): -1 tot 1
- ReLu: 0 tot $+\infty$
- Leaky ReLu: $-\infty$ tot $+\infty$

18.9.1 Step function



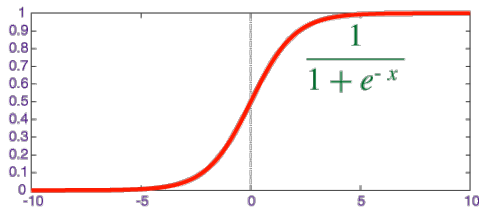
- Output is 1 wanneer de waarde > 0
- Output is 0 wanneer de waarde < 0
- Nadelen:
 - Kan alleen ja of nee zeggen (100% of 0%)
 - Problemen bij meerdere klassen. Wat als meerdere klassen op 1 staan?
 - Backpropagation werkt niet. De afgeleide = 0

18.9.2 Linear function (Adaline)



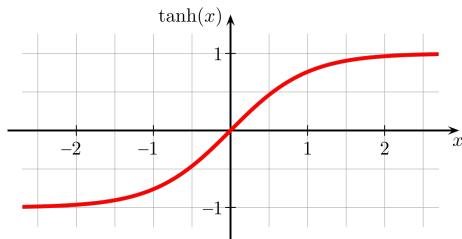
- Output is proportioneel met de input
- Nadelen:
 - Hoeveel layers je ook gebruikt, de uiteindelijke activatie blijft lineair
 - De afgeleide is constant en heeft geen relatie meer met de ingang
- Gebruik:
 - Input layer
 - Output layer bij regressie

18.9.3 Sigmoid function



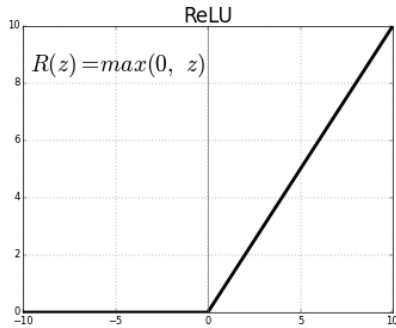
- Niet-lineair
- De uitgang ligt altijd tussen 0 en +1
- Nadelen:
 - Vanishing gradient problem: problematisch bij neurale netwerken met veel hidden layers
- Gebruik:
 - Niet dikwijls meer gebruikt.
 - Soms voor output layer bij classificatie problemen.

18.9.4 Hyperbolic tangent (tanh)



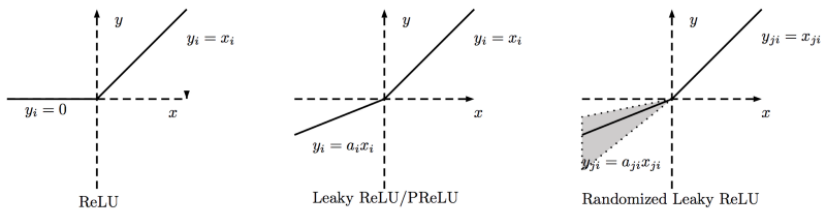
- Niet-lineair
- De uitgang ligt altijd tussen -1 en +1
- Gecentreerd rond 0
- Nadelen:
 - Vanishing gradient problem blijft
- Gebruik:
 - Niet dikwijls meer gebruikt

18.9.5 Rectified Linear Unit (ReLU)



- Niet-lineair
- Elke functie kan benaderd worden door combinatie van ReLU functies
- Zeer efficiënt naar rekenkracht
- Nadelen:
 - Sparse activation: veel activaties worden 0
 - \Rightarrow ‘Dode’ neuronen kunnen niet meer geactiveerd worden
- Gebruik:
 - Voor hidden layers

18.9.6 Leaky ReLU



- Variant op ReLU
- Gaat niet dood: er is nog een kleine gradient bij $x < 0$
- Nadelen:
 - Meer parameters om te trainen
- Gebruik:
 - Voor hidden layers

18.9.7 Conclusies

Hidden layers

- Gebruik eerst ReLu
- Probeer leaky ReLu
- Gebruik geen Sigmoid of Tanh

Output layer

- Lineair bij regressie
- Softmax/Sigmoid bij classificatie

Softmax is een generalisatie van de Sigmoid: $\sigma(z)_j = \frac{e^{z_j}}{\sum_{k=1}^K e^{z_k}}$

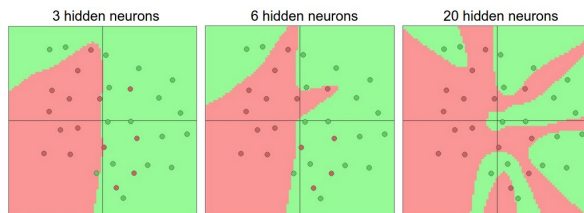
Werkt bij multi-class classificatie

18.9.8 Extra

Interessante playlist over neurale netwerken, door 3blue1brown:

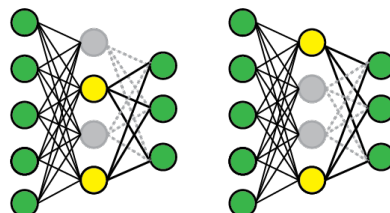
https://www.youtube.com/playlist?list=PLZHQB0WTQDNU6R1_67000Dx_ZCJB-3pi

18.10 Underfitting & Overfitting



- Te groot neuraal netwerk: overfitting
- Te klein neuraal netwerk: underfitting

18.10.1 Dropout



Definitie 18.6 *Dropout (of ‘Dilution’) is een regularisatietechniek om overfitting in neurale netwerken te voorkomen. Dat gebeurt door een bepaald percentage van de neuronen uit te schakelen. Andere neuronen moeten inspringen voor neuronen die zijn uitgeschakeld.*

[https://en.wikipedia.org/wiki/Dilution_\(neural_networks\)](https://en.wikipedia.org/wiki/Dilution_(neural_networks))

19 Aan de slag met Tensorflow en Keras (NTK)

19.1 Wat is keras?

<https://keras.io/>

- Neural Network library geschreven in Python.
- Gebouwd bovenop Tensorflow en Theano (maakt deel uit van Tensorflow 2).
- Gemakkelijk in gebruik.
- Modulair en uitbreidbaar.
- Laat toe complexe (deep learning) neurale netwerken te bouwen.

19.2 Installatie

Zonder GPU support:

```
1 pip3 install tensorflow
```

Met GPU support:

- Nvidia Cuda toolkit
- Nvidia Deep Neural Network library CUDNN
- Tensorflow-gpu

19.3 Het sequential model

- Laat toe om verschillende lagen van een neuraal netwerk te stapelen
- <https://keras.io/#getting-started-30-seconds-to-keras>

19.3.1 Opbouw van het sequential model

```
1 from tensorflow.keras.models import Sequential  
2 model = Sequential()
```

```
1 from tensorflow.keras.layers import Dense, Activation  
2 model.add(Dense(units=30, input_dim=10))  
3 model.add(Activation('relu'))  
4 model.add(Dense(units=5))  
5 model.add(Activation('softmax'))
```

- 10 inputs
- 30 hidden layer ReLu units
- 5 softmax outputs

19.3.2 Compileren en trainen van het sequential model + voorspellingen

```
1 model.compile(loss='categorical_crossentropy',
2                 optimizer='sgd',
3                 metrics=['accuracy'])
4 model.compile(loss='categorical_crossentropy',
5                 optimizer= tensorflow.keras.optimizers.SGD(lr=0.01, momentum=0.9, nesterov=True))
6 model.fit(x_train, y_train, epochs=5, batch_size=32)
7 classes=np.argmax(model.predict(x_test, batch_size=128),axis=-1)
```

19.4 Parameters van het sequential model

19.4.1 Activation functions

<https://keras.io/activations/>

Beschikbare activatiefuncties:

- softmax
- relu
- sigmoid
- tanh
- linear
- <https://keras.io/layers/advanced-activations/>

19.4.2 Learning rate optimizers

<https://keras.io/optimizers/>

- **SGD + Nesterov** (Stochastic Gradient Descent)
- RMSProp: meer geschikt bij recurrent networks
- Adagrad
- **Adam**
- Adamax

19.4.3 Epochs - batch size - iterations

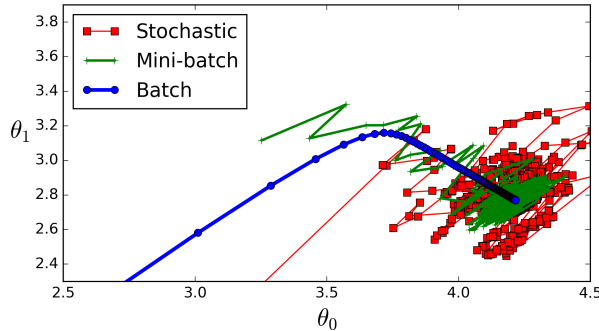
Definitie 19.1 (Epochs) *Het aantal keer dat het neuraal netwerk de volledige training set te zien krijgt.*

Definitie 19.2 (Iterations) *Het aantal keer dat de weights worden bijgesteld. Is gelijk aan het aantal epochs maal het aantal batches.*

Definitie 19.3 (Batch size) *Het aantal samples dat het neuraal netwerk te zien krijgt vooraleer het de weights gaan updaten. Updaten van de weights gebeurt op basis van de gemiddelde fout van een batch.*

- *Batch mode: De batchgrootte is gelijk aan het aantal training samples.*
- *Mini-batch mode: De batches zijn groter dan 1 en kleiner dan het aantal training samples.*

- *Stochastic mode*: De batchgrootte = 1. Na elke training sample is er een update van de weights.



Voor- en nadelen van een kleine batch grootte:

- Kleine batches nemen minder geheugen in beslag.
- Meestal traaint het netwerk sneller bij kleine batches.
- Kleinere batches geven sneller feedback.
- Nadeel van kleine batches: minder accurate schatting van de gradient. Netwerk stabiliseert zich op basis van de laatste training samples.

19.4.4 Overige parameters

- Loss function: <https://keras.io/losses/#available-loss-functions>
- Classification en regression metrics
- validation_split: fractie van training data die gebruikt wordt voor validatie
- sample_weight_mode: bij unbalanced data: sommige klassen komen in de training set frequenter voor dan andere.

20 Anomaly detection

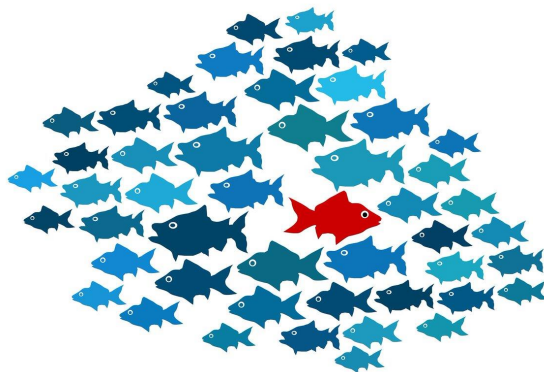
20.1 Introductie

20.1.1 Wat zijn anomalies?

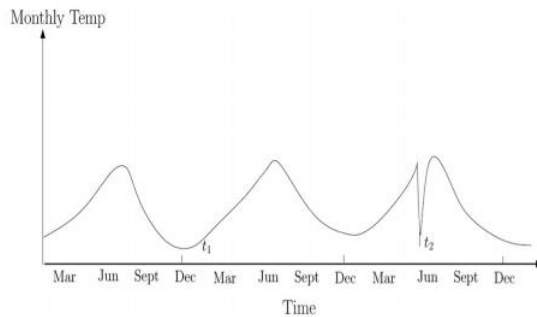
Definitie 20.1 *Anomalies zijn data patronen die karakteristieken tonen die afwijken van normale patronen.*

Er zijn verschillende soorten anomalieën:

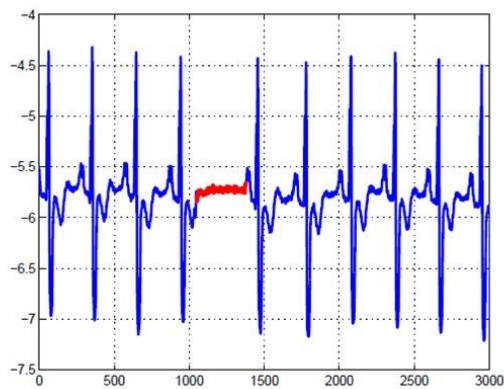
- Point anomaly
- Contextual anomaly
- Collective anomaly



Figuur 162: Point anomaly



Figuur 163: Contextual anomaly



Figuur 164: Collective anomaly

20.1.2 Toepassingen

- Creditcard fraude
- Osporen van ongewone patronen in netwerkverkeer
- System health monitoring

- Anomalieën in astronomie-afbeeldingen kan de ontdekking van een nieuwe ster aangeven

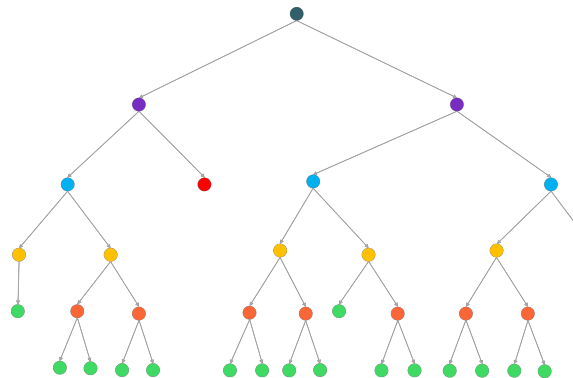
20.1.3 Uitdagingen

- Anomalieën komen niet frequent voor, maar ze kunnen wel grote gevolgen met zich meebrengen
 - ‘Normaal’ gedrag is moeilijk te bepalen en hangt af van de toepassing
 - De grens tussen normaal en anomalie is vaag
 - Vaak zijn er geen labels of data voor abnormaal gedrag

20.2 Anomaly detection algoritmes

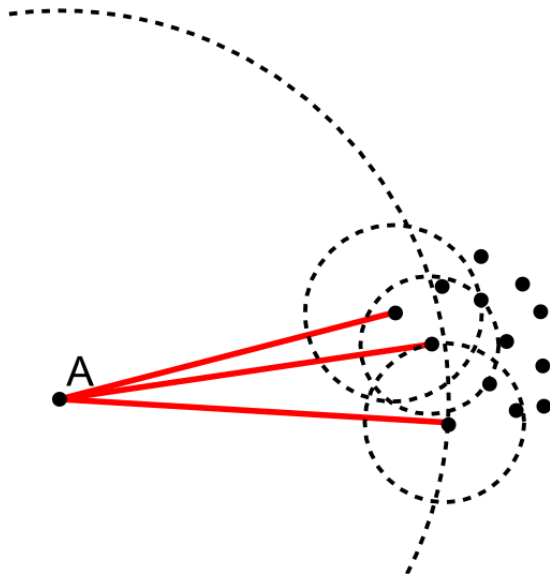
- Semi-supervised methods
 - sklearn: novelty detection
 - Uitschieters/anomalieën kunnen een dense cluster vormen
 - Geen uitschieters in training data
 - Unsupervised methods:
 - sklearn: outlier detection
 - Uitschieters/anomalieën kunnen **geen** dense cluster vormen
 - Uitschieters kunnen voorkomen in training data

20.2.1 Isolation forest



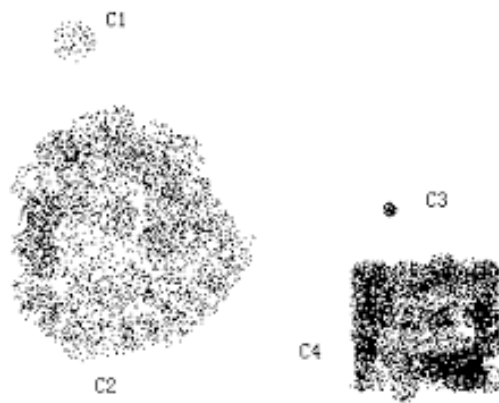
- Isolation methode met decision trees
 - Unsupervised
 - In plaats van te werken met Gini/Entropy, werken we met random splitsing
 - Padlengte van elke sample is een maatstaf voor normaliteit
 - Werkt goed met kleine datasets
 - Werkt goed met hoge dimensionaliteit

20.2.2 Local outlier detection



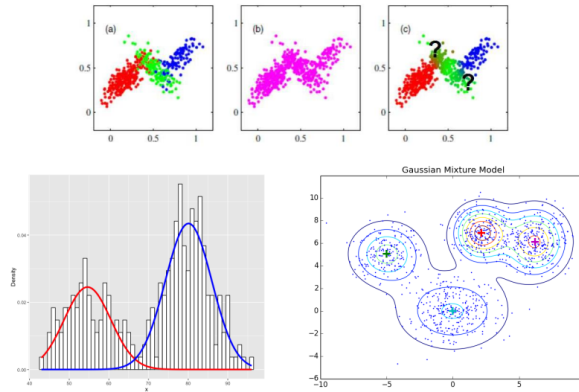
- Nearest-neighbour gebaseerd model
- Unsupervised
- Bereken de lokale density van een datapunt en zijn buren
- Als local density point < density van de buren \Rightarrow anomalie

20.2.3 Cluster based local outlier factor (CBLOF)



- Cluster-gebaseerde methode
- Input = dataset + clustermodel gegenereerd door clustering algoritme
- Clusters worden geclasseert in kleine en grote clusters

20.2.4 Gaussian Mixed Models (GMM)



- Probabilistisch model
- Unsupervised
- Bereken probabilitet van elk punt, via Gaussiaanse distributie
- Punt met lage probabilitet \Rightarrow anomalie

20.3 Model performantie

Hoe de performance van een model bepalen?

- Accuracy == slecht idee:

$$\begin{aligned} \text{Accuracy} &= \frac{TP + TN}{TP + TN + FP + FN} \\ &= \frac{1000 + 0}{1000 + 0 + 9 + 0} \\ &= 0.9910 \end{aligned}$$

| | | Predicted | |
|------------|---------|-----------|--------|
| | | Anomaly | Normal |
| True value | Anomaly | 0 | 9 |
| | Normal | 0 | 1000 |

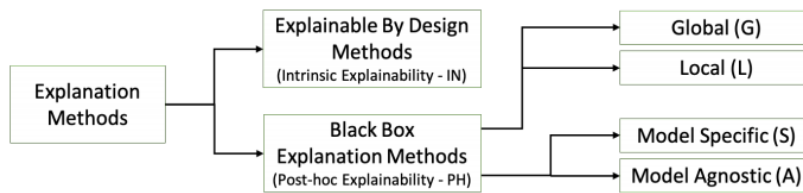
- Confusion matrix + ROC
- Soms focus op precisie of recall, op basis van toepassing
- Domein-experten contacteren!

21 Explainable AI (XAI)

21.1 Waarom belangrijk?

- Uitleggen waarom een model werkt
- Om mensen te overtuigen
- Om bias op te sporen

- ...



Figuur 165: Methodes XAI

21.2 Explainability vs Interpretability

Definitie 21.1 *Explainability is the extent where the feature values of an instance are related to its model prediction in such a way that humans understand. In basic term, it is the understanding to the question 'why is this happening?'.*

Definitie 21.2 *Interpretability is defined as the amount of consistently predicting a model's result without trying to know the reasons behind the scene. It is easier to know the reason behind certain decisions or predictions if the interpretability of a machine learning model is higher.*

21.3 Glass box models vs Black box models

21.3.1 Glass box models

- Linear regression (model coefficients)
- Logistic regression (model coefficients)
- Decision Trees (feature importance)

21.3.2 Black box models

- Ensemble methods
- Random Forests
- Neural networks

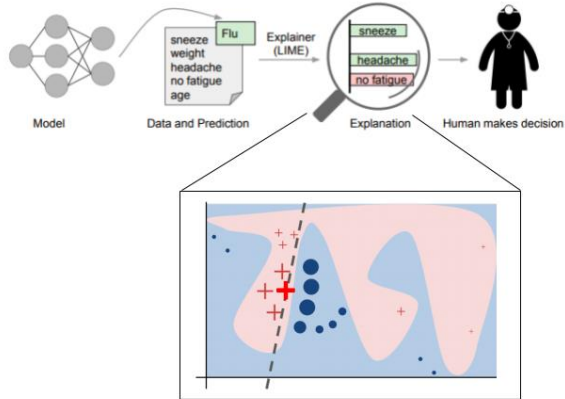


21.4 LIME (Local Interpretable Model-agnostic Explanation)

Definitie 21.3 *LIME is een technologie die de predicties van AI modellen probeert uit te leggen aan de hand van visuele hulpmiddelen.*

<https://github.com/marcotcr/lime>

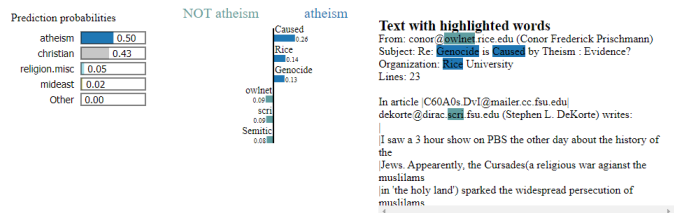
21.4.1 Local explanation



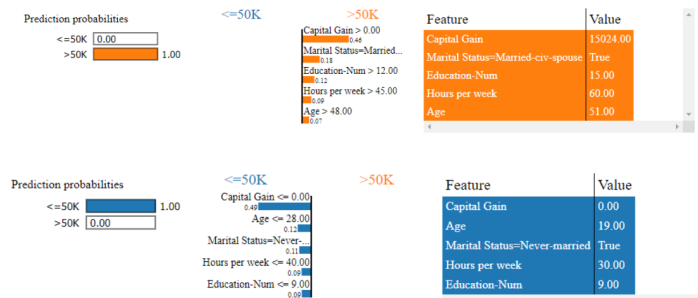
Figuur 166: Proces local explanation: Je bouwt de dataset rond de ene sample die je wil uitleggen

21.4.2 Modal agnostic

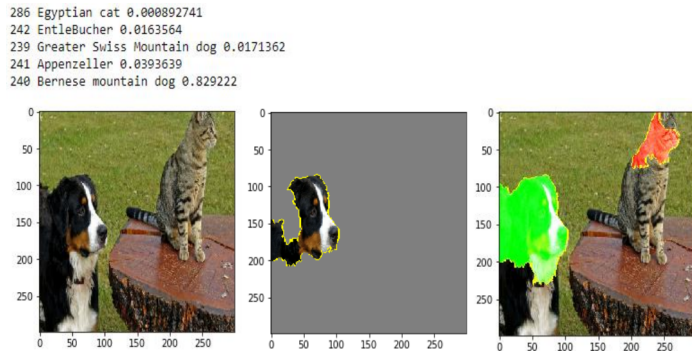
- Text data
- Tabular data
- Images
- ...



Figuur 167: LIME met text data: atheism vs christianity



Figuur 168: LIME met tabeldata



Figuur 169: LIME met images: naar welke delen van de image kijkt het model

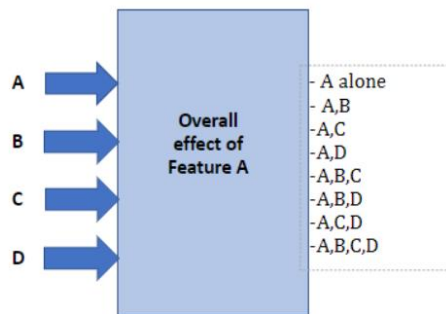
<https://github.com/marcotcr/lime>

21.5 SHapley Addictive exPlanations (SHAP)

Definitie 21.4 *SHAP is a game theoretic approach to explain the output of any machine learning model. It connects optimal credit allocation with local explanations using Shapley values from game theory.*

<https://shap.readthedocs.io/en/latest/index.html>

- Gebaseerd op Game theory
- When 4 players are in a game with a common goal, to find the contribution of player A we need to consider all the interactions of A with the other players and their collective contribution as well.
- Shapley value is the expected marginal contribution
 - = Average of their marginal contribution across all combinations
- Features = the players





Figuur 170: The output SHAP gives

21.6 Wat moet je kennen

- Wat is explainable AI?
- Waarom is het nodig? Voordelen?
- Welke technieken heb je? (LIME & SHAP)